



ANAS
S.p.A.

DIREZIONE REGIONALE PER LA SICILIA

PA17/08

Affidamento a Contraente Generale dei "Lavori di ammodernamento del tratto Palermo - Lercara Friddi, lotto funzionale dal km 14,4 (km. 0,0 del Lotto 2) compreso il tratto di raccordo della rotatoria Bolognella, al km 48,0 (km. 33,6 del Lotto 2 - Svincolo Manganaro incluso) compresi i raccordi con le attuali SS n.189 e SS n.121

Bolognella S.c.p.a.

- PERIZIA DI VARIANTE N.3 -

Il Responsabile Ambientale:
Dott. Maurizio D'angelo
D'ANGELO MAURIZIO
N. 1807

Titolo elaborato:

MODIFICA TECNICA N. 254

OPERE D'ARTE - TOMBINI IDRAULICI - VIABILITÀ SECONDARIE
Tombino TS29E - Esistente da adeguare
Relazione di modifica tecnica n. 254

Codice Unico Progetto (CUP) : **F41B03000230001**

OPERA

ARGOMENTO

DOC. E PROG.

FASE REVISIONE

Codice elaborato: **PA17/08**

P E

MT 254

R T 0 1

6 0

CARTELLA:

FILE NAME:

NOTE:

PROT.

SCALA:

0

7

PEMT254RT01_60_4137.dwg

1=1

4

1

3

7

Varie

5

4

3

2

1

0

Prima emissione

Maggio 2021

S. Fortino

S. Fortino

N. Behmann

REV.

DESCRIZIONE

DATA

REDATTO

VERIFICATO

APPROVATO

Il Progettista Responsabile

Ing. Stanislao Fortino



Il Coordinatore per la Sicurezza
in fase di Esecuzione:
Arch. Francesco Rondelli

Il Coordinatore per la
Esecuzione dei Lavori
arch. Francesco Rondelli

Il Direttore dei Lavori:
Ing. Sandro Favero

Il Direttore dei Lavori
ing. Sandro Favero

ANAS S.p.A.

DATA:

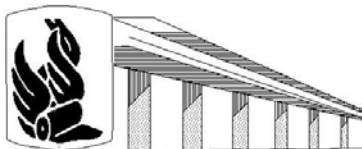
PROTOCOLLO:

VISTO: IL RESPONSABILE DEL PROCEDIMENTO

CODICE PROGETTO

L 0 4 1 0 C E 1 1 0 1

Dott. Ing. Luigi Mupo



ANAS

S.p.A.

DIREZIONE REGIONALE PER LA SICILIA

COMMITTENTE: A N A S S.p.A.

* * * * *

CONTRAENTE GENERALE: BOLOGNETTA S.C.p.A.

SS 189 e SS 121

ITINERARIO PALERMO - AGRIGENTO

PA 17/08

Lavori di ammodernamento del tratto Palermo - Lercara Friddi, lotto funzionale dal km 14,4 (km 0,0 del lotto 2) compreso il tratto di raccordo della rotatoria Bolognetta, al km 48,0 (km 33,6 del lotto 2 - svincolo Manganaro incluso), compresi i raccordi con le attuali S.S. n. 189 e S.S. n. 121

CUP F41B03000230001

Contratto per affidamento a Contraente Generale, stipulato in Roma il 19/10/2009 c/o Notaio Paolo Cerasi rep. n. 7953 racc. n. 4132, registrato in Roma il 27/10/2009.

Succ. Atto Aggiuntivo n. 1 stipulato in data 02.11.2011 rep. n. 9879 racc. n. 5275,
succ. Atto Aggiuntivo n. 2 stipulato in data 30.05.2013 rep. n. 20888 racc. n. 5938,
succ. Atto Aggiuntivo n. 3 stipulato in data 23.01.2014 rep. n. 21091 racc. n. 6057,
succ. Atto Aggiuntivo n. 4 stipulato in data 12.04.2017 rep. n. 23715 racc. n. 8247
e succ. Atto Aggiuntivo n. 5 stipulato in data 23.10.2018 rep. n. 28127 racc. n. 13982.

MODIFICA TECNICA N.254

WBS: VS29BIS

OGGETTO: Rivisitazione tombini idraulici TS29D e TS29E.

DATA: 05-08-2020

Il Progettista Responsabile
Ing. Stanislao Fortino



Sommario

1	PREMESSA.....	3
2	OGGETTO DELLA MODIFICA TECNICA	3
3	CONCLUSIONI	12

1 PREMESSA

La presente modifica tecnica emessa nell'attuale fase di Progetto Esecutivo di Dettaglio (PED), ha per oggetto la rivisitazione dei manufatti di imbocco e sbocco relativamente ai tombini idraulici TS29D e TS29E ricadenti nella viabilità secondaria VS29Bis, all'interno del lotto 2a.

Inoltre con la modifica in parola, si propongo alcune piccole rettifiche afferenti il muro a sostegno della scarpata di monte della VS29Bis previsto in P.V.T.1..

2 OGGETTO DELLA MODIFICA TECNICA

Con la P.V.T.1 è stato introdotto, a seguito richiesta di enti terzi, la viabilità secondaria 29Bis che consiste nel prolungamento in direzione AG della già realizzata viabilità identificata come "Deviazione SP.55 bis" (viabilità secondaria 29) – di cui allo specifico stralcio progettuale di PEA "Progetto Esecutivo Deviazione Scorciavacche" – e si estende fino all'innesto in continuità alla Rampa 6 dello Svincolo di Mezzojuso. L'intervento consiste nell'adeguamento di un tratto della sede stradale della Provinciale S.P. 55 Bis, per una estesa di 380 m, che presenta una piattaforma attuale di circa 6,50 m.

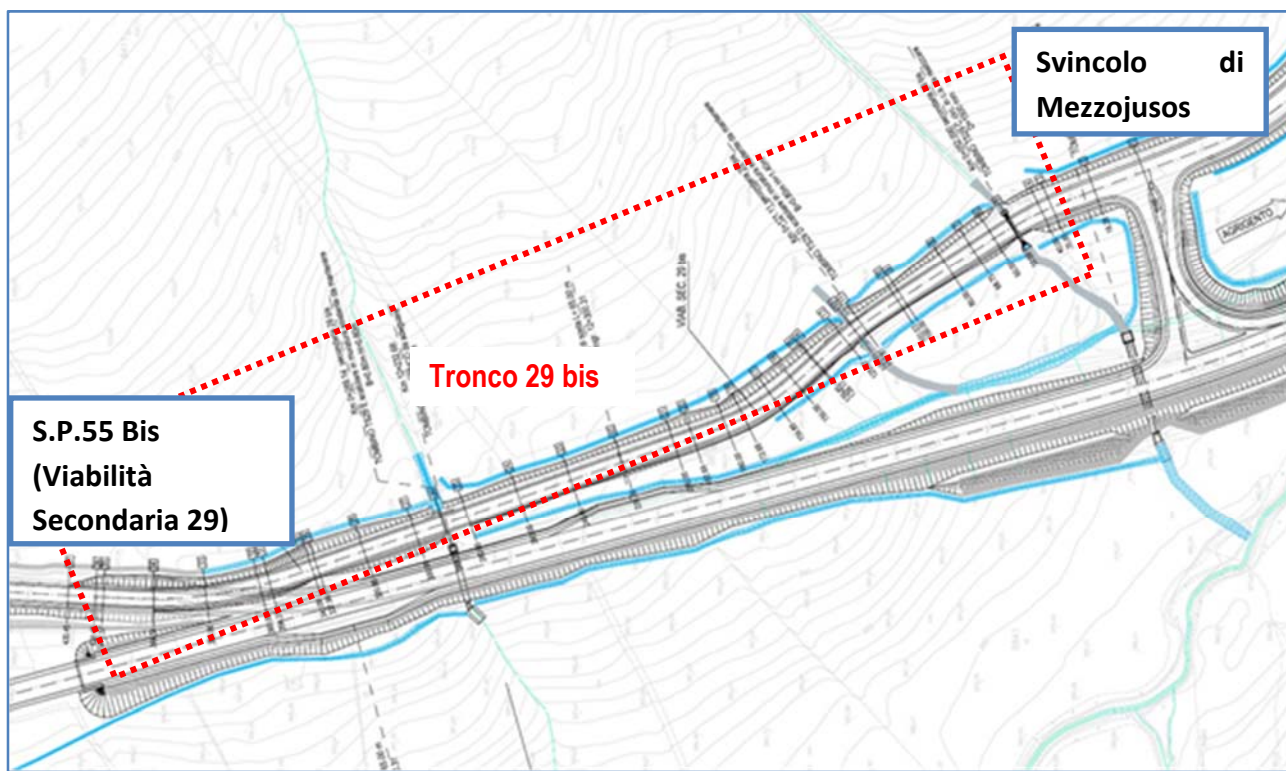


Figura 1 – Stralcio planimetrico Tronco 29 Bis.

La sezione prevista è costituita da 2 corsie da 2,75 m e banchine laterali da 0,75 m, per una larghezza totale di 7,00 m. I principali criteri ed obiettivi posti alla base della progettazione del tracciamento stradale sono stati:

- Il miglioramento geometrico-funzionale del tracciato, teso all'incremento della sicurezza e del suo livello di servizio;

- l'esigenza di evitare sbancamenti lato monte, attestando quindi il ciglio destro della banchina in stretta adiacenza all'attuale ciglio stradale;
- la necessità di mantenere in esercizio due tombini idraulici esistenti (TS29D e TS29E), senza dover ricorrere ad invasivi interventi di demolizione/adeguamento.

Nel corso di esecuzione delle lavorazioni è emersa la necessità di rivisitare i manufatti di imbocco e sbocco dei tombini idraulici TS29D e TS29E.

I tombini idraulici TS29D e TS29E sono ubicati all'interno della viabilità secondaria VS29Bis, ricadente nel lotto 2a, rispettivamente in corrispondenza della sez. 12 alla Pk 0+121,11 ed in corrispondenza della Sez. 26 alla Pk 0+289,14.

Si riporta a seguire stralcio planimetrico con l'ubicazione dei tombini idraulici in argomento:

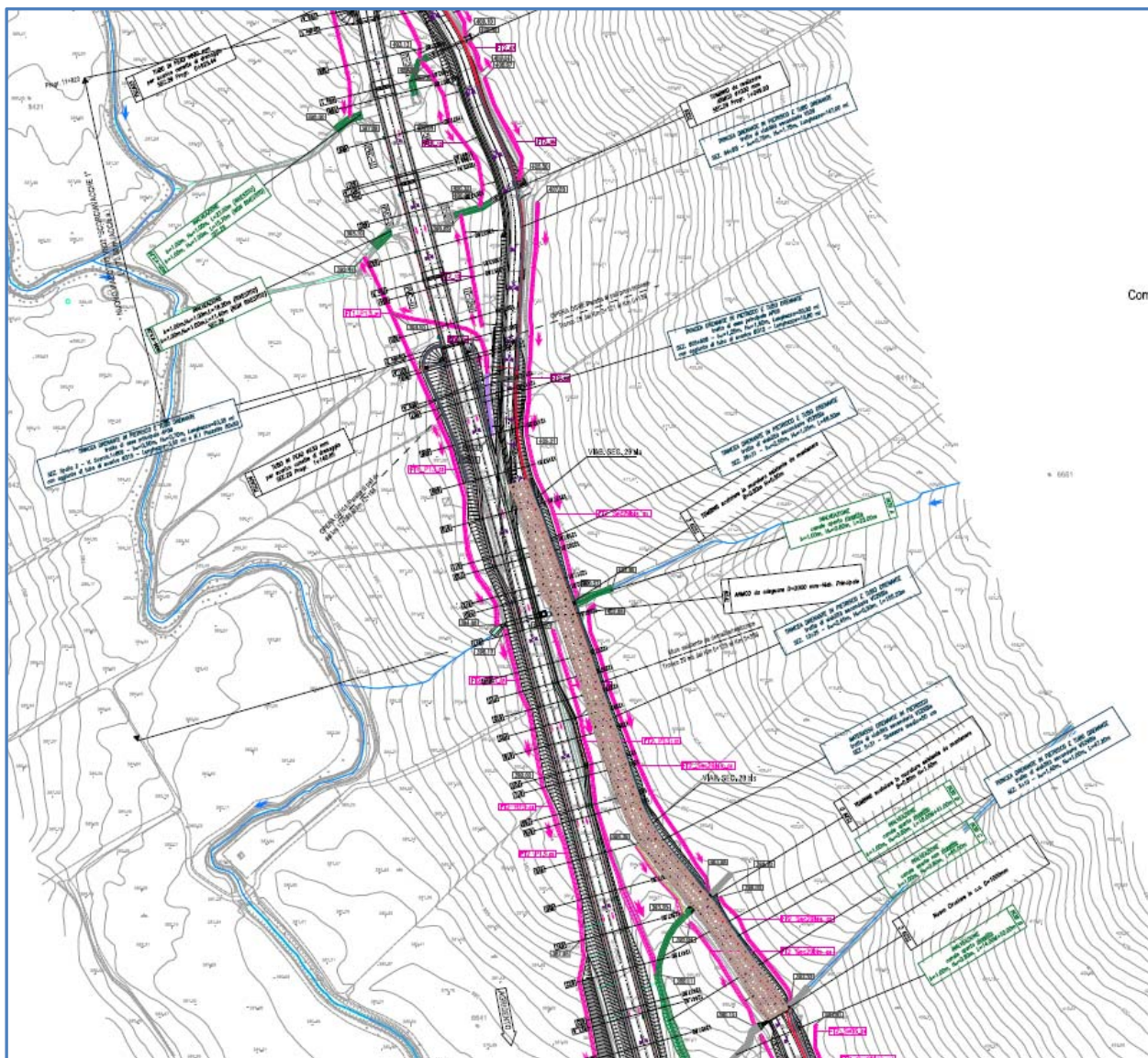


Figura 2 – Stralcio planimetrico con l'ubicazione dei tombini idraulici TS29D e TS29E.

TOMBINO IDRAULICO TS29D

Il tombino idraulico TS29D è ubicato in corrispondenza della Sez. 12 alla Pk 0+121,11 della VS29Bis ed costituito da un pozzetto di imbocco, da un manufatto scatolare avente dimensione 150x85 cm e da un manufatto di sbocco.

Il progetto autorizzato prevede, per il tombino in argomento, il mantenimento dell'intera struttura idraulica e la realizzazione di inalveazioni in materassi reno a monte e a valle del tombino.

La presente modifica tecnica ha per oggetto la proposta d'intervento di demolizione e ricostruzione dei manufatti di imbocco e sbocco del tombino idraulico in parola.

Tale intervento si rende necessario a seguito del degrado strutturale riscontrato nel pozzetto di monte e nel manufatto di sbocco dell'opera idraulica esistente, come riportato nel verbale di constatazione del 09.07.2020 redatto in contraddittorio tra il C.G. e la D.L. (vedasi allegato).

Si riportano a seguire alcune immagini fotografiche dalle quali è possibile evincere lo stato fessurativo presente sui manufatti di imbocco e sbocco del tombino in esame:



Figura 3 – Immagini fotografiche sulla stato fessurativo riscontrato sui manufatti di monte e di valle del tombino idraulico TS29D.

La ricostruzione prevede la realizzazione di un nuovo pozzetto in c.a. a monte del manufatto idraulico di attraversamento avente dimensioni di 3,10 x 2,00 m e la realizzazione di un nuovo manufatto di sbocco. Per i dettagli grafici dei nuovi manufatti si rimanda agli elaborati grafici codifica PETS29D_N001_50 e PETS29D_N002_50.

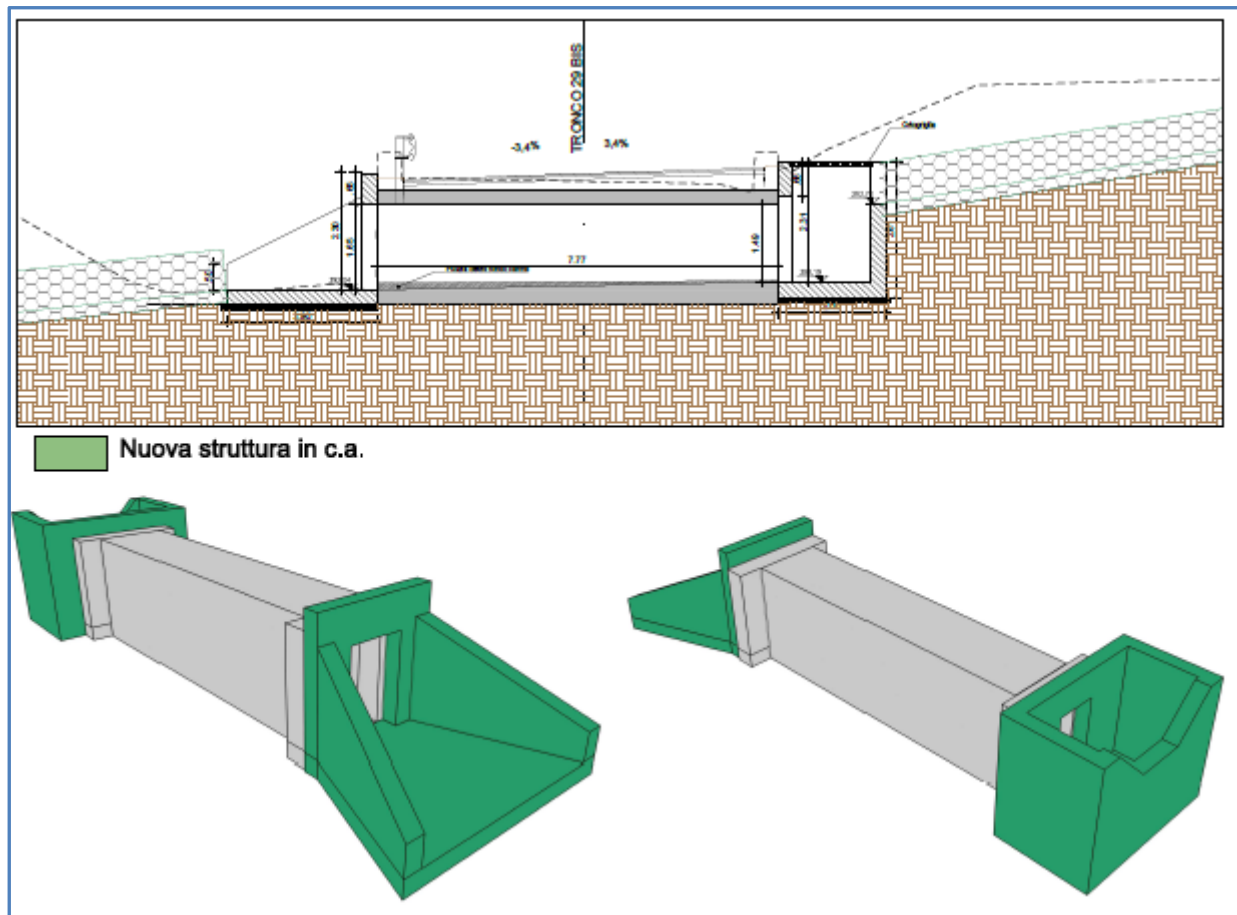


Figura 4 – Tombino idraulico TS29D – Stralcio da elaborato grafico codifica PE_TS29D_N001_50_4137.

Per maggiori dettagli, si rimanda ai seguenti elaborati allegati alla presente nota:

Tombino TS29D – Esistente da adeguare – Tav.1 Pianta, sezioni e rilievo manufatto esistente	varie	PSTS29DN001	–	50	–	4137
Tombino TS29D – Esistente da adeguare – Tav.2 Carpenterie e armature	varie	PETS29DN002	–	50	–	4137

Relativamente ai calcoli statici dei nuovi manufatti idraulici relativi al tombino idraulico TS29D, si rimanda alla nota tecnica n. 484 contenente i calcoli statici di numerosi manufatti idraulici presenti all'interno del progetto di ammodernamento della PA-AG.

Si segnala che la nota tecnica n. 484 è stata trasmessa in passato alla C.d.C. ed è stata evasa dalla stessa con esito positivo.

Nello specifico si precisa che relativamente ai calcoli statici:

- per il pozzetto di monte di dimensioni interne 1,50x2,50x2,90 spessore 30 cm si fa riferimento alla nota tecnica 484 – paragrafo 3.3 riguardante il pozzetto di dimensioni 1,50x2,50x4,50 spessore 30 cm (Rif. tombino idraulico TP07).

Entrambi i manufatti presentano la stessa tipologia di armatura trasversale e longitudinale consistente in ø12/20.

RIFERIMENTO ALLEGATO "A".

- per il manufatto di sbocco di dimensioni 2,50x2,00x0,80 spessore 30 cm si fa riferimento alla nota tecnica 484 – paragrafo 3.24 riguardante il manufatto di imbocco di dimensioni 2,50x2,40x0,80 spessore 30 cm (Rif. tombino idraulico TP34Bis).

Entrambi i manufatti presentano la stessa tipologia di armatura trasversale e longitudinale consistente in ø12/20.

RIFERIMENTO ALLEGATO "B".

TOMBINO IDRAULICO TS29E

Il tombino idraulico TS29E è ubicato in corrispondenza della Sez. 26 alla Pk 0+289,14 della VS29Bis ed costituito da un pozzetto di imbocco, da un manufatto scatolare avente dimensione 160x85 cm e da un manufatto di sbocco.

Il progetto autorizzato prevede, per il tombino in argomento, il mantenimento dell'intera struttura idraulica e la realizzazione di inalveazioni in materassi reno a monte e a valle del tombino.

La presente modifica tecnica ha per oggetto la proposta di prolungare il pozzetto di monte con una soletta di copertura attrezzata con un'idonea griglia anti caduta.

Si riportano a seguire alcune immagini fotografiche dalle quali è possibile evincere lo stato fessurativo presente sui manufatti di imbocco e sbocco del tombino in esame:

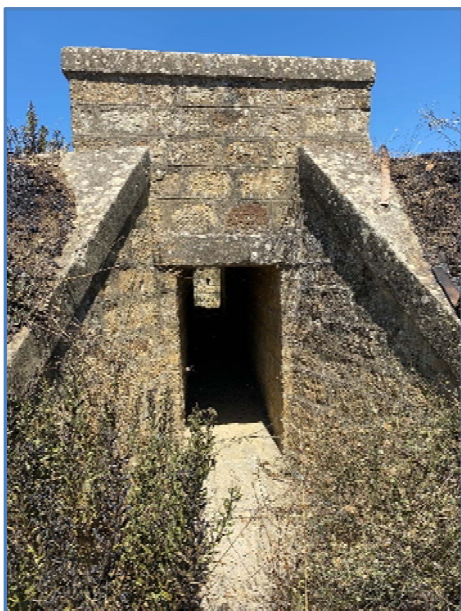


Figura 5 – Immagini fotografiche sulla stato riscontrato sui manufatti di monte e di valle del tombino idraulico TS29E.

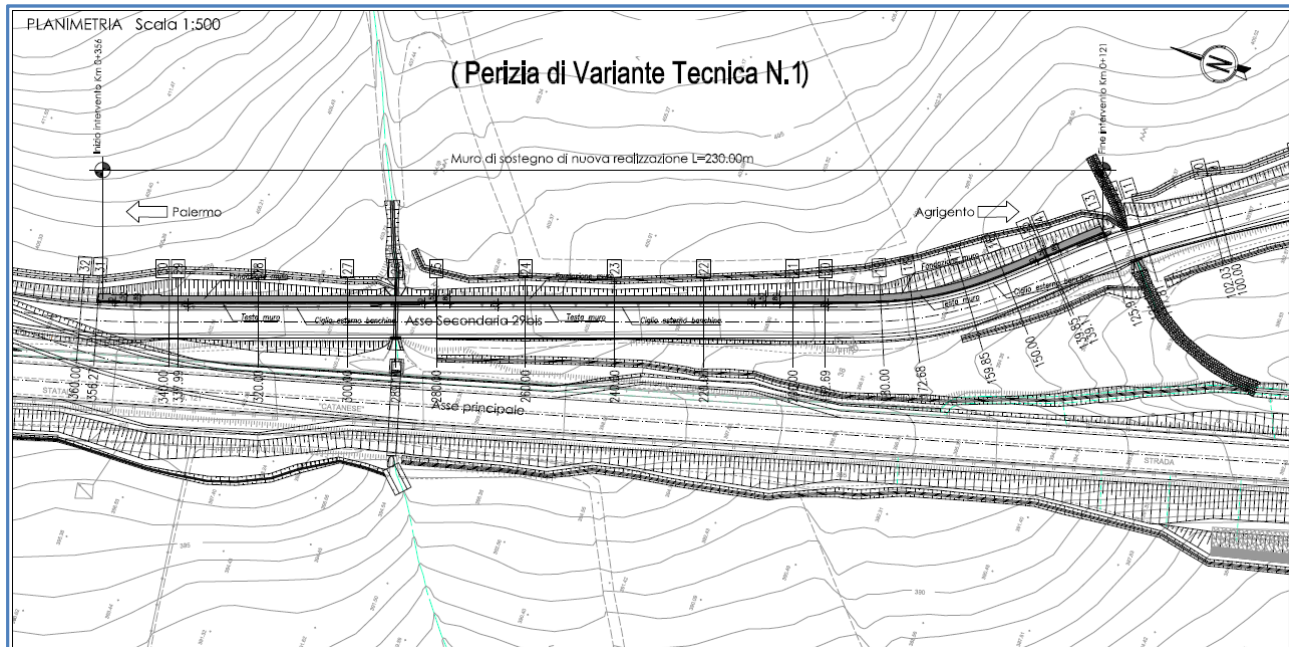
Per maggiori dettagli, si rimanda ai seguenti elaborati allegati alla presente nota:

Tombino TS29E – Esistente da adeguare – Tav.1 Planimetria, sezioni, carpenteria e armature	varie	PETS29EN001	_	50	_	4137
--	-------	-------------	---	----	---	------

MURO DI SOSTEGNO

Nell'ambito della progettazione della P.V.T.1, in considerazione dell'elevato stato di degrado e delle precarie condizioni statiche, è risultato necessario prevedere la demolizione del muro esistente lato monte dell'attuale viabilità, che presenta altezza fuori terra variabile da 0,40 m a 0,80 m circa e per uno sviluppo di circa 230 m. In luogo del suddetto manufatto è stata prevista la realizzazione di un nuovo muro in c.a., avente funzione di pulizia e contenimento della scarpata.

Si riporta a seguire stralcio planimetrico con l'ubicazione del nuovo muro di sostegno secondo le previsioni di P.V.T.1.



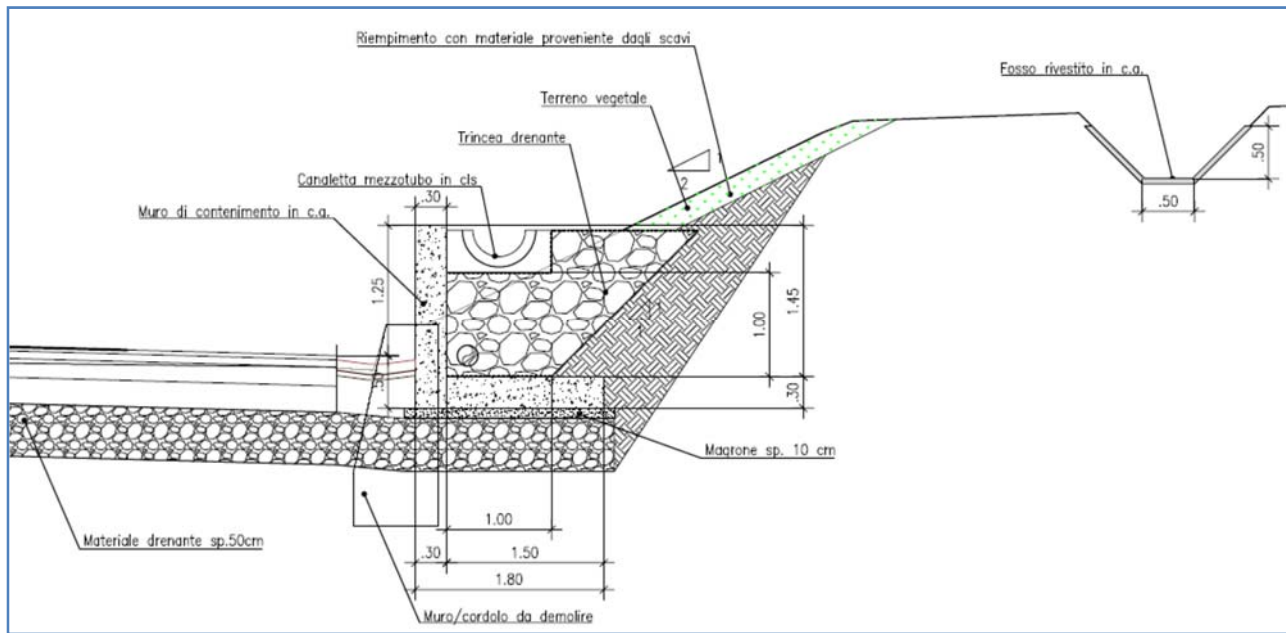


Figura 7 – Sezione tipo nuovo muro di contenimento lato monte secondo le previsioni di P.V.T.1 – Elaborato codifica PVVS_W002_50_4137.

Durante la realizzazione del predetto muro di sostegno, sono emerse alcune criticità di seguito elencate:

- ❖ Richiesta da parte dei proprietari dei fondi agricoli confinanti con l'asse viario di prevedere in corrispondenza della sez. 12 e della sez. 26 accessi carrabili idonei al transito dei mezzi agricoli.
- ❖ Presenza di una evidente instabilità della porzione di muro esistente compresa tra le sez. 11 – 12 della viabilità in parola.

Stante quanto sopra, è stata rivista la distribuzione planimetrica del nuovo muro di sostegno mantenendo inalterata la sezione geometrica e le prestazioni statiche del muro previste in P.V.T.1., oltre all'estensione complessivo del nuovo manufatto pari a 230,30 ml (solo 30 cm in più rispetto all'estensione di P.V.T.1).

Si riporta a seguire la nuova distribuzione planimetrica del muro di sostegno afferente la viabilità VS29 Bis.

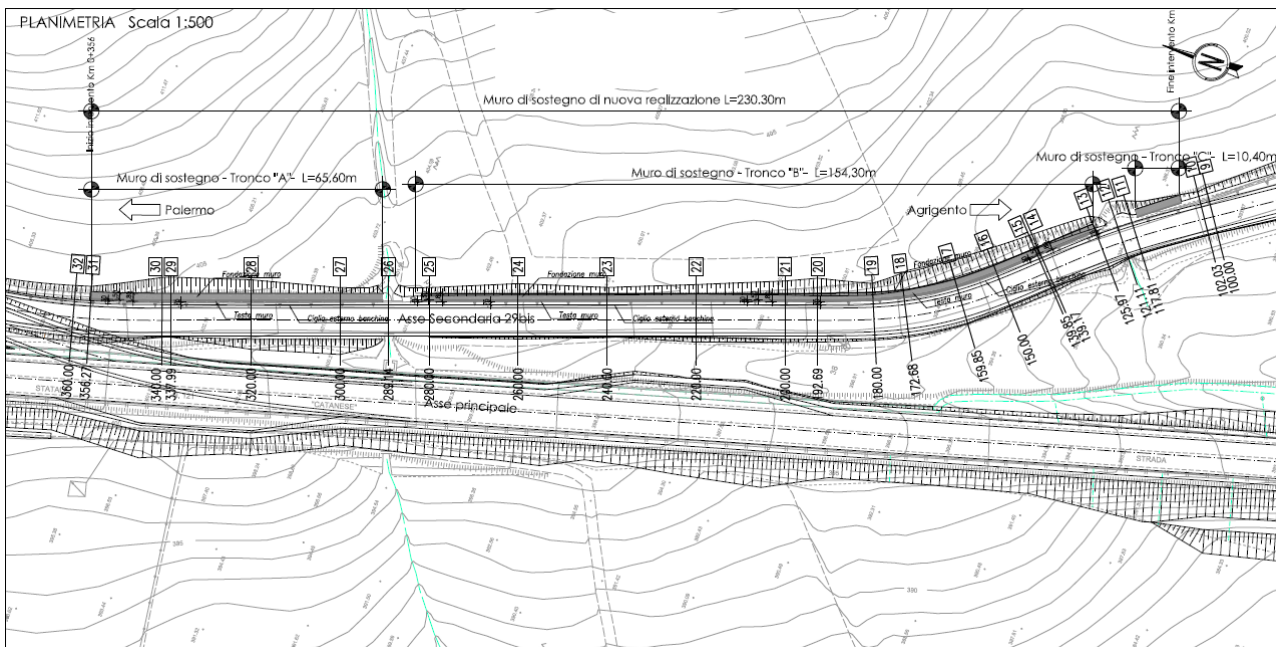


Figura 8 – Stralcio planimetrico con l'ubicazione del nuovo muro di sostegno lato monte revisionato. – Elaborato codifica PVVS W002 51 4137.

Oltre a quanto sopra descritto, un’ulteriore rivisitazione è stata attuata alla trincea drenante prevista a tergo del nuovo muro di sostegno e al materasso drenante previsto al di sotto della sovrastruttura stradale.

Si riporta a seguire la sezione tipo rivisitata:

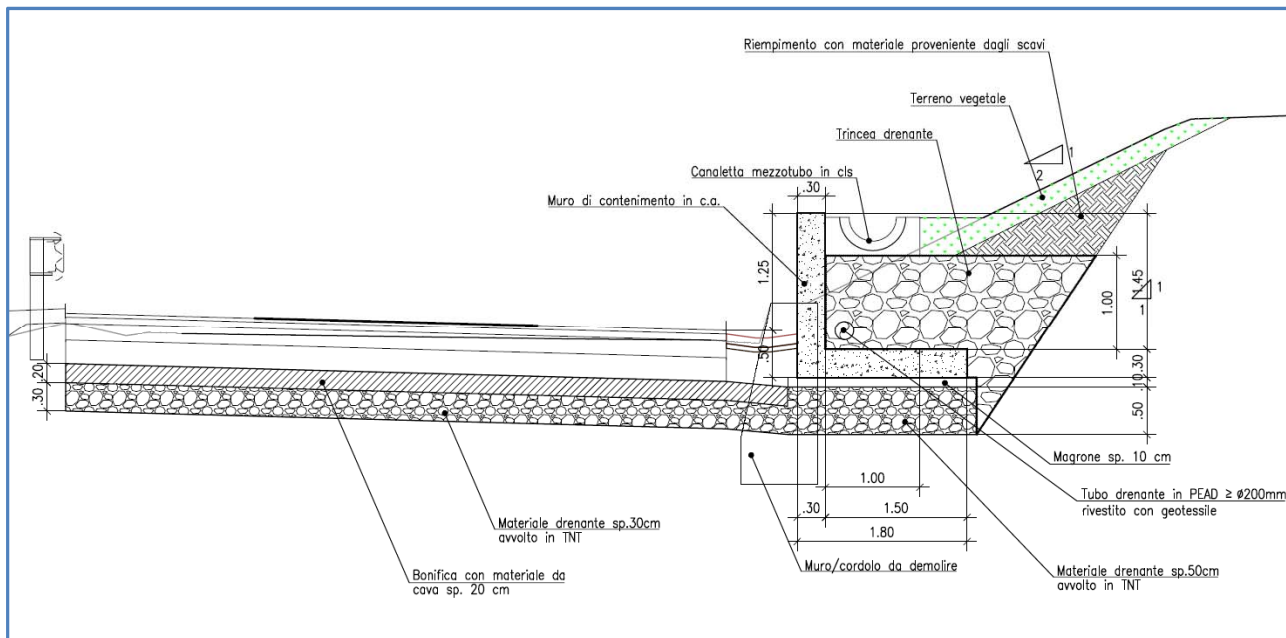


Figura 9 – Sezione tipo con rivisitazione del drenaggio a tergo muro e al di sotto della sovrastruttura stradale. – Elaborato codifica PVVS W002 51 4137.

La rivisitazione attuata sul drenaggio a tergo del muro deriva esclusivamente da motivazioni esecutive di cantiere, mentre per il materasso drenante al di sotto della sovrastruttura stradale è

stato ridotto lo spessore da 50 cm a 30 cm, aggiungendo uno strato di 20 cm con materiale da cava necessario per l'esecuzione delle prove su piastra previste da C.S.A. – Norme Tecniche.

3 CONCLUSIONI

Le modifiche sui manufatti idraulici introdotte con la presente modifica tecnica hanno lo scopo di migliorare il livello durabilità nel tempo dell'asta viaria "viabilità secondaria 29Bis", mantenendo inalterato lo standard prestazionale previsto in P.V.T.1.

In merito alla nuova distribuzione del muro di sostegno e alla rivisitazione della trincea drenante di monte, si specifica che la stessa non modifica le caratteristiche prestazionali previste in fase progettuale, ma consente un miglior inserimento dell'opera nel contesto territoriale risolvendo alcune criticità riscontrate nel corso delle fasi realizzative dello stesso.

Inoltre si specifica che la rivisitazione grafica del muro di sostegno sia per la parte in c.a. e sia per la parte relativa alla trincea drenante non comporta variazioni economiche rispetto alla previsione progettuale.

COMMITTENTE : ANAS S.p.a.

Contratto: "Lavori di ammodernamento del tratto Palermo Lercara Friddi, lotto funzionale dal Km 14,4 (Km 0,0 del lotto 2) compreso il tratto di raccordo della rotatoria Bolognetta, al Km 48,0 (Km 33,6 del lotto 2 Svincolo Manganaro incluso), compresi i raccordi con le attuali SS n. 189 e SS n. 121".

Verbale N°**LUOGO** VS29 bis - TS29D**DATA** 09.07.2020**PRESENTI** Arch. Carmelo Palermo (CG)
Arch. Giovanni Virzì (DL)**FIRMA** **OGGETTO:** Constatazione stato fisico tombino TS29D

In data 09.07.2020 l'Arch. Carmelo Palermo, rappresentante il C.G. e l'Arch. Giovanni Virzì, rappresentante la D.L. hanno effettuato un sopralluogo congiunto per constatare lo stato fisico del tombino esistente denominato TS29D.

Il tombino è realizzato in conci lapidei con malta di allettamento cementizia ed è costituito da un manufatto di sbocco di forma trapezia, una canna scatolare con soletta in c.a. e un pozzetto di imbocco.

Nel tombino in esame è stato riscontrato un diffuso stato fessurativo relativamente al manufatto di sbocco e al pozzetto di monte, in particolare è stato riscontrato un evidente distacco tra il manufatto di sbocco e la canna idraulica .

Bolognetta S.c.p.a

VERBALE DI CONSTATAZIONE

COMMITTENTE : ANAS S.p.a.

Contratto: "Lavori di ammodernamento del tratto Palermo Lercara Friddi, lotto funzionale dal Km 14,4 (Km 0,0 del lotto 2) compreso il tratto di raccordo della rotatoria Bolognetta, al Km 48,0 (Km 33,6 del lotto 2 Svincolo Manganaro incluso), compresi i raccordi con le attuali SS n. 189 e SS n. 121".

Verbale N°.....

Si allegano foto che rappresentano lo stato fessurativo sopra descritto.



COMMITTENTE : ANAS S.p.a.**Contratto: "Lavori di ammodernamento del tratto Palermo Lercara Friddi, lotto funzionale dal Km 14,4****(Km 0,0 del lotto 2) compreso il tratto di raccordo della rotatoria Bolognetta, al Km 48,0 (Km 33,6 del lotto 2 Svincolo Manganaro incluso), compresi i raccordi con le attuali SS n. 189 e SS n. 121".****Verbale N°.....**

COMMITTENTE : ANAS S.p.a.**Contratto: "Lavori di ammodernamento del tratto Palermo Lercara Friddi, lotto funzionale dal Km 14,4****(Km 0,0 del lotto 2) compreso il tratto di raccordo della rotatoria Bolognetta, al Km 48,0 (Km 33,6 del lotto 2 Svincolo Manganaro incluso), compresi i raccordi con le attuali SS n. 189 e SS n. 121".****Verbale N°.....**

COMMITTENTE : ANAS S.p.a.**Contratto: "Lavori di ammodernamento del tratto Palermo Lercara Friddi, lotto funzionale dal Km 14,4****(Km 0,0 del lotto 2) compreso il tratto di raccordo della rotatoria Bolognetta, al Km 48,0 (Km 33,6 del lotto 2 Svincolo Manganaro incluso), compresi i raccordi con le attuali SS n. 189 e SS n. 121".****Verbale N°.....**

COMMITTENTE : ANAS S.p.a.

Contratto: "Lavori di ammodernamento del tratto Palermo Lercara Friddi, lotto funzionale dal Km 14,4 (Km 0,0 del lotto 2) compreso il tratto di raccordo della rotatoria Bolognetta, al Km 48,0 (Km 33,6 del lotto 2 Svincolo Manganaro incluso), compresi i raccordi con le attuali SS n. 189 e SS n. 121".

Verbale N°.....

ALLEGATO “A”

3.3 POZZETTO DIMENSIONI 2.50x1.5x4.5h

Si tratta di un manufatto di dimensioni interne 2.50x1.5x4.5mt e spessore costante delle pareti pari a 30cm, così come rappresentato in figura 12

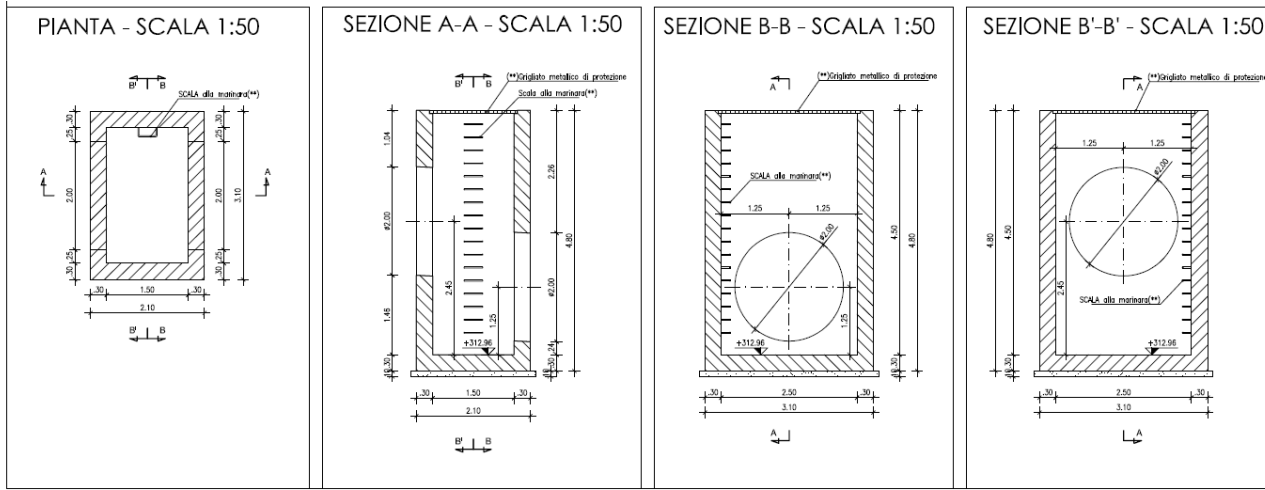


Figura 12: pozetto di dimensioni 2.5x1.5x4.5mt

A seguire presentiamo nella figure da 13 a 16 le immagini relative alla modellazione dei carichi utilizzati per il dimensionamento della struttura

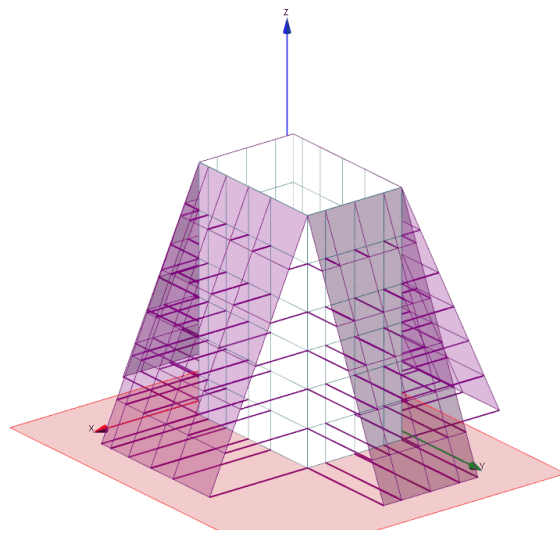


Figura 13: CCE Spinta del terreno a riposo:

$$\begin{aligned} z=0 &\quad q_1=0 \text{ kN/mq}; \\ z=4.8 &\quad q_1=43.68 \text{ kN/mq} \end{aligned}$$

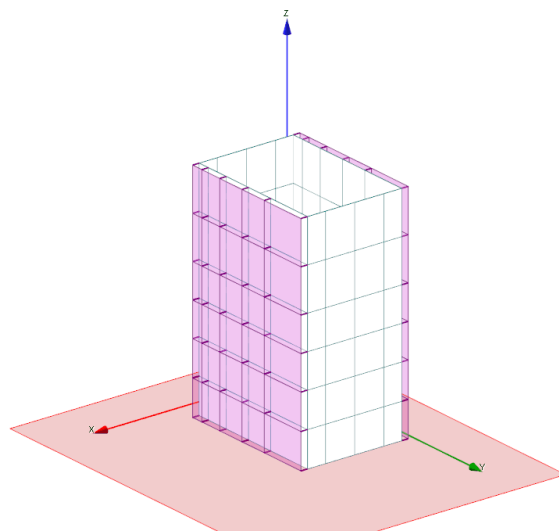


Figura 14: CCE Sovraspinta orizzontale dovuta al Carico stradale dir X:

$$q_1 = 10 \times 0.295 = 2.95 \text{ kN/m}$$

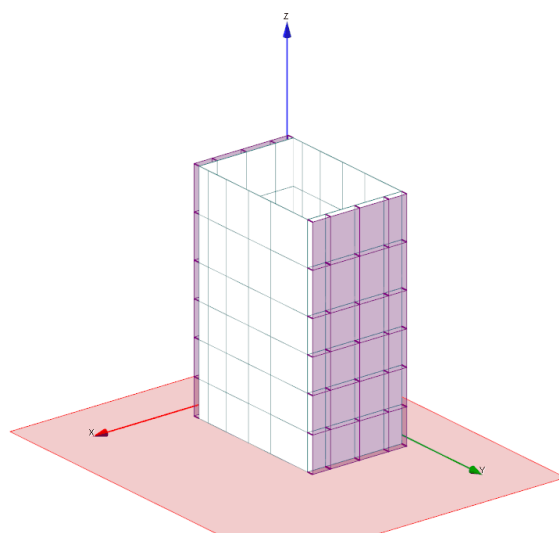


Figura 15: CCE Sovraspinta orizzontale dovuta al Carico stradale dir Y:

$$q_1 = 10 \times 0.295 = 2.95 \text{ kN/m}$$

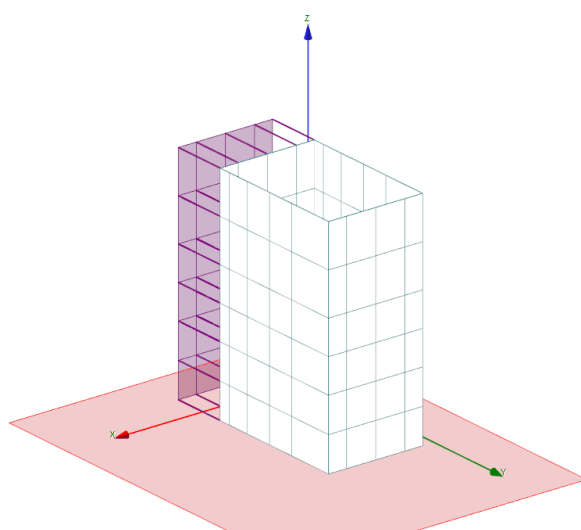
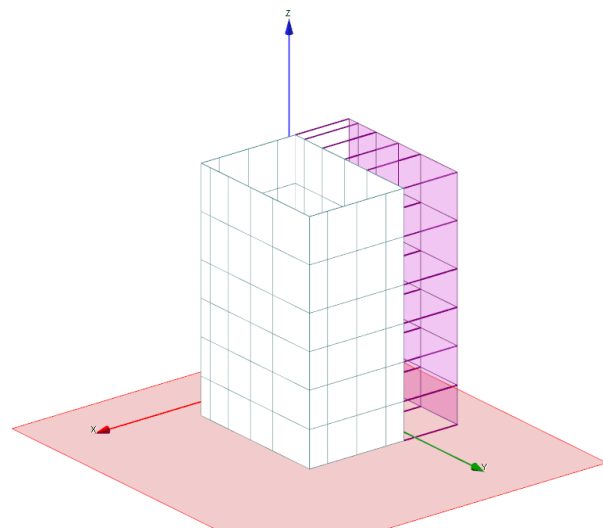


Figura 16: CCE Sovrappinta sismica allo SLV nelle due direzioni x e y

- Incremento sismico del terreno $q_5=0.25 \times 20 \times 4.8=24 \text{ kN/mq}$;

Nella tabella sottostante sono riportate le combinazione di carico utilizzate per il calcolo della struttura. A maggior chiarimento si rimanda a tabulato di calcolo allegato

CC	Comm.	TCC	An.	Bk	1	2	3	4	5	6	S X	S Y
1	CC 1 - Amb. 1 (SLU S) S +X+0.3Y	SLV	L	N	1.00	1.00	0.00	0.00	1.00	0.30	1.00	0.30
2	CC 2 - Amb. 1 (SLU S) S +X-0.3Y	SLV	L	N	1.00	1.00	0.00	0.00	1.00	-0.30	1.00	-0.30
3	CC 3 - Amb. 1 (SLU S) S -X+0.3Y	SLV	L	N	1.00	1.00	0.00	0.00	-1.00	0.30	-1.00	0.30
4	CC 4 - Amb. 1 (SLU S) S -X-0.3Y	SLV	L	N	1.00	1.00	0.00	0.00	-1.00	-0.30	-1.00	-0.30
5	CC 5 - Amb. 1 (SLU S) S +0.3X+Y	SLV	L	N	1.00	1.00	0.00	0.00	0.30	1.00	0.30	1.00
6	CC 6 - Amb. 1 (SLU S) S -0.3X+Y	SLV	L	N	1.00	1.00	0.00	0.00	-0.30	1.00	-0.30	1.00
7	CC 7 - Amb. 1 (SLU S) S +0.3X-Y	SLV	L	N	1.00	1.00	0.00	0.00	1.00	-1.00	0.30	-1.00
8	CC 8 - Amb. 1 (SLU S) S -0.3X-Y	SLV	L	N	1.00	1.00	0.00	0.00	-0.30	-1.00	-0.30	-1.00
9	CC 9 - Amb. 2 (SLU)	SLU	L	N	1.35	1.50	1.50	1.50	1.00	1.00	0.00	0.00
10	CC 10 - Amb. 2 (SLE R)	SLE R	L	N	1.00	1.00	1.00	1.00	1.00	1.00	0.00	0.00
11	CC 11 - Amb. 2 (SLE F)	SLE F	L	N	1.00	1.00	0.40	0.40	1.00	1.00	0.00	0.00
12	CC 12 - Amb. 2 (SLE Q)	SLE Q	L	N	1.00	1.00	0.00	0.00	1.00	1.00	0.00	0.00

Le sollecitazioni maggiormente significative ai fini del dimensionamento della struttura vengono presentati nelle pagini seguenti:

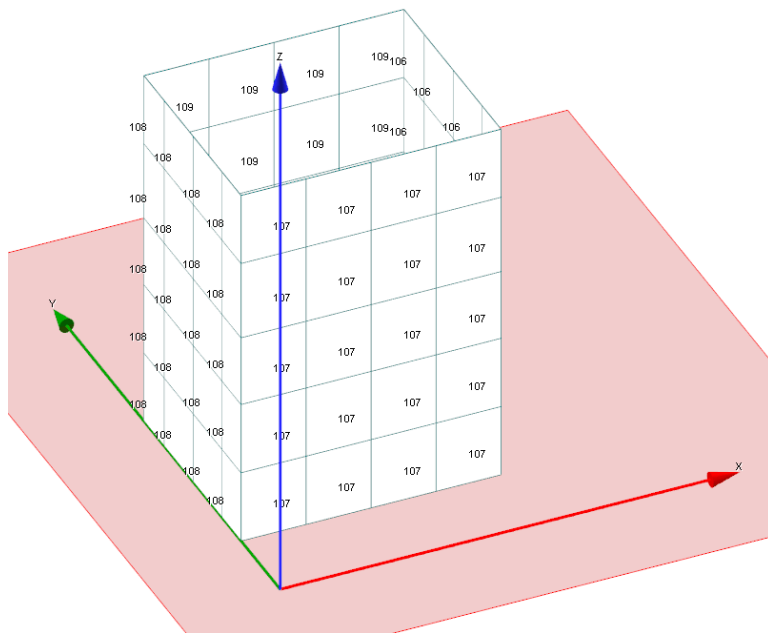


Figura 17 – modello di calcolo pozzetto

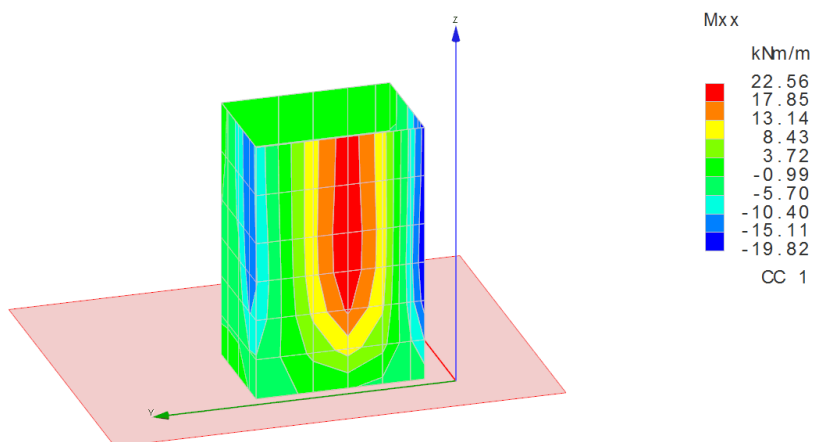


Figura 18 – M_{xx} -Sollecitazioni massime CC1

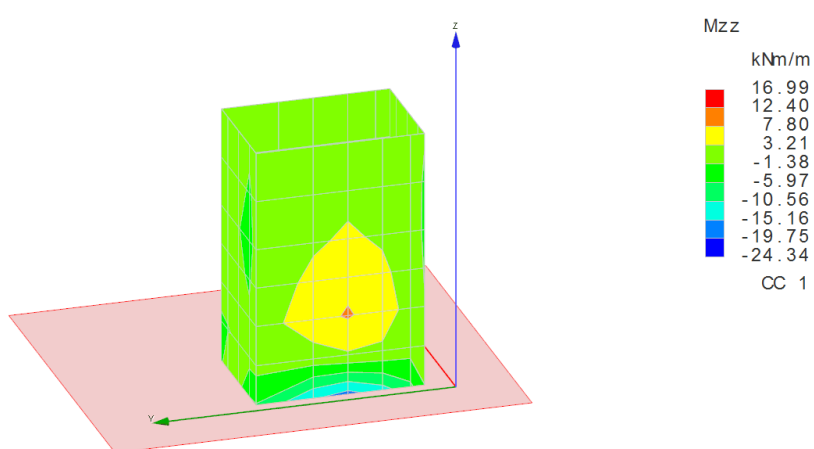


Figura 19 – M_{zz} -Sollecitazioni massime CC1

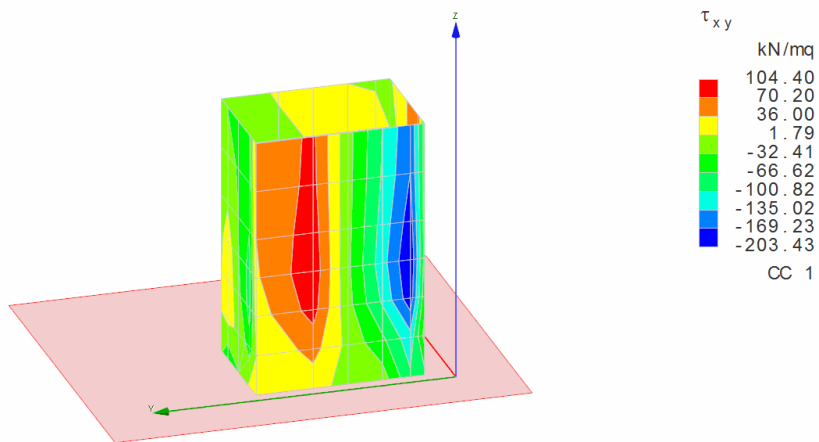


Figura 20 – T_{xy} -Sollecitazioni massime CC1

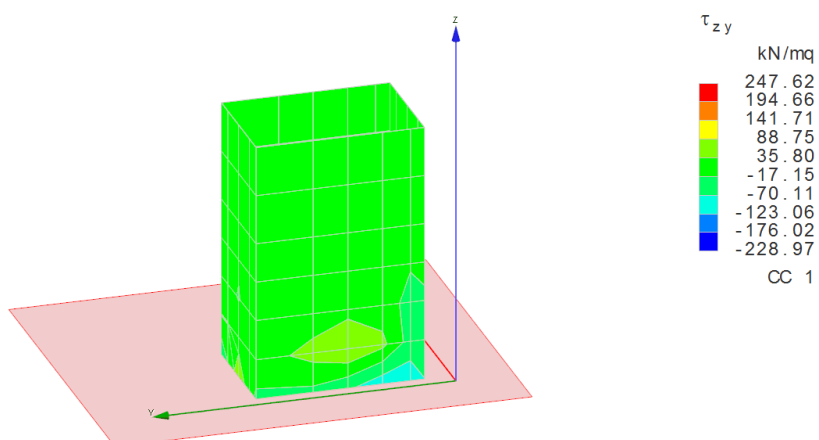


Figura 21 – T_{zy} -Sollecitazioni massime CC1

Si presentano a seguire le verifiche complete a sensi delle NTC08 delle pareti, platea di fondazione. Per maggiori dettagli sul modello numerico si rimanda al tabulato di calcolo allegato.

Verifiche e armature solette/platee

Simbologia

Nodo	= Numero del nodo
X	= Coordinata X del nodo
Y	= Coordinata Y del nodo
DV	= Direzione di verifica XX = Verifica per momento Mxx YY = Verifica per momento Myy
CC	= Numero della combinazione delle condizioni di carico elementari
TCC	= Tipo di combinazione di carico SLU = Stato limite ultimo SLU S = Stato limite ultimo (azione sismica) SLE R = Stato limite d'esercizio, combinazione rara SLE F = Stato limite d'esercizio, combinazione frequente SLE Q = Stato limite d'esercizio, combinazione quasi permanente SLD = Stato limite di danno SLV = Stato limite di salvaguardia della vita SLC = Stato limite di prevenzione del collasso SLO = Stato limite di operatività SLU I = Stato limite di resistenza al fuoco
C	= Ricoprimento dell'armatura
s	= Distanza minima tra le barre
K3	= Coefficiente di forma del diagramma delle tensioni prima della fessurazione
s _{rm}	= Distanza media tra le fessure
Φ	= Diametro della barra
A _s	= Area complessiva dei ferri nell'area di calcestruzzo efficace
A _{c eff}	= Area di calcestruzzo efficace
σ _s	= Tensione nell'acciaio nella sezione fessurata
σ _{sr}	= Tensione nell'acciaio corrispondente al raggiungimento della resistenza a trazione nel calcestruzzo
ε _{sm}	= Deformazione unitaria media dell'armatura (*1000)
Wk	= Apertura delle fessure
AfE S	= Area di ferro effettiva totale presente nel punto di verifica, superiore
AfE I	= Area di ferro effettiva totale presente nel punto di verifica, inferiore
Mom	= Momento flettente
Mu	= Momento ultimo
Sic.	= Sicurezza a rottura
Vsdu	= Taglio agente nella direzione del momento ultimo
Vrdu	= Taglio ultimo assorbibile dal solo calcestruzzo
σ _c	= Tensione nel calcestruzzo
σ _f	= Tensione nel ferro
Spess.	= Spessore
Cf sup	= Coprifero superiore
Cf inf	= Coprifero inferiore
Cls	= Tipo di calcestruzzo
Fck	= Resistenza caratteristica cilindrica a compressione del calcestruzzo
Fctk	= Resistenza caratteristica a trazione del calcestruzzo
Fcd	= Resistenza di calcolo a compressione del calcestruzzo
Fctd	= Resistenza di calcolo a trazione del calcestruzzo
Acc.	= Tipo di acciaio
Fyk	= Tensione caratteristica di snervamento dell'acciaio
Fyd	= Resistenza di calcolo dell'acciaio

Armatura platea a quota 0.00

Caratteristiche delle sezioni e dei materiali utilizzati

Spess. <cm>	Cf sup <cm>	Cf inf <cm>	Cls	Fck <daN/cmq>	Fctk <daN/cmq>	Fcd <daN/cmq>	Fctd <daN/cmq>	Acc.	Fyk <daN/cmq>	Fyd <daN/cmq>
30.00	4.00	4.00	C28/35	290.50	19.84	164.62	13.23	B450C	4500.00	3913.04

Stato limite ultimo - Ferri longitudinali - Verifiche armatura

Nodo	X <m>	Y <m>	DV	CC	TCC	AfE S <cmq>	AfE I <cmq>	Mom <daNm>	Mu <daNm>	Sic.
-124	0.65	1.91	XX	1	SLV	5.65	5.65	2433.93	5939.08	2.440
-104	0.25	1.91	XX	2	SLV	5.65	5.65	3128.81	5939.08	1.898
-8	1.30	1.27	YY	8	SLV	5.65	5.65	-1729.31	-5939.08	3.434

Stato limite ultimo - Verifica a taglio del calcestruzzo

Nodo	X <m>	Y <m>	DV	CC	TCC	AfE S <cmq>	AfE I <cmq>	Vsdū <daN>	Vrdū <daN>
-117	2.35	1.91	XX	2	SLV	5.65	5.65	11241.10	12613.40
-3	1.30	0.50	YY	8	SLV	5.65	5.65	11610.40	12613.40

Stato limite d'esercizio - Ferri longitudinali - Verifiche armatura

Nodo	X <m>	Y <m>	DV	CC	TCC	AfE S <cmq>	AfE I <cmq>	Mom <daNm>	σ_c <daN/cmq>	σ_f <daN/cmq>
-104	0.25	1.91	XX	10	SLE R	5.65	5.65	894.76	12.19	660.64
-104	0.25	1.91	XX	12	SLE Q	5.65	5.65	838.54	11.42	619.13
-125	1.30	1.91	XX	10	SLE R	5.65	5.65	-515.49	7.02	380.61
-125	1.30	1.91	XX	12	SLE Q	5.65	5.65	-546.28	7.44	403.35
-125	1.30	1.91	YY	10	SLE R	5.65	5.65	-315.11	4.29	232.66
-125	1.30	1.91	YY	12	SLE Q	5.65	5.65	-335.99	4.58	248.07
-3	1.30	0.50	YY	10	SLE R	5.65	5.65	403.32	5.50	297.79
-3	1.30	0.50	YY	12	SLE Q	5.65	5.65	414.46	5.65	306.01

Verifiche stato limite di formazione delle fessure

Nodo	X <m>	Y <m>	DV	CC	TCC	c <mm>	s <mm>	K3	s _{rm} <mm>	Φ	A _s <cmq>	A _{c eff} <cmq>	σ_s <daN/cmq>	σ_{sr} <daN/cmq>	ϵ_{sm}	W _k <mm>
-104	0.25	1.91	XX	12	SLE Q	34.00	168.00	0.15	209.30	12.00	1.13	172.74	619.13	4060.58	0.12	0.04
-104	0.25	1.91	XX	11	SLE F	34.00	168.00	0.15	209.30	12.00	1.13	172.74	635.73	4060.58	0.12	0.04
-125	1.30	1.91	XX	12	SLE Q	34.00	168.00	0.15	209.31	12.00	1.13	172.75	403.35	4060.58	0.08	0.03
-125	1.30	1.91	XX	11	SLE F	34.00	168.00	0.15	209.31	12.00	1.13	172.75	394.25	4060.58	0.08	0.03
-125	1.30	1.91	YY	12	SLE Q	34.00	168.00	0.15	209.31	12.00	1.13	172.75	248.07	4060.58	0.05	0.02
-125	1.30	1.91	YY	11	SLE F	34.00	168.00	0.15	209.31	12.00	1.13	172.75	241.91	4060.58	0.05	0.02
-3	1.30	0.50	YY	12	SLE Q	34.00	168.00	0.15	209.30	12.00	1.13	172.74	306.01	4060.58	0.06	0.02
-3	1.30	0.50	YY	11	SLE F	34.00	168.00	0.15	209.30	12.00	1.13	172.74	302.72	4219.76	0.06	0.02

Verifiche e armature pareti

Simbologia

CC	= Numero della combinazione delle condizioni di carico elementari
Zona	= Zona di verifica
Zv	= Coordinata Z di verifica
Xi	= Coordinata X iniziale
Xf	= Coordinata X finale
Xv	= Coordinata X di verifica
TCC	= Tipo di combinazione di carico SLU = Stato limite ultimo SLU S = Stato limite ultimo (azione sismica) SLE R = Stato limite d'esercizio, combinazione rara SLE F = Stato limite d'esercizio, combinazione frequente SLE Q = Stato limite d'esercizio, combinazione quasi permanente SLD = Stato limite di danno SLV = Stato limite di salvaguardia della vita SLC = Stato limite di prevenzione del collasso SLO = Stato limite di operatività SLU I = Stato limite di resistenza al fuoco
N	= Sforzo normale
Mz	= Momento flettente intorno all'asse Z
My	= Momento flettente intorno all'asse Y
Nu	= Sforzo normale ultimo
Mzu	= Momento ultimo intorno all'asse Z
Myu	= Momento ultimo intorno all'asse Y
Sic.	= Sicurezza a rottura
σ_c	= Tensione nel calcestruzzo
σ_f	= Tensione nel ferro
c	= Ricopimento dell'armatura
s	= Distanza minima tra le barre
K3	= Coefficiente di forma del diagramma delle tensioni prima della fessurazione
s _{rm}	= Distanza media tra le fessure
Φ	= Diametro della barra
A _s	= Area complessiva dei ferri nell'area di calcestruzzo efficace
A _{c eff}	= Area di calcestruzzo efficace

σ_s = Tensione nell'acciaio nella sezione fessurata
 σ_{sr} = Tensione nell'acciaio corrispondente al raggiungimento della resistenza a trazione nel calcestruzzo
 ε_{sm} = Deformazione unitaria media dell'armatura (*1000)
 W_k = Apertura delle fessure
 T_y = Taglio in dir. Y
 V_{sd} = Taglio agente nella direzione del momento ultimo
 $c_{tg\theta}$ = Cotangente dell'angolo di inclinazione dei puntoni di calcestruzzo
 V_{Rsd} = Taglio ultimo lato armatura
 V_{Rcd} = Taglio ultimo lato calcestruzzo
 V_{Rdu} = Taglio ultimo assorbibile dal solo calcestruzzo
 $Sic.T$ = Sicurezza a rottura per taglio
 $Sez.$ = Sezione di verifica
 $Spess.$ = Spessore
 C_f = Copriferro
 Cls = Tipo di calcestruzzo
 F_{ck} = Resistenza caratteristica cilindrica a compressione del calcestruzzo
 F_{ctk} = Resistenza caratteristica a trazione del calcestruzzo
 F_{cd} = Resistenza di calcolo a compressione del calcestruzzo
 F_{ctd} = Resistenza di calcolo a trazione del calcestruzzo
 $Acc.$ = Tipo di acciaio
 F_{yk} = Tensione caratteristica di snervamento dell'acciaio
 F_{yd} = Resistenza di calcolo dell'acciaio

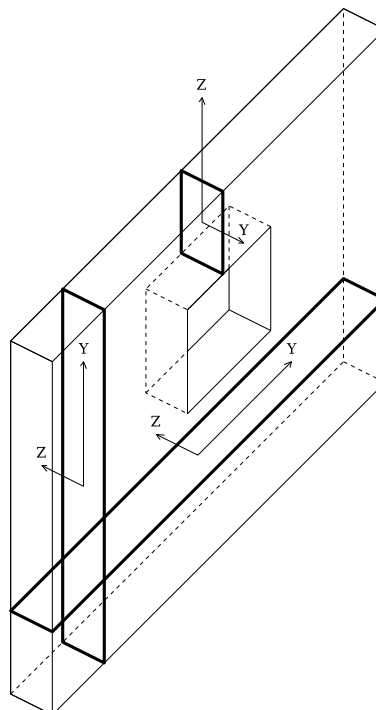


Figura numero 2: Riferimenti sezione

Parete n. 106

Caratteristiche delle sezioni e dei materiali utilizzati

Sez.	Spess. <cm>	Cf <cm>	Cls	F _{ok} <daN/cm ² >	F _{ctk} <daN/cm ² >	F _{cd} <daN/cm ² >	F _{ctd} <daN/cm ² >	Acc.	F _{yk} <daN/cm ² >	F _{yd} <daN/cm ² >
Oriz.	30.00	5.80	C28/35	290.50	19.84	164.62	13.23	B450C	4500.00	3913.04

Verifiche su sezioni orizzontali

Stato limite ultimo - Armatura a flessione

CC	TCC	Zona	Z _v <m>	X _i <m>	X _f <m>	N <daN>	M _z <daNm>	M _y <daNm>	N _u <daN>	M _{zu} <daNm>	M _{yu} <daNm>	Sic.
5	SLV	Diff. long.	0.00	0.00	3.10	6226.95	16606.30	0.00	6225.55	192409.00	0.00	11.587

Affidamento a Contraente Generale dei "Lavori di ammodernamento del tratto Palermo - Lercara Friddi, lotto funzionale dal km 14,4 (km. 0,0 del Lotto 2) compreso il tratto di raccordo della rotatoria Bolognetta, al km 48,0 (km. 33,6 del Lotto 2 – Svincolo Manganaro incluso) compresi i raccordi con le attuali SS n.189 e SS n.121".
PROGETTO ESECUTIVO DI DETTAGLIO

9	SLU	Diff. tras.	0.00	0.00	3.10	-15923.30	0.00	2116.27	-15925.10	0.00	21088.50	9.965
5	SLV	Diff. long.	1.20	0.00	3.10	3469.68	11141.10	0.00	3471.27	196079.00	0.00	17.600
2	SLV	Diff. tras.	1.20	0.00	3.10	30134.90	0.00	-1739.62	30131.90	0.00	-15394.70	8.849
7	SLV	Diff. long.	2.40	0.00	3.10	-569.51	-4409.68	0.00	-571.64	-203148.00	0.00	46.069
2	SLV	Diff. tras.	2.40	0.00	3.10	10722.90	0.00	-926.76	10722.20	0.00	-17742.90	19.145
7	SLV	Diff. long.	3.60	0.00	3.10	-996.90	-1736.00	0.00	-998.70	-203708.00	0.00	>100
2	SLV	Diff. tras.	3.60	0.00	3.10	4213.89	0.00	-446.16	4213.78	0.00	-18485.30	41.432
6	SLV	Diff. long.	4.80	0.00	3.10	-1639.51	234.95	0.00	-1644.10	204554.00	0.00	>100
3	SLV	Diff. tras.	4.80	0.00	3.10	-2873.89	0.00	186.76	-2876.27	0.00	19563.10	>100

Stato limite d'esercizio - Armatura a flessione

CC	TCC	Zona	Zv <m>	Xi <m>	Xf <m>	N <daN>	Mz <daNm>	My <daNm>	σ_c <daN/cmq>	σ_f <daN/cmq>
10	SLE R	Diff. tras.	0.00	0.00	3.10	-11716.90	0.00	1544.21	6.21	83.17
12	SLE Q	Diff. tras.	0.00	0.00	3.10	-11643.20	0.00	1505.57	6.01	77.33
10	SLE R	Diff. tras.	1.20	0.00	3.10	-9292.13	0.00	-959.09	3.53	34.52
12	SLE Q	Diff. tras.	1.20	0.00	3.10	-9278.49	0.00	-888.30	3.21	32.68
10	SLE R	Diff. tras.	2.40	0.00	3.10	-5166.51	0.00	-461.45	1.65	17.33
12	SLE Q	Diff. tras.	2.40	0.00	3.10	-5182.47	0.00	-421.65	1.49	16.31
10	SLE R	Diff. tras.	3.60	0.00	3.10	-3176.58	0.00	-94.51	0.51	6.60
12	SLE Q	Diff. tras.	3.60	0.00	3.10	-3194.59	0.00	-72.99	0.47	6.22
10	SLE R	Diff. tras.	4.80	0.00	3.10	-1056.51	0.00	30.29	0.17	2.17
12	SLE Q	Diff. tras.	4.80	0.00	3.10	-1067.72	0.00	36.25	0.18	2.30

Verifiche stato limite di formazione delle fessure

CC	TCC	Zona	Zv <m>	Xi <m>	Xf <m>	N <daN>	Mz <daNm>	My <daNm>	c <mm>	s <mm>	K3	s_{rm} <mm>	Φ	A_s <cmq>	A_{seff} <cmq>	σ_s <daN/cmq>	σ_{sx} <daN/cmq>	ϵ_{sm}	Wk <mm>
12	SLE Q	Diff. tras.	0.00	0.00	3.10	-11643.20	0.00	1505.57	52.00	168.00	0.13	242.04	12.00	1.13	196.86	77.33	1418.38	0.02	0.01
11	SLE F	Diff. tras.	0.00	0.00	3.10	-11672.70	0.00	1521.02	52.00	168.00	0.13	242.04	12.00	1.13	196.86	79.65	1439.13	0.02	0.01
12	SLE Q	Diff. tras.	1.20	0.00	3.10	-9278.49	0.00	-888.30	52.00	168.00	0.13	242.04	12.00	1.13	196.86	16.36	655.12	0.00	0.00
11	SLE F	Diff. tras.	1.20	0.00	3.10	-9283.95	0.00	-916.62	52.00	168.00	0.13	242.04	12.00	1.13	196.86	19.32	725.15	0.00	0.00
12	SLE Q	Diff. tras.	2.40	0.00	3.10	-5182.47	0.00	-421.65	52.00	168.00	0.13	242.04	12.00	1.13	196.86	2.99	313.54	0.00	0.00
11	SLE F	Diff. tras.	2.40	0.00	3.10	-5176.08	0.00	-437.57	52.00	168.00	0.13	242.04	12.00	1.13	196.86	4.11	391.32	0.00	0.00

Stato limite ultimo - Armatura a taglio

CC	Zona	Zv <m>	Xi <m>	Xf <m>	TCC	Ty <daN>	Vsdū <daN>	ctgθ	VRsd <daN>	VRcd <daN>	Vrdu <daN>	Sic.T
7	Diff. long.	0.00	0.00	3.10	SLV	24045.90	24045.90	2.14	259286.00	259286.00	259286.00	10.78
7	Diff. long.	1.20	0.00	3.10	SLV	19782.20	19782.20	2.14	259286.00	259286.00	259286.00	13.11
5	Diff. long.	2.40	0.00	3.10	SLV	-13028.20	13028.20	2.14	259309.00	259309.00	259309.00	19.90
7	Diff. long.	3.60	0.00	3.10	SLV	8750.28	8750.28	2.14	259389.00	259389.00	259389.00	29.64
5	Diff. long.	4.80	0.00	3.10	SLV	-3295.08	3295.08	2.14	259344.00	259344.00	259344.00	78.71

Parete n. 107

Caratteristiche delle sezioni e dei materiali utilizzati

Sez.	Spess. <cm>	Cf <cm>	Cl _s	F _{ck} <daN/cmq>	F _{cwk} <daN/cmq>	F _{cd} <daN/cmq>	F _{cwk} <daN/cmq>	Acc.	F _{yk} <daN/cmq>	F _{yd} <daN/cmq>
Oriz.	30.00	5.80	C28/35	290.50	19.84	164.62	13.23	B450C	4500.00	3913.04

Verifiche su sezioni orizzontali

Stato limite ultimo - Armatura a flessione

CC	TCC	Zona	Zv <m>	Xi <m>	Xf <m>	N <daN>	Mz <daNm>	My <daNm>	Nu <daN>	Mzu <daNm>	Myu <daNm>	Sic.
2	SLV	Diff. long.	0.00	0.00	2.10	3031.24	10445.10	0.00	3032.77	90759.50	0.00	8.689
6	SLV	Diff. tras.	0.00	0.00	2.10	-33094.10	0.00	1402.61	-33096.90	0.00	16743.50	11.937
2	SLV	Diff. long.	1.20	0.00	2.10	938.50	5922.97	0.00	940.33	92649.20	0.00	15.642
9	SLU	Diff. tras.	1.20	0.00	2.10	-6799.89	0.00	-409.99	-6800.18	0.00	-14012.20	34.177
4	SLV	Diff. long.	2.40	0.00	2.10	-1205.40	-1984.57	0.00	-1205.92	-95339.20	0.00	48.040
2	SLV	Diff. tras.	2.40	0.00	2.10	-1214.43	0.00	312.88	-1217.48	0.00	13336.80	42.626
4	SLV	Diff. long.	3.60	0.00	2.10	-1064.96	-642.20	0.00	-1068.69	-95220.00	0.00	>100
1	SLV	Diff. tras.	3.60	0.00	2.10	-3295.92	0.00	266.19	-3296.02	0.00	13588.40	51.048
9	SLU	Diff. long.	4.80	0.00	2.10	-995.82	0.00	0.00	-1134450.00	0.00	0.00	>100
1	SLV	Diff. tras.	4.80	0.00	2.10	-1058.44	0.00	112.61	-1062.63	0.00	13318.00	>100

Stato limite d'esercizio - Armatura a flessione

CC	TCC	Zona	Zv <m>	Xi <m>	Xf <m>	N <daN>	Mz <daNm>	My <daNm>	σ_c <daN/cmq>	σ_f <daN/cmq>
9	SLU	Diff. tras.	0.00	0.00	2.10	-15925.10	0.00	2116.27	0.00	21088.50

10	SLE R	Diff. tras.	0.00	0.00	2.10	-5733.24	0.00	321.56	1.82	21.72
12	SLE Q	Diff. tras.	0.00	0.00	2.10	-5809.45	0.00	351.99	1.94	22.80
10	SLE R	Diff. tras.	1.20	0.00	2.10	-5053.46	0.00	-281.72	1.60	19.10
12	SLE Q	Diff. tras.	1.20	0.00	2.10	-5072.29	0.00	-271.37	1.57	18.84
10	SLE R	Diff. tras.	2.40	0.00	2.10	-3417.28	0.00	175.93	1.04	12.50
12	SLE Q	Diff. tras.	2.40	0.00	2.10	-3401.25	0.00	154.59	0.97	11.88
10	SLE R	Diff. tras.	3.60	0.00	2.10	-2198.65	0.00	139.19	0.75	8.82
12	SLE Q	Diff. tras.	3.60	0.00	2.10	-2180.44	0.00	119.72	0.68	8.19
10	SLE R	Diff. tras.	4.80	0.00	2.10	-735.14	0.00	51.20	0.27	3.10
12	SLE Q	Diff. tras.	4.80	0.00	2.10	-723.83	0.00	41.98	0.23	2.78

Stato limite ultimo - Armatura a taglio

CC	Zona	Zv <m>	Xi <m>	Xf <m>	TCC	Ty <daN>	Vsdū <daN>	ctgθ	VRsd <daN>	VRcd <daN>	Vrdu <daN>	Sic.T
2	Diff. long.	0.00	0.00	2.10	SLV	-27371.90	27371.90	2.14	174051.00	174051.00	174051.00	6.36
2	Diff. long.	1.20	0.00	2.10	SLV	-24373.90	24373.90	2.14	174051.00	174051.00	174051.00	7.14
4	Diff. long.	2.40	0.00	2.10	SLV	15766.00	15766.00	2.14	174174.00	174174.00	174174.00	11.05
4	Diff. long.	3.60	0.00	2.10	SLV	10429.80	10429.80	2.14	174160.00	174160.00	174160.00	16.70
4	Diff. long.	4.80	0.00	2.10	SLV	3932.64	3932.64	2.14	174091.00	174091.00	174091.00	44.27

Parete n. 108

Caratteristiche delle sezioni e dei materiali utilizzati

Sez.	Spess. <cm>	Cf <cm>	Cl _s	F _{ck} <daN/cmq>	F _{ctk} <daN/cmq>	F _{cd} <daN/cmq>	F _{ctd} <daN/cmq>	Acc.	F _{yk} <daN/cmq>	F _{yd} <daN/cmq>
Oriz.	30.00	5.80	C28/35	290.50	19.84	164.62	13.23	B450C	4500.00	3913.04

Verifiche su sezioni orizzontali

Stato limite ultimo - Armatura a flessione

CC	TCC	Zona	Zv <m>	Xi <m>	Xf <m>	N <daN>	Mz <daNm>	My <daNm>	Nu <daN>	Mzu <daNm>	Myu <daNm>	Sic.
6	SLV	Diff. long.	0.00	0.00	3.10	6666.57	16612.10	0.00	6664.61	191824.00	0.00	11.547
2	SLV	Diff. tras.	0.00	0.00	3.10	-67300.90	0.00	2752.88	-67301.90	0.00	26405.80	9.592
6	SLV	Diff. long.	1.20	0.00	3.10	3681.98	11139.80	0.00	3680.14	195802.00	0.00	17.577
9	SLU	Diff. tras.	1.20	0.00	3.10	-12553.40	0.00	-1465.72	-12556.30	0.00	-20733.30	14.146
8	SLV	Diff. long.	2.40	0.00	3.10	-568.51	-4409.58	0.00	-571.62	-203148.00	0.00	46.070
9	SLU	Diff. tras.	2.40	0.00	3.10	-6947.80	0.00	-681.36	-6948.91	0.00	-20056.20	29.435
8	SLV	Diff. long.	3.60	0.00	3.10	-1060.54	-1737.18	0.00	-1063.03	-203792.00	0.00	>100
8	SLV	Diff. tras.	3.60	0.00	3.10	-1060.54	0.00	-155.63	-1061.31	0.00	-19343.20	>100
5	SLV	Diff. long.	4.80	0.00	3.10	-1580.10	235.12	0.00	-1583.52	204474.00	0.00	>100
1	SLV	Diff. tras.	4.80	0.00	3.10	-2675.84	0.00	82.44	-2680.25	0.00	19539.30	>100

Stato limite d'esercizio - Armatura a flessione

CC	TCC	Zona	Zv <m>	Xi <m>	Xf <m>	N <daN>	Mz <daNm>	My <daNm>	σ _c <daN/cmq>	σ _f <daN/cmq>
10	SLE R	Diff. tras.	0.00	0.00	3.10	-11716.90	0.00	1544.21	6.21	83.17
12	SLE Q	Diff. tras.	0.00	0.00	3.10	-11643.20	0.00	1505.57	6.01	77.33
10	SLE R	Diff. tras.	1.20	0.00	3.10	-9292.13	0.00	-959.09	3.53	34.52
12	SLE Q	Diff. tras.	1.20	0.00	3.10	-9278.49	0.00	-888.30	3.21	32.68
10	SLE R	Diff. tras.	2.40	0.00	3.10	-5166.51	0.00	-461.45	1.65	17.33
12	SLE Q	Diff. tras.	2.40	0.00	3.10	-5182.47	0.00	-421.65	1.49	16.31
10	SLE R	Diff. tras.	3.60	0.00	3.10	-3176.58	0.00	-94.51	0.51	6.60
12	SLE Q	Diff. tras.	3.60	0.00	3.10	-3194.59	0.00	-72.99	0.47	6.22
10	SLE R	Diff. tras.	4.80	0.00	3.10	-1056.51	0.00	30.29	0.17	2.17
12	SLE Q	Diff. tras.	4.80	0.00	3.10	-1067.72	0.00	36.25	0.18	2.30

Verifiche stato limite di formazione delle fessure

CC	TCC	Zona	Zv <m>	Xi <m>	Xf <m>	N <daN>	Mz <daNm>	My <daNm>	c <mm>	s <mm>	K3	s _{rm} <mm>	Φ	A _s <cmq>	A _{seff} <cmq>	σ _s <daN/cmq>	σ _{sr} <daN/cmq>	ε _{sm}	W _k <mm>
12	SLE Q	Diff. tras.	0.00	0.00	3.10	-11643.20	0.00	1505.57	52.00	168.00	0.13	242.04	12.00	1.13	196.86	77.33	1418.38	0.02	0.01
11	SLE F	Diff. tras.	0.00	0.00	3.10	-11672.70	0.00	1521.02	52.00	168.00	0.13	242.04	12.00	1.13	196.86	79.65	1439.13	0.02	0.01
12	SLE Q	Diff. tras.	1.20	0.00	3.10	-9278.49	0.00	-888.30	52.00	168.00	0.13	242.04	12.00	1.13	196.86	16.36	655.11	0.00	0.00
11	SLE F	Diff. tras.	1.20	0.00	3.10	-9283.95	0.00	-916.62	52.00	168.00	0.13	242.04	12.00	1.13	196.86	19.32	725.15	0.00	0.00
12	SLE Q	Diff. tras.	2.40	0.00	3.10	-5182.47	0.00	-421.65	52.00	168.00	0.13	242.04	12.00	1.13	196.86	2.99	313.54	0.00	0.00
11	SLE F	Diff. tras.	2.40	0.00	3.10	-5176.08	0.00	-437.57	52.00	168.00	0.13	242.04	12.00	1.13	196.86	4.11	391.32	0.00	0.00

Stato limite ultimo - Armatura a taglio

CC	Zona	Zv	Xi	Xf	TCC	Ty	Vsdū	ctgθ	VRsd	VRcd	Vrdu	Sic.T
----	------	----	----	----	-----	----	------	------	------	------	------	-------

		$\langle m \rangle$	$\langle m \rangle$	$\langle m \rangle$		$\langle daN \rangle$	$\langle daN \rangle$		$\langle daN \rangle$	$\langle daN \rangle$	$\langle daN \rangle$	
8	Diff. long.	0.00	0.00	3.10	SLV	-24044.50	24044.50	2.14	259286.00	259286.00	259286.00	10.78
8	Diff. long.	1.20	0.00	3.10	SLV	-19782.30	19782.30	2.14	259286.00	259286.00	259286.00	13.11
6	Diff. long.	2.40	0.00	3.10	SLV	13028.50	13028.50	2.14	259309.00	259309.00	259309.00	19.90
8	Diff. long.	3.60	0.00	3.10	SLV	-8749.34	8749.34	2.14	259396.00	259396.00	259396.00	29.65
6	Diff. long.	4.80	0.00	3.10	SLV	3294.32	3294.32	2.14	259350.00	259350.00	259350.00	78.73

Parete n. 109

Caratteristiche delle sezioni e dei materiali utilizzati

Sez.	Spess.	Cf $\langle cm \rangle$	Cls	Fck $\langle daN/cmq \rangle$	Fctk $\langle daN/cmq \rangle$	Fcd $\langle daN/cmq \rangle$	Fctd $\langle daN/cmq \rangle$	Acc.	Fyk $\langle daN/cmq \rangle$	Fyd $\langle daN/cmq \rangle$
Oriz.	30.00	5.80	C28/35	290.50	19.84	164.62	13.23	B450C	4500.00	3913.04

Verifiche su sezioni orizzontali

Stato limite ultimo - Armatura a flessione

CC	TCC	Zona	Zv $\langle m \rangle$	Xi $\langle m \rangle$	Xf $\langle m \rangle$	N $\langle daN \rangle$	Mz $\langle daNm \rangle$	My $\langle daNm \rangle$	Nu $\langle daN \rangle$	Mzu $\langle daNm \rangle$	Myu $\langle daNm \rangle$	Sic.
1	SLV	Diff. long.	0.00	0.00	2.10	2357.59	-9071.40	0.00	2362.23	-91365.30	0.00	10.072
8	SLV	Diff. tras.	0.00	0.00	2.10	-29193.50	0.00	1642.50	-29196.10	0.00	16342.30	9.950
1	SLV	Diff. long.	1.20	0.00	2.10	438.18	-5541.19	0.00	436.83	-93103.60	0.00	16.802
6	SLV	Diff. tras.	1.20	0.00	2.10	11989.60	0.00	-511.68	11990.40	0.00	-11640.70	22.750
1	SLV	Diff. long.	2.40	0.00	2.10	-1325.21	-1877.19	0.00	-1325.80	-95443.20	0.00	50.844
2	SLV	Diff. tras.	2.40	0.00	2.10	-5498.67	0.00	347.85	-5500.06	0.00	13855.00	39.830
3	SLV	Diff. long.	3.60	0.00	2.10	-1081.82	560.49	0.00	-1085.88	95235.00	0.00	>100
7	SLV	Diff. tras.	3.60	0.00	2.10	-5505.75	0.00	307.11	-5506.16	0.00	13855.80	45.117
3	SLV	Diff. long.	4.80	0.00	2.10	-374.35	-28.39	0.00	-377.75	-94619.90	0.00	>100
7	SLV	Diff. tras.	4.80	0.00	2.10	-1591.26	0.00	134.61	-1593.59	0.00	13382.30	99.418

Stato limite d'esercizio - Armatura a flessione

CC	TCC	Zona	Zv $\langle m \rangle$	Xi $\langle m \rangle$	Xf $\langle m \rangle$	N $\langle daN \rangle$	Mz $\langle daNm \rangle$	My $\langle daNm \rangle$	σ_c $\langle daN/cmq \rangle$	σ_f $\langle daN/cmq \rangle$
10	SLE R	Diff. tras.	0.00	0.00	2.10	-5373.89	0.00	362.01	1.93	22.27
12	SLE Q	Diff. tras.	0.00	0.00	2.10	-5445.14	0.00	392.75	2.07	23.45
10	SLE R	Diff. tras.	1.20	0.00	2.10	-5053.24	0.00	-279.62	1.59	19.04
12	SLE Q	Diff. tras.	1.20	0.00	2.10	-5061.71	0.00	-269.12	1.56	18.75
10	SLE R	Diff. tras.	2.40	0.00	2.10	-3435.68	0.00	176.79	1.04	12.56
12	SLE Q	Diff. tras.	2.40	0.00	2.10	-3419.78	0.00	155.21	0.97	11.94
10	SLE R	Diff. tras.	3.60	0.00	2.10	-2192.65	0.00	138.82	0.75	8.79
12	SLE Q	Diff. tras.	3.60	0.00	2.10	-2174.85	0.00	119.40	0.68	8.17
10	SLE R	Diff. tras.	4.80	0.00	2.10	-733.34	0.00	49.93	0.27	3.06
12	SLE Q	Diff. tras.	4.80	0.00	2.10	-722.22	0.00	40.86	0.23	2.75

Verifiche stato limite di formazione delle fessure

CC	TCC	Zona	Zv $\langle m \rangle$	Xi $\langle m \rangle$	Xf $\langle m \rangle$	N $\langle daN \rangle$	Mz $\langle daNm \rangle$	My $\langle daNm \rangle$	c $\langle mm \rangle$	s $\langle mm \rangle$	K3	s_{rm} $\langle mm \rangle$	Φ	A_s $\langle cmq \rangle$	$A_{c\ eff}$ $\langle cmq \rangle$	σ_s $\langle daN/cmq \rangle$	σ_{sr} $\langle daN/cmq \rangle$	s_{sm}	Wk $\langle mm \rangle$
12	SLE Q	Diff. tras.	0.00	0.00	2.10	-5445.14	0.00	392.75	52.00	168.00	0.13	242.04	12.00	1.13	196.86	0.57	54.68	0.00	0.00

Stato limite ultimo - Armatura a taglio

CC	Zona	Zv $\langle m \rangle$	Xi $\langle m \rangle$	Xf $\langle m \rangle$	TCC	Ty $\langle daN \rangle$	Vsdu $\langle daN \rangle$	ctgθ	VRsd $\langle daN \rangle$	VRcd $\langle daN \rangle$	Vrdu $\langle daN \rangle$	Sic.T
1	Diff. long.	0.00	0.00	2.10	SLV	27682.90	27682.90	2.14	174051.00	174051.00	174051.00	6.29
1	Diff. long.	1.20	0.00	2.10	SLV	24261.40	24261.40	2.14	174051.00	174051.00	174051.00	7.17
1	Diff. long.	2.40	0.00	2.10	SLV	15749.00	15749.00	2.14	174186.00	174186.00	174186.00	11.06
3	Diff. long.	3.60	0.00	2.10	SLV	-10456.70	10456.70	2.14	174161.00	174161.00	174161.00	16.66
3	Diff. long.	4.80	0.00	2.10	SLV	-3924.88	3924.88	2.14	174089.00	174089.00	174089.00	44.36

2)tabulato pozetto 2.5x1.5x4.5 sp.30cm

Sommario

Introduzione	2
Sistemi di riferimento	2
Rotazioni e momenti	2
Normativa di riferimento	2
Unità di misura	3
Geometria.....	3
Elenco vincoli nodi	3
Elenco nodi	3
Elenco materiali	4
Elenco tipi elementi bidimensionali	4
Carichi.....	4
Condizioni di carico elementari	4
Elenco peso proprio elementi bidimensionali	5
Elenco carichi elementi bidimensionali Condizione di carico n. 2: g3_spinta a riposo Carichi idrostatici	5
Elenco carichi elementi bidimensionali Condizione di carico n. 3: g3_sovraspinta_x Carichi idrostatici	6
Elenco carichi elementi bidimensionali Condizione di carico n. 4: g3_sovraspinta_y Carichi idrostatici	6
Elenco carichi elementi bidimensionali Condizione di carico n. 5: q6_g3_slv_x Carichi idrostatici	7
Elenco carichi elementi bidimensionali Condizione di carico n. 6: q6_g3_slv_y Carichi idrostatici	7
Risultati del calcolo.....	7
Parametri di calcolo	7
<i>Figura numero 1: Spettro SLV</i>	9
Reazioni vincolari	13
Tensioni sul terreno	14
Verifiche e armature solette/platee.....	14
Armatura platea a quota 0.00	15
Verifiche e armature pareti.....	16
<i>Figura numero 2: Riferimenti sezione</i>	17
Parete n. 106	17
Parete n. 107	18
Parete n. 108	18
Parete n. 109	19

Introduzione

Sistemi di riferimento

Le coordinate, i carichi concentrati, i cedimenti, le reazioni vincolari e gli spostamenti dei NODI sono riferiti ad una terna destra cartesiana globale con l'asse Z verticale rivolto verso l'alto.

I carichi in coordinate locali e le sollecitazioni delle ASTE sono riferite ad una terna destra cartesiana locale così definita:

- origine nel nodo iniziale dell'asta;
- asse X coincidente con l'asse dell'asta e con verso dal nodo iniziale al nodo finale;
- immaginando la trave a sezione rettangolare l'asse Y è parallelo alla base e l'asse Z è parallelo all'altezza. La rotazione dell'asta comporta quindi una rotazione di tutta la terna locale.

Si può immaginare la terna locale di un'asta comunque disposta nello spazio come derivante da quella globale dopo una serie di trasformazioni:

- una rotazione intorno all'asse Z che porti l'asse X a coincidere con la proiezione dell'asse dell'asta sul piano orizzontale;
- una traslazione lungo il nuovo asse X così definito in modo da portare l'origine a coincidere con la proiezione del nodo iniziale dell'asta sul piano orizzontale;
- una traslazione lungo l'asse Z che porti l'origine a coincidere con il nodo iniziale dell'asta;
- una rotazione intorno all'asse Y così definito che porti l'asse X a coincidere con l'asse dell'asta;
- una rotazione intorno all'asse X così definito pari alla rotazione dell'asta.

In pratica le travi prive di rotazione avranno sempre l'asse Z rivolto verso l'alto e l'asse Y nel piano del solaio, mentre i pilastri privi di rotazione avranno l'asse Y parallelo all'asse Y globale e l'asse Z parallelo ma controverso all'asse X globale. Da notare quindi che per i pilastri la "base" è il lato parallelo a Y.

Le sollecitazioni ed i carichi in coordinate locali negli ELEMENTI BIDIMENSIONALI e nei MURI sono riferiti ad una terna destra cartesiana locale così definita:

- origine nel primo nodo dell'elemento;
- asse X coincidente con la congiungente il primo ed il secondo nodo dell'elemento;
- asse Y definito come prodotto vettoriale fra il versore dell'asse X e il versore della congiungente il primo e il quarto nodo. Asse Z a formare con gli altri due una terna destrorsa.

Praticamente un elemento verticale con l'asse X locale coincidente con l'asse X globale ha anche gli altri assi locali coincidenti con quelli globali.

Rotazioni e momenti

Seguendo il principio adottato per tutti i carichi che sono positivi se CONTROVERSI agli assi, anche i momenti concentrati e le rotazioni impresse in coordinate globali risultano positivi se CONTROVERSI al segno positivo delle rotazioni. Il segno positivo dei momenti e delle rotazioni è quello orario per l'osservatore posto nell'origine: X ruota su Y, Y ruota su Z, Z ruota su X. In pratica è sufficiente adottare la regola della mano destra: col pollice rivolto nella direzione dell'asse, la rotazione che porta a chiudere il palmo della mano corrisponde al segno positivo.

Normativa di riferimento

La normativa di riferimento è la seguente:

- Legge n. 64 del 2/2/1974 - Provvedimenti per le costruzioni con particolari prescrizioni per le zone sismiche.
- D.M. del 24/1/1986 - Norme tecniche relative alle costruzioni sismiche.
- Legge n. 1086 del 5/11/1971 - Norme per la disciplina delle opere di conglomerato cementizio armato, normale e precompresso ed a struttura metallica.
- D.M. del 14/2/1992 - Norme tecniche per l'esecuzione delle opere in c.a. normale e precompresso e per le strutture metalliche.
- D.M. del 9/1/1996 - Norme tecniche per l'esecuzione delle opere in c.a. normale e precompresso e per le strutture metalliche.
- D.M. del 16/1/1996 - Norme tecniche per le costruzioni in zone sismiche.
- Circolare n. 21745 del 30/7/1981 - Legge n. 219 del 14/5/1981 - Art. 10 - Istruzioni relative al rafforzamento degli edifici in muratura danneggiati dal sisma.
- Regione Autonoma Friuli Venezia Giulia - Legge Regionale n. 30 del 20/6/1977 - Documentazione tecnica per la progettazione e direzione delle opere di riparazione degli edifici - Documento Tecnico n. 2 - Raccomandazioni per la riparazione strutturale degli edifici in muratura.
- D.M. del 20/11/1987 - Norme Tecniche per la progettazione, esecuzione e collaudo degli edifici in muratura e per il loro consolidamento.
- Norme Tecniche C.N.R. n. 10011-85 del 18/4/1985 - Costruzioni di acciaio - Istruzioni per il calcolo, l'esecuzione, il collaudo e la manutenzione.
- Norme Tecniche C.N.R. n. 10025-84 del 14/12/1984 - Istruzioni per il progetto, l'esecuzione ed il controllo delle strutture prefabbricate in conglomerato cementizio e per le strutture costruite con sistemi industrializzati di acciaio

Relazione di calcolo

- Istruzioni per il calcolo, l'esecuzione, il collaudo e la manutenzione.
- Circolare n. 65 del 10/4/1997 - Istruzioni per l'applicazione delle "Norme tecniche per le costruzioni in zone sismiche" di cui al D.M. del 16/1/1996.
- Eurocodice 5 - Progettazione delle strutture di legno.
- DIN 1052 - Metodi di verifica per il legno.
- D.M. del 14/1/2008 - Norme tecniche per le costruzioni. Le verifiche degli elementi di fondazione sono eseguite utilizzando l'Approccio 2.
- Circolare n. 617 del 2/2/2009 - Istruzioni per l'applicazione delle "Nuove norme tecniche per le costruzioni" di cui al D.M. del 14/1/2008.
- Documento Tecnico CNR-DT 200 R1/2012 - Istruzioni per la Progettazione, l'Esecuzione ed il Controllo di Interventi di Consolidamento Statico mediante l'utilizzo di Compositi Fibrorinforzati.
- Eurocodice 3 - Progettazione delle strutture in acciaio.

Unità di misura

Le unità di misura adottate sono le seguenti:

- lunghezze : m
- forze : daN
- masse : kg
- temperature : gradi centigradi
- angoli : gradi sessadecimali o radianti

Geometria

Elenco vincoli nodi

Simbologia

Vn	= Numero del vincolo nodo
Comm.	= Commento
Sx	= Spostamento in dir. X (L=libero, B=bloccato, E=elastico)
Sy	= Spostamento in dir. Y (L=libero, B=bloccato, E=elastico)
Sz	= Spostamento in dir. Z (L=libero, B=bloccato, E=elastico)
Rx	= Rotazione intorno all'asse X (L=libera, B=bloccata, E=elastica)
Ry	= Rotazione intorno all'asse Y (L=libera, B=bloccata, E=elastica)
Rz	= Rotazione intorno all'asse Z (L=libera, B=bloccata, E=elastica)
RL	= Rotazione libera
Ly	= Lunghezza (dir. Y locale)
Lz	= Larghezza (dir. Z locale)
Kt	= Coeff. di sottofondo su suolo elastico alla Winkler

Vn	Comm.	Sx	Sy	Sz	Rx	Ry	Rz	RL	Ly <m>	Lz <m>	Kt <daN/cm>
1	Libero	L	L	L	L	L	L				
2	El. sew 110001	B	B	L	L	L	B				

Elenco nodi

Simbologia

Nodo	X <m>	Y <m>	Z <m>	Imp.	Vn
-165	0.25	1.27	3.88	0	1
-162	0.25	3.60	3.88	0	1
-159	1.95	3.60	3.88	0	1
-156	2.35	1.91	3.88	0	1
-153	2.35	0.50	3.88	0	1
-150	0.65	0.50	3.88	0	1
-147	0.25	0.76	4.80	1	1
-144	0.25	2.55	4.80	1	1
-141	1.30	3.60	4.80	1	1
-138	2.35	2.55	4.80	1	1
-135	2.35	0.76	4.80	1	1
-132	1.30	0.50	4.80	1	1
-129	0.65	0.76	0.00	0	2
-126	1.95	1.91	0.00	0	2
-123	0.65	3.60	0.75	0	1
-120	2.35	3.60	0.75	0	1

Nodo	X <m>	Y <m>	Z <m>	Imp.	Vn	Nodo	X <m>	Y <m>	Z <m>	Imp.	Vn	Nodo	X <m>	Y <m>	Z <m>	Imp.	Vn
-164	0.25	1.91	3.88	0	1	-161	0.65	3.60	3.88	0	1	-158	2.35	3.60	3.88	0	1
-155	2.35	1.27	3.88	0	1	-152	1.95	0.50	3.88	0	1	-149	0.25	0.76	3.88	0	1
-150	0.65	0.50	3.88	0	1	-146	0.25	1.27	4.80	1	1	-143	0.25	3.60	4.80	1	1
-141	1.30	3.60	4.80	1	1	-140	1.95	3.60	4.80	1	1	-137	2.35	1.91	4.80	1	1
-135	2.35	0.76	4.80	1	1	-134	2.35	0.50	4.80	1	1	-131	0.25	0.50	4.80	1	1
-132	1.30	0.50	4.80	1	1	-128	1.30	0.76	0.00	0	2	-125	1.30	1.91	0.00	0	2
-129	0.65	0.76	0.00	0	2	-122	1.30	3.60	0.75	0	1	-121	1.95	3.60	0.75	0	1
-126	1.95	1.91	0.00	0	2	-119	2.35	1.91	0.75	0	1	-118	2.35	2.55	0.75	0	1

Relazione di calcolo

-117	2.35	1.91	0.00	0	2	-116	2.35	0.76	0.75	0	1	-115	2.35	1.27	0.75	0	1
-114	2.35	0.76	0.00	0	2	-113	2.35	0.50	0.75	0	1	-112	1.95	0.50	0.75	0	1
-111	1.30	0.50	0.75	0	1	-110	0.65	0.50	0.75	0	1	-109	0.25	0.76	0.75	0	1
-108	0.25	0.50	0.75	0	1	-107	0.25	0.76	0.00	0	2	-106	0.25	1.91	0.75	0	1
-105	0.25	1.27	0.75	0	1	-104	0.25	1.91	0.00	0	2	-103	0.25	3.60	0.75	0	1
-102	0.25	2.55	0.75	0	1	-101	1.95	0.50	2.97	0	1	-100	1.95	0.50	2.23	0	1
-99	1.30	0.50	2.97	0	1	-98	1.30	0.50	2.23	0	1	-97	0.65	0.50	2.97	0	1
-96	0.65	0.50	2.23	0	1	-95	0.25	0.76	2.97	0	1	-94	0.25	0.76	2.23	0	1
-93	0.25	0.50	2.97	0	1	-92	0.25	0.50	2.23	0	1	-90	0.25	0.76	1.50	0	1
-89	0.25	1.91	2.97	0	1	-88	0.25	1.91	2.23	0	1	-87	0.25	1.27	2.97	0	1
-86	0.25	1.27	2.23	0	1	-84	0.25	1.91	1.50	0	1	-83	0.25	2.55	2.97	0	1
-82	0.25	2.55	2.23	0	1	-81	2.35	0.76	2.97	0	1	-80	2.35	0.76	2.23	0	1
-79	2.35	0.50	2.97	0	1	-78	2.35	0.50	2.23	0	1	-76	2.35	0.76	1.50	0	1
-75	2.35	1.91	2.97	0	1	-74	2.35	1.91	2.23	0	1	-73	2.35	1.27	2.97	0	1
-72	2.35	1.27	2.23	0	1	-70	2.35	1.91	1.50	0	1	-69	2.35	2.55	2.97	0	1
-68	2.35	2.55	2.23	0	1	-67	0.25	3.60	2.97	0	1	-66	0.25	3.60	2.23	0	1
-65	0.65	3.60	2.97	0	1	-64	0.65	3.60	2.23	0	1	-63	1.30	3.60	2.97	0	1
-62	1.30	3.60	2.23	0	1	-61	2.35	3.60	2.97	0	1	-60	1.95	3.60	2.97	0	1
-59	2.35	3.60	2.23	0	1	-58	1.95	3.60	2.23	0	1	-41	2.35	3.60	1.50	0	1
-40	1.95	3.60	1.50	0	1	-39	1.30	3.60	1.50	0	1	-38	0.65	3.60	1.50	0	1
-37	0.25	3.60	1.50	0	1	-34	2.35	2.55	1.50	0	1	-33	0.25	2.55	1.50	0	1
-32	2.35	1.27	1.50	0	1	-31	0.25	1.27	1.50	0	1	-30	2.35	0.50	1.50	0	1
-29	1.95	0.50	1.50	0	1	-28	1.30	0.50	1.50	0	1	-27	0.65	0.50	1.50	0	1
-26	0.25	0.50	1.50	0	1	-25	2.35	3.60	0.00	0	2	-24	1.95	3.60	0.00	0	2
-23	1.30	3.60	0.00	0	2	-22	0.65	3.60	0.00	0	2	-21	0.25	3.60	0.00	0	2
-15	2.35	2.55	0.00	0	2	-14	1.95	2.55	0.00	0	2	-13	1.30	2.55	0.00	0	2
-12	0.65	2.55	0.00	0	2	-11	0.25	2.55	0.00	0	2	-10	2.35	1.27	0.00	0	2
-9	1.95	1.27	0.00	0	2	-8	1.30	1.27	0.00	0	2	-7	0.65	1.27	0.00	0	2
-6	0.25	1.27	0.00	0	2	-5	2.35	0.50	0.00	0	2	-4	1.95	0.50	0.00	0	2
-3	1.30	0.50	0.00	0	2	-2	0.65	0.50	0.00	0	2	-1	0.25	0.50	0.00	0	2

Elenco materiali

Simbologia

Mat. = Numero del materiale
 Comm. = Commento
 P = Peso specifico
 E = Modulo elastico
 G = Modulo elastico tangenziale
 v = Coeff. di Poisson
 α = Coeff. di dilatazione termica

Mat.	Comm.	P <daN/mc>	E <daN/cmq>	G <daN/cmq>	v	α
1	Calcestruzzo	2500	300000.00	130000.00	0.1	1.000000E-05

Elenco tipi elementi bidimensionali

Simbologia

Tb = Numero del tipo muro/elemento bidimensionale
 Comm. = Commento
 Tipo = Tipologia
 F = Membranale e Flessionale
 M = Membranale
 W-RC = Winkler resistente solo a compressione
 W-RTC = Winkler resistente a trazione e a compressione
 Uso = Utilizzo
 G = Generico
 P = Parete
 S = Soletta/Platea
 N = Nucleo
 M = Muratura ordinaria
 L = Pilastro
 MA = Muratura armata
 X = Pannello X-LAM
 Mat. = Numero del materiale
 Crit. = Numero del criterio di progetto
 Spess. = Spessore
 Kt = Coeff. di sotterraneo su suolo elastico alla Winkler

Tb	Comm.	Tipo	Uso	Mat.	Crit.	Spess. <cm>	Kt <daN/cmc>	Tb	Comm.	Tipo	Uso	Mat.	Crit.	Spess. <cm>	Kt <daN/cmc>	
1	PARETI	F	P		1	30.00		2	FONDAZIONE	W-RTC	S			2	30.00	3.00

Carichi

Condizioni di carico elementari

Simbologia

Relazione di calcolo

CCE	= Numero della condizione di carico elementare
Comm.	= Commento
Mx	= Moltiplicatore della massa in dir. X
My	= Moltiplicatore della massa in dir. Y
Mz	= Moltiplicatore della massa in dir. Z
Jpx	= Moltiplicatore del momento d'inerzia intorno all'asse X
Jpy	= Moltiplicatore del momento d'inerzia intorno all'asse Y
Jpz	= Moltiplicatore del momento d'inerzia intorno all'asse Z
Tipo CCE	= Tipo di CCE per calcolo agli stati limite
Sicurezza	= Contributo alla sicurezza
	F = a favore
	S = a sfavore
	A = ambigua
Variabilità	= Tipo di variabilità
	B = di base
	I = indipendente
	A = ambigua

CCE	Comm.	Mx	My	Mz	Jpx	Jpy	Jpz	Tipo CCE	Sicurezza	Variabilità
1	g1	1.00	1.00	0.00	0.00	0.00	1.00	1 D.M. 08 Permanenti strutturali	S	--
2	g3_spinta a riposo	0.00	0.00	0.00	0.00	0.00	0.00	3 D.M. 08 Spinta a riposo del terreno	S	--
3	g3_sovraspinta_x	0.00	0.00	0.00	0.00	0.00	0.005	5 D.M. 08 Traffico	S	B
4	g3_sovraspinta_y	0.00	0.00	0.00	0.00	0.00	0.005	5 D.M. 08 Traffico	S	B
5	q6_g3_slv_x	0.00	0.00	0.00	0.00	0.00	0.004	4 D.M. 08 Spinta sismica del terreno	S	--
6	q6_g3_slv_y	0.00	0.00	0.00	0.00	0.00	0.004	4 D.M. 08 Spinta sismica del terreno	S	--

Elenco peso proprio elementi bidimensionali

Simbologia

Tb	= Numero del tipo muro/elemento bidimensionale
Comm.	= Commento
Spess.	= Spessore
Mat.	= Materiale
P	= Peso specifico
PQ	= Peso specifico per unità di superficie

Tb	Comm.	Spess. <cm>	Mat.	P <daN/mc>	PQ <daN/mq>	Tb	Comm.	Spess. <cm>	Mat.	P <daN/mc>	PQ <daN/mq>
1	PARETI	30.00	Calcestruzzo	2500.00	750.00	2	FONDAZIONE	30.00	Calcestruzzo	2500.00	750.00

Elenco carichi elementi bidimensionali

Condizione di carico n. 2: g3_spinta a riposo
Carichi idrostatici

Simbologia

Bid.	N1	N2	N3	N4	Zi <m>	QYi <daN/m>	MY <m>	QYf <daN/m>
106	-95	-93	-148	-149	4.80	0.00	0.00	-4368.00
106	-104	-6	-105	-106	4.80	0.00	0.00	-4368.00
106	-103	-102	-33	-37	4.80	0.00	0.00	-4368.00
106	-94	-92	-93	-95	4.80	0.00	0.00	-4368.00
106	-88	-86	-87	-89	4.80	0.00	0.00	-4368.00
106	-6	-107	-109	-105	4.80	0.00	0.00	-4368.00
106	-90	-26	-92	-94	4.80	0.00	0.00	-4368.00
106	-109	-108	-26	-90	4.80	0.00	0.00	-4368.00
106	-84	-31	-86	-88	4.80	0.00	0.00	-4368.00
106	-83	-89	-164	-163	4.80	0.00	0.00	-4368.00
106	-87	-95	-149	-165	4.80	0.00	0.00	-4368.00
106	-163	-164	-145	-144	4.80	0.00	0.00	-4368.00
106	-105	-109	-90	-31	4.80	0.00	0.00	-4368.00
106	-67	-83	-163	-162	4.80	0.00	0.00	-4368.00
106	-164	-165	-146	-145	4.80	0.00	0.00	-4368.00
107	-121	-122	-39	-40	4.80	0.00	0.00	-4368.00
107	-39	-38	-64	-62	4.80	0.00	0.00	-4368.00
107	-159	-160	-141	-140	4.80	0.00	0.00	-4368.00
107	-38	-37	-66	-64	4.80	0.00	0.00	-4368.00
107	-64	-66	-67	-65	4.80	0.00	0.00	-4368.00
107	-23	-22	-123	-122	4.80	0.00	0.00	-4368.00
107	-120	-121	-40	-41	4.80	0.00	0.00	-4368.00

Bid.	N1	N2	N3	N4	Zi <m>	QYi <daN/m>	MY <m>	QYf <daN/m>
106	-106	-105	-31	-84	4.80	0.00	0.00	-4368.00
106	-102	-106	-84	-33	4.80	0.00	0.00	-4368.00
106	-149	-148	-131	-147	4.80	0.00	0.00	-4368.00
106	-162	-163	-144	-143	4.80	0.00	0.00	-4368.00
106	-11	-104	-106	-102	4.80	0.00	0.00	-4368.00
106	-33	-84	-88	-82	4.80	0.00	0.00	-4368.00
106	-89	-87	-165	-164	4.80	0.00	0.00	-4368.00
106	-37	-33	-82	-66	4.80	0.00	0.00	-4368.00
106	-31	-90	-94	-86	4.80	0.00	0.00	-4368.00
106	-82	-88	-89	-83	4.80	0.00	0.00	-4368.00
106	-165	-149	-147	-146	4.80	0.00	0.00	-4368.00
106	-21	-11	-102	-103	4.80	0.00	0.00	-4368.00
106	-107	-1	-108	-109	4.80	0.00	0.00	-4368.00
106	-66	-82	-83	-67	4.80	0.00	0.00	-4368.00
106	-86	-94	-95	-87	4.80	0.00	0.00	-4368.00
107	-24	-23	-122	-121	4.80	0.00	0.00	-4368.00
107	-65	-67	-162	-161	4.80	0.00	0.00	-4368.00
107	-61	-60	-159	-158	4.80	0.00	0.00	-4368.00
107	-63	-65	-161	-160	4.80	0.00	0.00	-4368.00
107	-59	-58	-60	-61	4.80	0.00	0.00	-4368.00
107	-25	-24	-121	-120	4.80	0.00	0.00	-4368.00
107	-158	-159	-140	-139	4.80	0.00	0.00	-4368.00

Relazione di calcolo

107	-40	-39	-62	-58	4.80	0.00	0.00	-4368.00
107	-22	-21	-103	-123	4.80	0.00	0.00	-4368.00
107	-62	-64	-65	-63	4.80	0.00	0.00	-4368.00
107	-41	-40	-58	-59	4.80	0.00	0.00	-4368.00
107	-58	-62	-63	-60	4.80	0.00	0.00	-4368.00
108	-34	-41	-59	-68	4.80	0.00	0.00	-4368.00
108	-116	-115	-32	-76	4.80	0.00	0.00	-4368.00
108	-76	-32	-72	-80	4.80	0.00	0.00	-4368.00
108	-74	-68	-69	-75	4.80	0.00	0.00	-4368.00
108	-115	-119	-70	-32	4.80	0.00	0.00	-4368.00
108	-15	-25	-120	-118	4.80	0.00	0.00	-4368.00
108	-10	-117	-119	-115	4.80	0.00	0.00	-4368.00
108	-73	-75	-156	-155	4.80	0.00	0.00	-4368.00
108	-155	-156	-137	-136	4.80	0.00	0.00	-4368.00
108	-119	-118	-34	-70	4.80	0.00	0.00	-4368.00
108	-157	-158	-139	-138	4.80	0.00	0.00	-4368.00
108	-114	-10	-115	-116	4.80	0.00	0.00	-4368.00
108	-153	-154	-135	-134	4.80	0.00	0.00	-4368.00
108	-113	-116	-76	-30	4.80	0.00	0.00	-4368.00
108	-156	-157	-138	-137	4.80	0.00	0.00	-4368.00
109	-112	-113	-30	-29	4.80	0.00	0.00	-4368.00
109	-28	-29	-100	-98	4.80	0.00	0.00	-4368.00
109	-93	-97	-150	-148	4.80	0.00	0.00	-4368.00
109	-92	-96	-97	-93	4.80	0.00	0.00	-4368.00
109	-110	-111	-28	-27	4.80	0.00	0.00	-4368.00
109	-100	-78	-79	-101	4.80	0.00	0.00	-4368.00
109	-27	-28	-98	-96	4.80	0.00	0.00	-4368.00
109	-151	-152	-133	-132	4.80	0.00	0.00	-4368.00
109	-148	-150	-130	-131	4.80	0.00	0.00	-4368.00
109	-3	-4	-112	-111	4.80	0.00	0.00	-4368.00
109	-101	-79	-153	-152	4.80	0.00	0.00	-4368.00
109	-1	-2	-110	-108	4.80	0.00	0.00	-4368.00

Elenco carichi elementi bidimensionali Condizione di carico n. 3: g3_sovraspinta_x

Carichi idrostatici

Bid.	N1	N2	N3	N4	Zi <m>	QYi <daN/m>	MY <m>	QYf <daN/m>
106	-95	-93	-148	-149	4.80	-295.00	0.00	-295.00
106	-104	-6	-105	-106	4.80	-295.00	0.00	-295.00
106	-103	-102	-33	-37	4.80	-295.00	0.00	-295.00
106	-94	-92	-93	-95	4.80	-295.00	0.00	-295.00
106	-88	-86	-87	-89	4.80	-295.00	0.00	-295.00
106	-6	-107	-109	-105	4.80	-295.00	0.00	-295.00
106	-90	-26	-92	-94	4.80	-295.00	0.00	-295.00
106	-109	-108	-26	-90	4.80	-295.00	0.00	-295.00
106	-84	-31	-86	-88	4.80	-295.00	0.00	-295.00
106	-83	-89	-164	-163	4.80	-295.00	0.00	-295.00
106	-87	-95	-149	-165	4.80	-295.00	0.00	-295.00
106	-163	-164	-145	-144	4.80	-295.00	0.00	-295.00
106	-105	-109	-90	-31	4.80	-295.00	0.00	-295.00
106	-67	-83	-163	-162	4.80	-295.00	0.00	-295.00
106	-164	-165	-146	-145	4.80	-295.00	0.00	-295.00
108	-34	-41	-59	-68	4.80	-295.00	0.00	-295.00
108	-116	-115	-32	-76	4.80	-295.00	0.00	-295.00
108	-76	-32	-72	-80	4.80	-295.00	0.00	-295.00
108	-74	-68	-69	-75	4.80	-295.00	0.00	-295.00
108	-115	-119	-70	-32	4.80	-295.00	0.00	-295.00
108	-15	-25	-120	-118	4.80	-295.00	0.00	-295.00
108	-10	-117	-119	-115	4.80	-295.00	0.00	-295.00
108	-73	-75	-156	-155	4.80	-295.00	0.00	-295.00
108	-155	-156	-137	-136	4.80	-295.00	0.00	-295.00
108	-119	-118	-34	-70	4.80	-295.00	0.00	-295.00
108	-157	-158	-139	-138	4.80	-295.00	0.00	-295.00
108	-114	-10	-115	-116	4.80	-295.00	0.00	-295.00
108	-153	-154	-135	-134	4.80	-295.00	0.00	-295.00
108	-113	-116	-76	-30	4.80	-295.00	0.00	-295.00
108	-156	-157	-138	-137	4.80	-295.00	0.00	-295.00

107	-60	-63	-160	-159	4.80	0.00	0.00	-4368.00
107	-123	-103	-37	-38	4.80	0.00	0.00	-4368.00
107	-160	-161	-142	-141	4.80	0.00	0.00	-4368.00
107	-161	-162	-143	-142	4.80	0.00	0.00	-4368.00
107	-122	-123	-38	-39	4.80	0.00	0.00	-4368.00
108	-117	-15	-118	-119	4.80	0.00	0.00	-4368.00
108	-79	-81	-154	-153	4.80	0.00	0.00	-4368.00
108	-72	-74	-75	-73	4.80	0.00	0.00	-4368.00
108	-80	-72	-73	-81	4.80	0.00	0.00	-4368.00
108	-68	-59	-61	-69	4.80	0.00	0.00	-4368.00
108	-78	-80	-81	-79	4.80	0.00	0.00	-4368.00
108	-118	-120	-41	-34	4.80	0.00	0.00	-4368.00
108	-32	-70	-74	-72	4.80	0.00	0.00	-4368.00
108	-75	-69	-157	-156	4.80	0.00	0.00	-4368.00
108	-70	-34	-68	-74	4.80	0.00	0.00	-4368.00
108	-154	-155	-136	-135	4.80	0.00	0.00	-4368.00
108	-81	-73	-155	-154	4.80	0.00	0.00	-4368.00
108	-30	-76	-80	-78	4.80	0.00	0.00	-4368.00
108	-5	-114	-116	-113	4.80	0.00	0.00	-4368.00
108	-150	-151	-132	-130	4.80	0.00	0.00	-4368.00
109	-108	-110	-27	-26	4.80	0.00	0.00	-4368.00
109	-98	-100	-101	-99	4.80	0.00	0.00	-4368.00
109	-152	-153	-134	-133	4.80	0.00	0.00	-4368.00
109	-97	-99	-151	-150	4.80	0.00	0.00	-4368.00

Elenco carichi elementi bidimensionali Condizione di carico n. 4: g3_sovraspinta_y

Carichi idrostatici

Bid.	N1	N2	N3	N4	Zi <m>	QYi <daN/m>	MY <m>	QYf <daN/m>
107	-121	-122	-39	-40	4.80	-295.00	0.00	-295.00
107	-39	-38	-64	-62	4.80	-295.00	0.00	-295.00
107	-159	-160	-141	-140	4.80	-295.00	0.00	-295.00

Bid.	N1	N2	N3	N4	Zi <m>	QYi <daN/m>	MY <m>	QYf <daN/m>
107	-24	-23	-122	-121	4.80	-295.00	0.00	-295.00
107	-65	-67	-162	-161	4.80	-295.00	0.00	-295.00
107	-61	-60	-159	-158	4.80	-295.00	0.00	-295.00

Relazione di calcolo

107	-38	-37	-66	-64	4.80	-295.00	0.00	-295.00
107	-64	-66	-67	-65	4.80	-295.00	0.00	-295.00
107	-23	-22	-123	-122	4.80	-295.00	0.00	-295.00
107	-120	-121	-40	-41	4.80	-295.00	0.00	-295.00
107	-40	-39	-62	-58	4.80	-295.00	0.00	-295.00
107	-22	-21	-103	-123	4.80	-295.00	0.00	-295.00
107	-62	-64	-65	-63	4.80	-295.00	0.00	-295.00
107	-41	-40	-58	-59	4.80	-295.00	0.00	-295.00
107	-58	-62	-63	-60	4.80	-295.00	0.00	-295.00
109	-112	-113	-30	-29	4.80	-295.00	0.00	-295.00
109	-28	-29	-100	-98	4.80	-295.00	0.00	-295.00
109	-93	-97	-150	-148	4.80	-295.00	0.00	-295.00
109	-92	-96	-97	-93	4.80	-295.00	0.00	-295.00
109	-110	-111	-28	-27	4.80	-295.00	0.00	-295.00
109	-100	-78	-79	-101	4.80	-295.00	0.00	-295.00
109	-27	-28	-98	-96	4.80	-295.00	0.00	-295.00
109	-151	-152	-133	-132	4.80	-295.00	0.00	-295.00
109	-148	-150	-130	-131	4.80	-295.00	0.00	-295.00
109	-3	-4	-112	-111	4.80	-295.00	0.00	-295.00
109	-101	-79	-153	-152	4.80	-295.00	0.00	-295.00
109	-1	-2	-110	-108	4.80	-295.00	0.00	-295.00

107	-63	-65	-161	-160	4.80	-295.00	0.00	-295.00
107	-59	-58	-60	-61	4.80	-295.00	0.00	-295.00
107	-25	-24	-121	-120	4.80	-295.00	0.00	-295.00
107	-158	-159	-140	-139	4.80	-295.00	0.00	-295.00
107	-60	-63	-160	-159	4.80	-295.00	0.00	-295.00
107	-123	-103	-37	-38	4.80	-295.00	0.00	-295.00
107	-160	-161	-142	-141	4.80	-295.00	0.00	-295.00
107	-161	-162	-143	-142	4.80	-295.00	0.00	-295.00
107	-122	-123	-38	-39	4.80	-295.00	0.00	-295.00
109	-2	-3	-111	-110	4.80	-295.00	0.00	-295.00
109	-29	-30	-78	-100	4.80	-295.00	0.00	-295.00
109	-111	-112	-29	-28	4.80	-295.00	0.00	-295.00
109	-96	-98	-99	-97	4.80	-295.00	0.00	-295.00
109	-4	-5	-113	-112	4.80	-295.00	0.00	-295.00
109	-26	-27	-96	-92	4.80	-295.00	0.00	-295.00
109	-99	-101	-152	-151	4.80	-295.00	0.00	-295.00
109	-150	-151	-132	-130	4.80	-295.00	0.00	-295.00
109	-108	-110	-27	-26	4.80	-295.00	0.00	-295.00
109	-98	-100	-101	-99	4.80	-295.00	0.00	-295.00
109	-152	-153	-134	-133	4.80	-295.00	0.00	-295.00
109	-97	-99	-151	-150	4.80	-295.00	0.00	-295.00

Elenco carichi elementi bidimensionali

Condizione di carico n. 5: q6_g3_slv_x

Carichi idrostatici

Bid.	N1	N2	N3	N4	Zi <m>	QYi <daN/m>	MY <m>	QYf <daN/m>
106	-95	-93	-148	-149	4.80	-2400.00	0.00	-2400.00
106	-104	-6	-105	-106	4.80	-2400.00	0.00	-2400.00
106	-103	-102	-33	-37	4.80	-2400.00	0.00	-2400.00
106	-94	-92	-93	-95	4.80	-2400.00	0.00	-2400.00
106	-88	-86	-87	-89	4.80	-2400.00	0.00	-2400.00
106	-6	-107	-109	-105	4.80	-2400.00	0.00	-2400.00
106	-90	-26	-92	-94	4.80	-2400.00	0.00	-2400.00
106	-109	-108	-26	-90	4.80	-2400.00	0.00	-2400.00
106	-84	-31	-86	-88	4.80	-2400.00	0.00	-2400.00
106	-83	-89	-164	-163	4.80	-2400.00	0.00	-2400.00
106	-87	-95	-149	-165	4.80	-2400.00	0.00	-2400.00
106	-163	-164	-145	-144	4.80	-2400.00	0.00	-2400.00
106	-105	-109	-90	-31	4.80	-2400.00	0.00	-2400.00
106	-67	-83	-163	-162	4.80	-2400.00	0.00	-2400.00
106	-164	-165	-146	-145	4.80	-2400.00	0.00	-2400.00

Bid.	N1	N2	N3	N4	Zi <m>	QYi <daN/m>	MY <m>	QYf <daN/m>
106	-106	-105	-31	-84	4.80	-2400.00	0.00	-2400.00
106	-102	-106	-84	-33	4.80	-2400.00	0.00	-2400.00
106	-149	-148	-131	-147	4.80	-2400.00	0.00	-2400.00
106	-162	-163	-144	-143	4.80	-2400.00	0.00	-2400.00
106	-11	-104	-106	-102	4.80	-2400.00	0.00	-2400.00
106	-33	-84	-88	-82	4.80	-2400.00	0.00	-2400.00
106	-89	-87	-165	-164	4.80	-2400.00	0.00	-2400.00
106	-37	-33	-82	-66	4.80	-2400.00	0.00	-2400.00
106	-31	-90	-94	-86	4.80	-2400.00	0.00	-2400.00
106	-82	-88	-89	-83	4.80	-2400.00	0.00	-2400.00
106	-165	-149	-147	-146	4.80	-2400.00	0.00	-2400.00
106	-21	-11	-102	-103	4.80	-2400.00	0.00	-2400.00
106	-107	-1	-108	-109	4.80	-2400.00	0.00	-2400.00
106	-66	-82	-83	-67	4.80	-2400.00	0.00	-2400.00
106	-86	-94	-95	-87	4.80	-2400.00	0.00	-2400.00

Elenco carichi elementi bidimensionali

Condizione di carico n. 6: q6_g3_slv_y

Carichi idrostatici

Bid.	N1	N2	N3	N4	Zi <m>	QYi <daN/m>	MY <m>	QYf <daN/m>
109	-112	-113	-30	-29	4.80	-2400.00	0.00	-2400.00
109	-28	-29	-100	-98	4.80	-2400.00	0.00	-2400.00
109	-93	-97	-150	-148	4.80	-2400.00	0.00	-2400.00
109	-92	-96	-97	-93	4.80	-2400.00	0.00	-2400.00
109	-110	-111	-28	-27	4.80	-2400.00	0.00	-2400.00
109	-100	-78	-79	-101	4.80	-2400.00	0.00	-2400.00
109	-27	-28	-98	-96	4.80	-2400.00	0.00	-2400.00
109	-151	-152	-133	-132	4.80	-2400.00	0.00	-2400.00
109	-148	-150	-130	-131	4.80	-2400.00	0.00	-2400.00
109	-3	-4	-112	-111	4.80	-2400.00	0.00	-2400.00
109	-101	-79	-153	-152	4.80	-2400.00	0.00	-2400.00
109	-1	-2	-110	-108	4.80	-2400.00	0.00	-2400.00

Bid.	N1	N2	N3	N4	Zi <m>	QYi <daN/m>	MY <m>	QYf <daN/m>
109	-2	-3	-111	-110	4.80	-2400.00	0.00	-2400.00
109	-29	-30	-78	-100	4.80	-2400.00	0.00	-2400.00
109	-111	-112	-29	-28	4.80	-2400.00	0.00	-2400.00
109	-96	-98	-99	-97	4.80	-2400.00	0.00	-2400.00
109	-4	-5	-113	-112	4.80	-2400.00	0.00	-2400.00
109	-26	-27	-96	-92	4.80	-2400.00	0.00	-2400.00
109	-99	-101	-152	-151	4.80	-2400.00	0.00	-2400.00
109	-150	-151	-132	-130	4.80	-2400.00	0.00	-2400.00
109	-108	-110	-27	-26	4.80	-2400.00	0.00	-2400.00
109	-98	-100	-101	-99	4.80	-2400.00	0.00	-2400.00
109	-152	-153	-134	-133	4.80	-2400.00	0.00	-2400.00
109	-97	-99	-151	-150	4.80	-2400.00	0.00	-2400.00

Risultati del calcolo

Parametri di calcolo

La modellazione della struttura e la rielaborazione dei risultati del calcolo sono stati effettuati con: ModeSt ver. 8.12, prodotto da Tecnisoft s.a.s. - Prato

La struttura è stata calcolata utilizzando come solutore agli elementi finiti: Xfinest ver. 2012, prodotto da Ce.A.S. S.r.l. - Milano

Tipo di normativa: stati limite D.M. 08

Tipo di calcolo: analisi sismica statica

Vincoli esterni: Considera sempre vincoli assegnati in modellazione

Schematizzazione piani rigidi: nessun impalcato rigido

Modalità di recupero masse secondarie: trasferire all'impalcato più vicino con modifica XY baricentro

Generazione combinazioni

Relazione di calcolo

- Linear: si
- Valuta spostamenti e non sollecitazioni: no
- Buckling: no

Opzioni di calcolo

- Sono state considerate infinitamente rigide le zone di connessione fra travi, pilastri ed elementi bidimensionali con una riduzione del 20%
- Calcolo con offset rigidi dai nodi: no
- Uniformare i carichi variabili: no
- Massimizzare i carichi variabili: no
- Minimo carico da considerare: 0.00 <daN/m>
- Recupero carichi zone rigide: taglio e momento flettente
- Modalità di combinazione momento torcente: disaccoppiare le azioni

Opzioni del solutore

- Tipo di elemento bidimensionale: ISOSHELL
- Trascura deformabilità a taglio delle aste: No
- Analisi dinamica con metodo di Lanczos: Si
- Check sequenza di Sturm: Si
- Soluzione matrice con metodo ver. 5.1: No
- Analisi non lineare con Newton modificato: No
- Usa formulazione secante per buckling: No
- Trascura buckling torsionale: No

Dati struttura

- Zona sismica: zona 2
- Sito di costruzione: BOLOGNETTA LON. 13.45770 LAT. 37.96670
Contenuto tra ID reticolato: 45842 45843 46064 46065

Simbologia

TCC	= Tipo di combinazione di carico
SLU	= Stato limite ultimo
SLU S	= Stato limite ultimo (azione sismica)
SLE R	= Stato limite d'esercizio, combinazione rara
SLE F	= Stato limite d'esercizio, combinazione frequente
SLE Q	= Stato limite d'esercizio, combinazione quasi permanente
SLD	= Stato limite di danno
SLV	= Stato limite di salvaguardia della vita
SLC	= Stato limite di prevenzione del collasso
SLO	= Stato limite di operatività
SLU I	= Stato limite di resistenza al fuoco
T _R	= Periodo di ritorno <anni>
Ag	= Accelerazione orizzontale massima al sito
FO	= Valore massimo del fattore di amplificazione dello spettro in accelerazione orizzontale
TC*	= Periodo di inizio del tratto a velocità costante dello spettro in accelerazione orizzontale <sec>
S _s	= Coefficiente di amplificazione stratigrafica
C _c	= Coefficiente funzione della categoria del suolo

TCC	T _R	Ag <g>	FO	TC*	S _s	C _c
SLV	949	0.2090	2.45	0.31	1.19	1.39

- Edificio esistente: no
- Tipo di opera: Opera ordinaria
- Vita nominale V_N: 50.00
- Classe d'uso: Classe IV
- Applica semplificazioni per zona 4: no
- SL Esercizio: SLO-Pvr no, SLD-Pvr no
- SL Ultimi: SLV-Pvr 10.00, SLC-Pvr no
- Classe di duttilità: Classe B
- Quota di riferimento: 0.00 <m>
- Altezza della struttura: 3.00 <m>
- Numero piani edificio: 1
- Coefficiente θ: 0.00
- Edificio regolare in altezza: si
- Edificio regolare in pianta: si
- Forze orizzontali convenzionali per stati limite non sismici: no
- Genera stati limite per verifiche di resistenza al fuoco: no

Dati di piano

Simbologia

Imp.	= Numero dell'impalcato
L _x	= Dimensione del piano in dir. X
L _y	= Dimensione del piano in dir. Y
E _x	= Eccentricità in dir. X
E _y	= Eccentricità in dir. Y

Relazione di calcolo

Ea = Eccentricità complessiva

Imp.	Lx <m>	Ly <m>	Ex <m>	Ey <m>	Ea <m>
1	3.20	3.60	0.16	0.18	0.24

Dati di calcolo

- Categoria del suolo di fondazione: B
- Tipologia edificio: c.a. o prefabbricato a telaio a più piani e più campate

Coeff. C₁: 0.075

Periodo T₁: 0.17096

Coeff. λ SLV: 1.00

Rapporto di sovraresistenza (α_u/α_1): 1.30

Valore di riferimento del fattore di struttura (q₀): 3.90

Fattore riduttivo (K_w): 1.00

Fattore riduttivo regolarità in altezza (KR): 1.00

Fattore di struttura (q): 1.00

- Categoria topografica: T1 - Superficie pianeggiante, pendii e rilievi isolati con inclinazione media i<=15°

- Coeff. amplificazione topografica S_T: 1.00

- Fattore di struttura per sisma verticale (qv): 1.50

- Smorzamento spettro: 5.00%

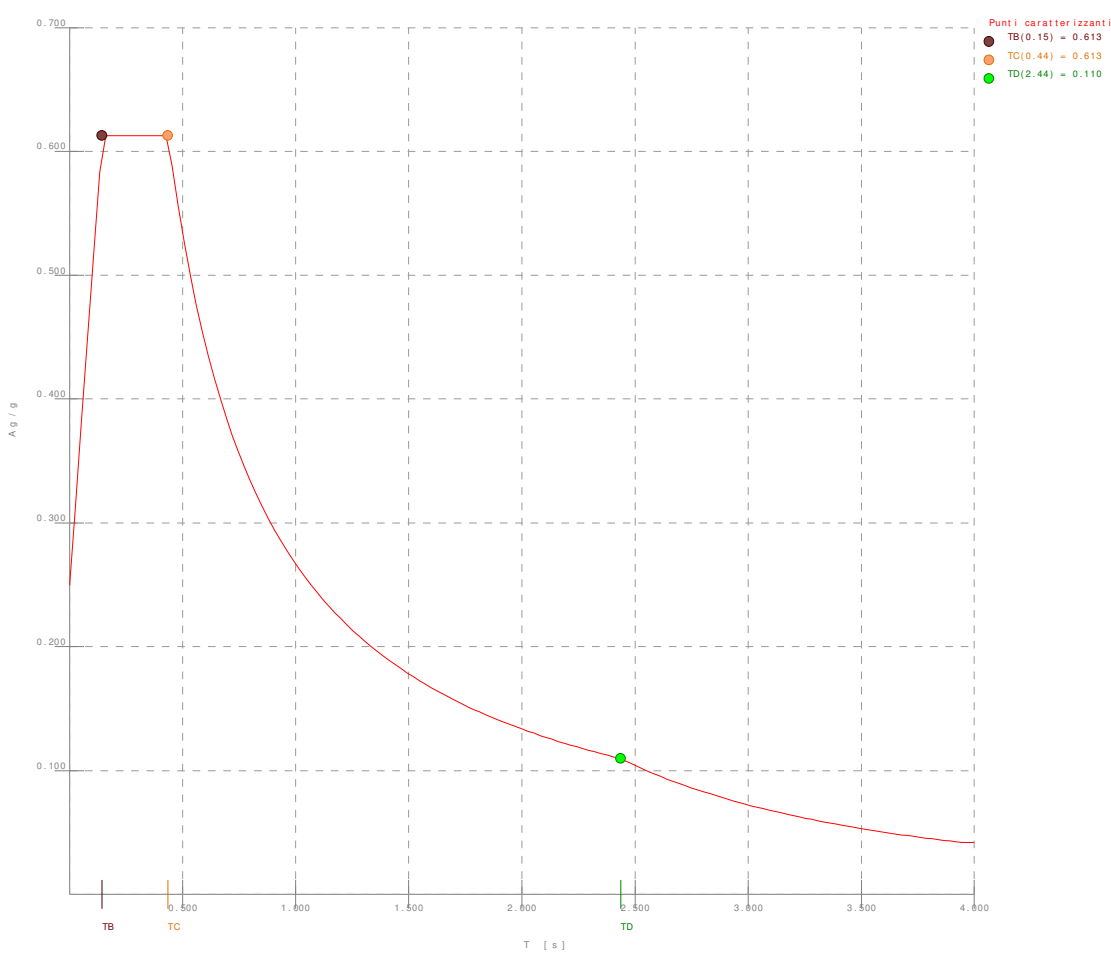


Figura numero 1: Spettro SLV

- Angolo di ingresso del sisma: 0.00 <grad>
- Tipo di combinazione sismica: 30% esteso

Condizioni di carico elementari

Simbologia

CCE	= Numero della condizione di carico elementare
Comm.	= Commento
M _x	= Moltiplicatore della massa in dir. X
M _y	= Moltiplicatore della massa in dir. Y
M _z	= Moltiplicatore della massa in dir. Z
J _{px}	= Moltiplicatore del momento d'inerzia intorno all'asse X
J _{py}	= Moltiplicatore del momento d'inerzia intorno all'asse Y

Relazione di calcolo

Jpz = Moltiplicatore del momento d'inerzia intorno all'asse Z
 Tipo CCE = Tipo di CCE per calcolo agli stati limite
 Sicurezza = Contributo alla sicurezza
 F = a favore
 S = a sfavore
 A = ambigua
 Variabilità = Tipo di variabilità
 B = di base
 I = indipendente
 A = ambigua

CCE	Comm.	Mx	My	Mz	Jpx	Jpy	Jpz	Tipo CCE	Sicurezza	Variabilità
1	g1	1.00	1.00	0.00	0.00	0.00	1.00		1 S	--
2	g3_spinta a riposo	0.00	0.00	0.00	0.00	0.00	0.00		3 S	--
3	g3_sovraspinta_x	0.00	0.00	0.00	0.00	0.00	0.00		5 S	B
4	g3_sovraspinta_y	0.00	0.00	0.00	0.00	0.00	0.00		5 S	B
5	q6_g3_slv_x	0.00	0.00	0.00	0.00	0.00	0.00		4 S	--
6	q6_g3_slv_y	0.00	0.00	0.00	0.00	0.00	0.00		4 S	--

Elenco tipi cce definiti

Simbologia

Tipo CCE = Tipo condizione di carico elementare
 Comm. = Commento
 Tipo = Tipologia
 G = Permanente
 Q = Variabile
 I = Da ignorare
 A = Azione eccezionale
 P = Precompressione
 Durata = Durata del carico
 N = Non definita
 P = Permanente
 L = Lunga
 M = Media
 B = Breve
 I = Istantanea
 γ_{\min} = Coeff. γ_{\min} .
 γ_{\max} = Coeff. γ_{\max} .
 ψ_0 = Coeff. ψ_0 .
 ψ_1 = Coeff. ψ_1 .
 ψ_2 = Coeff. ψ_2 .
 $\psi_{0,s}$ = Coeff. ψ_0 sismico (D.M. 96)

Tipo CCE	Comm.	Tipo	Durata	γ_{\min}	γ_{\max}	ψ_0	ψ_1	ψ_2	$\psi_{0,s}$
1	D.M. 08 Permanenti strutturali	G	N	1.00	1.35				
3	D.M. 08 Spinta a riposo del terreno	G	N	0.00	1.50				
5	D.M. 08 Traffico	Q	N	1.00	1.50	0.40	0.40	0.00	0.00
4	D.M. 08 Spinta sismica del terreno	G	N	1.00	1.00				

Ambienti di carico

Simbologia

N = Numero
 Comm. = Commento
 1 g1
 2 g3_spinta a riposo
 3 g3_sovraspinta_x
 4 g3_sovraspinta_y
 5 q6_g3_slv_x
 6 q6_g3_slv_y
 F = azioni orizzontali convenzionali
 SLU = Stato limite ultimo
 SLR = Stato limite per combinazioni rare
 SLF = Stato limite per combinazioni frequenti
 SLQ\DI = Stato limite per combinazioni quasi permanenti o di danno

N	Comm.	1	2	3	4	5	6	S	SLU	SLR	SLF	SLQ
1	Calcolo sismico	si	no	no	no							
2	Calcolo statico	si	si	si	si	si	si	no	si	si	si	

Elenco combinazioni di carico simboliche

Simbologia

CC = Numero della combinazione delle condizioni di carico elementari
 Comm. = Commento
 TCC = Tipo di combinazione di carico
 SLU = Stato limite ultimo

Relazione di calcolo

SLU S = Stato limite ultimo (azione sismica)
 SLE R = Stato limite d'esercizio, combinazione rara
 SLE F = Stato limite d'esercizio, combinazione frequente
 SLE Q = Stato limite d'esercizio, combinazione quasi permanente
 SLD = Stato limite di danno
 SLV = Stato limite di salvaguardia della vita
 SLC = Stato limite di prevenzione del collasso
 SLO = Stato limite di operatività
 SLU I = Stato limite di resistenza al fuoco

CC	Comm.	TCC	1	2	3	4	5	6	S
1	Amb. 1 (Sisma)	SLU S	1	1	ψ_2	ψ_2	1	1	1
2	Amb. 2 (SLU)	SLU	γ_{\max}	γ_{\max}	γ_{\max}	γ_{\max}	γ_{\max}	γ_{\max}	-----
3	Amb. 2 (SLE R)	SLE R	1	1	1	1	1	1	-----
4	Amb. 2 (SLE F)	SLE F	1	1	ψ_1	ψ_1	1	1	-----
5	Amb. 2 (SLE Q)	SLE Q	1	1	ψ_2	ψ_2	1	1	-----

Genera le combinazioni con un solo carico di tipo variabile come di base: no

Considera sollecitazioni dinamiche con segno dei modi principali: no

Combinazioni delle cce

Simbologia

CC = Numero della combinazione delle condizioni di carico elementari
 Comm. = Commento

TCC = Tipo di combinazione di carico
 SLU = Stato limite ultimo

SLU S = Stato limite ultimo (azione sismica)

SLE R = Stato limite d'esercizio, combinazione rara

SLE F = Stato limite d'esercizio, combinazione frequente

SLE Q = Stato limite d'esercizio, combinazione quasi permanente

SLD = Stato limite di danno

SLV = Stato limite di salvaguardia della vita

SLC = Stato limite di prevenzione del collasso

SLO = Stato limite di operatività

SLU I = Stato limite di resistenza al fuoco

An. = Tipo di analisi

L = Lineare

NL = Non lineare

Bk = Buckling

S = Si

N = No

CC	Comm.	TCC	An.	Bk	1	2	3	4	5	6	S X	S Y
1	CC 1 - Amb. 1 (SLU S) S +X+0.3Y	SLV	L	N	1.00	1.00	0.00	0.00	1.00	0.30	1.00	0.30
2	CC 2 - Amb. 1 (SLU S) S +X-0.3Y	SLV	L	N	1.00	1.00	0.00	0.00	1.00	-0.30	1.00	-0.30
3	CC 3 - Amb. 1 (SLU S) S -X+0.3Y	SLV	L	N	1.00	1.00	0.00	0.00	-1.00	0.30	-1.00	0.30
4	CC 4 - Amb. 1 (SLU S) S -X-0.3Y	SLV	L	N	1.00	1.00	0.00	0.00	-1.00	-0.30	-1.00	-0.30
5	CC 5 - Amb. 1 (SLU S) S +0.3X+Y	SLV	L	N	1.00	1.00	0.00	0.00	0.30	1.00	0.30	1.00
6	CC 6 - Amb. 1 (SLU S) S -0.3X+Y	SLV	L	N	1.00	1.00	0.00	0.00	-0.30	1.00	-0.30	1.00
7	CC 7 - Amb. 1 (SLU S) S +0.3X-Y	SLV	L	N	1.00	1.00	0.00	0.00	0.30	-1.00	0.30	-1.00
8	CC 8 - Amb. 1 (SLU S) S -0.3X-Y	SLV	L	N	1.00	1.00	0.00	0.00	-0.30	-1.00	-0.30	-1.00
9	CC 9 - Amb. 2 (SLU)	SLU	L	N	1.35	1.50	1.50	1.50	0.00	0.00	0.00	0.00
10	CC 10 - Amb. 2 (SLE R)	SLE R	L	N	1.00	1.00	1.00	1.00	0.00	0.00	0.00	0.00
11	CC 11 - Amb. 2 (SLE F)	SLE F	L	N	1.00	1.00	0.40	0.40	0.00	0.00	0.00	0.00
12	CC 12 - Amb. 2 (SLE Q)	SLE Q	L	N	1.00	1.00	0.00	0.00	0.00	0.00	0.00	0.00

Elenco masse nodi

Simbologia

Nodo = Numero del nodo

Mo = Massa orizzontale

Nodo	Mo <kg>												
-165	403.70	-164	447.58	-163	592.39	-162	509.01	-161	368.60	-160	456.36	-159	368.60
-157	592.39	-156	447.58	-155	403.70	-154	272.06	-153	232.57	-152	368.60	-151	456.36
-149	272.06	-148	232.57	-147	136.03	-146	201.85	-145	223.79	-144	296.19	-143	254.51
-141	228.18	-140	184.30	-139	254.51	-138	296.19	-137	223.79	-136	201.85	-135	136.03
-133	184.30	-132	228.18	-131	116.28	-130	184.30	-123	301.03	-122	372.71	-121	301.03
-119	365.54	-118	483.80	-116	222.19	-115	329.70	-113	189.94	-112	301.03	-111	372.71
-109	222.19	-108	189.94	-106	365.54	-105	329.70	-103	415.71	-102	483.80	-101	331.47
-99	410.39	-98	364.42	-97	331.47	-96	294.34	-95	244.66	-94	217.25	-93	209.14
-90	219.72	-89	402.50	-88	357.42	-87	363.04	-86	322.38	-84	361.48	-83	532.72
-81	244.66	-80	217.25	-79	209.14	-78	185.72	-76	219.72	-75	402.50	-74	357.42
-72	322.38	-70	361.48	-69	532.72	-68	473.05	-67	457.74	-66	406.47	-65	331.47
-63	410.39	-62	364.42	-61	457.74	-60	331.47	-59	406.47	-58	294.34	-41	411.09
-39	368.56	-38	297.69	-37	411.09	-34	478.43	-33	478.43	-32	326.04	-31	326.04

Relazione di calcolo

-29	297.69	-28	368.56	-27	297.69	-26	187.83
-----	--------	-----	--------	-----	--------	-----	--------

Totali masse nodi

Mo <kg>
35210.00

Elenco forze sismiche nodali allo SLV

Simbologia

Nodo = Numero del nodo
 cx = Coeff. c in dir. X
 cy = Coeff. c in dir. Y
 Fx = Forza in dir. X
 Fy = Forza in dir. Y

Nodo	cx	cy	Fx <daN>	Fy <daN>
-165	0.02	0.02	362.02	362.02
-164	0.02	0.02	401.37	401.37
-163	0.03	0.03	531.23	531.23
-162	0.02	0.02	456.46	456.46
-161	0.02	0.02	330.54	330.54
-160	0.02	0.02	409.24	409.24
-159	0.02	0.02	330.54	330.54
-158	0.02	0.02	456.46	456.46
-157	0.03	0.03	531.23	531.23
-156	0.02	0.02	401.37	401.37
-155	0.02	0.02	362.02	362.02
-154	0.01	0.01	243.97	243.97
-153	0.01	0.01	208.56	208.56
-152	0.02	0.02	330.54	330.54
-151	0.02	0.02	409.24	409.24
-150	0.02	0.02	330.54	330.54
-149	0.01	0.01	243.97	243.97
-148	0.01	0.01	208.56	208.56
-147	0.01	0.01	150.82	150.82
-146	0.01	0.01	223.80	223.80
-145	0.01	0.01	248.12	248.12
-144	0.02	0.02	328.40	328.40
-143	0.01	0.01	282.18	282.18
-142	0.01	0.01	204.34	204.34
-141	0.01	0.01	252.99	252.99
-140	0.01	0.01	204.34	204.34
-139	0.01	0.01	282.18	282.18
-138	0.02	0.02	328.40	328.40
-137	0.01	0.01	248.12	248.12
-136	0.01	0.01	223.80	223.80
-135	0.01	0.01	150.82	150.82
-134	0.01	0.01	128.93	128.93
-133	0.01	0.01	204.34	204.34
-132	0.01	0.01	252.99	252.99
-131	0.01	0.01	128.93	128.93
-130	0.01	0.01	204.34	204.34
-123	0.00	0.00	52.11	52.11
-122	0.00	0.00	64.52	64.52
-121	0.00	0.00	52.11	52.11
-120	0.00	0.00	71.97	71.97
-119	0.00	0.00	63.28	63.28
-118	0.00	0.00	83.75	83.75
-116	0.00	0.00	38.47	38.47
-115	0.00	0.00	57.08	57.08
-113	0.00	0.00	32.88	32.88
-112	0.00	0.00	52.11	52.11
-111	0.00	0.00	64.52	64.52
-110	0.00	0.00	52.11	52.11
-109	0.00	0.00	38.47	38.47
-108	0.00	0.00	32.88	32.88
-106	0.00	0.00	63.28	63.28
-105	0.00	0.00	57.08	57.08
-103	0.00	0.00	71.97	71.97
-102	0.00	0.00	83.75	83.75
-101	0.01	0.01	226.98	226.98
-100	0.01	0.01	151.74	151.74
-99	0.01	0.01	281.03	281.03
-98	0.01	0.01	187.86	187.86
-97	0.01	0.01	226.98	226.98
-96	0.01	0.01	151.74	151.74
-95	0.01	0.01	167.54	167.54

Relazione di calcolo

-94	0.01	0.01	112.00	112.00
-93	0.01	0.01	143.22	143.22
-92	0.00	0.00	95.74	95.74
-90	0.00	0.00	76.08	76.08
-89	0.01	0.01	275.62	275.62
-88	0.01	0.01	184.25	184.25
-87	0.01	0.01	248.60	248.60
-86	0.01	0.01	166.19	166.19
-84	0.01	0.01	125.16	125.16
-83	0.02	0.02	364.80	364.80
-82	0.01	0.01	243.86	243.86
-81	0.01	0.01	167.54	167.54
-80	0.01	0.01	112.00	112.00
-79	0.01	0.01	143.22	143.22
-78	0.00	0.00	95.74	95.74
-76	0.00	0.00	76.08	76.08
-75	0.01	0.01	275.62	275.62
-74	0.01	0.01	184.25	184.25
-73	0.01	0.01	248.60	248.60
-72	0.01	0.01	166.19	166.19
-70	0.01	0.01	125.16	125.16
-69	0.02	0.02	364.80	364.80
-68	0.01	0.01	243.86	243.86
-67	0.01	0.01	313.45	313.45
-66	0.01	0.01	209.54	209.54
-65	0.01	0.01	226.98	226.98
-64	0.01	0.01	151.74	151.74
-63	0.01	0.01	281.03	281.03
-62	0.01	0.01	187.86	187.86
-61	0.01	0.01	313.45	313.45
-60	0.01	0.01	226.98	226.98
-59	0.01	0.01	209.54	209.54
-58	0.01	0.01	151.74	151.74
-41	0.01	0.01	142.34	142.34
-40	0.00	0.00	103.07	103.07
-39	0.01	0.01	127.61	127.61
-38	0.00	0.00	103.07	103.07
-37	0.01	0.01	142.34	142.34
-34	0.01	0.01	165.65	165.65
-33	0.01	0.01	165.65	165.65
-32	0.01	0.01	112.89	112.89
-31	0.01	0.01	112.89	112.89
-30	0.00	0.00	65.03	65.03
-29	0.00	0.00	103.07	103.07
-28	0.01	0.01	127.61	127.61
-27	0.00	0.00	103.07	103.07
-26	0.00	0.00	65.03	65.03

Totali forze sismiche

Fx <daN>	Fy <daN>
21172.10	21172.10

Reazioni vincolari

Simbologia

Nodo = Numero del nodo
 Rx = Reazione vincolare (forza) in dir. X
 CC = Numero della combinazione delle condizioni di carico elementari
 Ry = Reazione vincolare (forza) in dir. Y
 Rz = Reazione vincolare (forza) in dir. Z
 Mx = Reazione vincolare (momento) intorno all'asse X
 My = Reazione vincolare (momento) intorno all'asse Y
 Mz = Reazione vincolare (momento) intorno all'asse Z

Nodo	Rx <daN>	CC	Ry <daN>	CC	Rz <daN>	CC	Mx <daNm>	CC	My <daNm>	CC	Mz <daNm>	CC	
-129	Max	0.00	1	0.00	1	0.00	2	0.00	8	0.00	5	0.00	1
-129	Min.	0.00	1	0.00	1	0.00	3	0.00	5	0.00	8	0.00	1
-128	Max	0.00	1	0.00	1	0.00	3	0.00	3	0.00	7	0.00	1
-128	Min.	0.00	1	0.00	1	0.00	2	0.00	2	0.00	6	0.00	1
-127	Max	0.00	1	0.00	1	0.00	1	0.00	3	0.00	2	0.00	1
-127	Min.	0.00	1	0.00	1	0.00	4	0.00	2	0.00	3	0.00	1
-126	Max	0.00	1	0.00	1	0.00	1	0.00	7	0.00	3	0.00	1
-126	Min.	0.00	1	0.00	1	0.00	4	0.00	6	0.00	2	0.00	1
-125	Max	0.00	1	0.00	1	0.00	2	0.00	7	0.00	3	0.00	1
-125	Min.	0.00	1	0.00	1	0.00	3	0.00	6	0.00	2	0.00	1
-124	Max	0.00	1	0.00	1	0.00	2	0.00	1	0.00	3	0.00	1
-124	Min.	0.00	1	0.00	1	0.00	3	0.00	4	0.00	2	0.00	1

Relazione di calcolo

-117	Max	4877.97	9	6809.40	8	0.00	3	0.00	2	0.00	2	89.51	5
-117	Min.	2480.65	3	-6981.10	5	0.00	2	0.00	3	0.00	3	-112.04	8
-114	Max	1984.77	7	3433.47	4	0.00	2	0.00	3	0.00	3	-19.00	2
-114	Min.	-448.61	6	-4594.17	1	0.00	3	0.00	2	0.00	2	-162.79	9
-107	Max	370.84	6	3172.72	2	0.00	4	0.00	5	0.00	4	317.40	1
-107	Min.	-1907.00	7	-4333.41	3	0.00	1	0.00	8	0.00	1	-143.70	4
-104	Max	-1620.84	3	6790.97	7	0.00	4	0.00	4	0.00	4	119.77	7
-104	Min.	-4877.97	9	-6962.68	6	0.00	1	0.00	1	0.00	1	-97.24	6
-25	Max	3338.03	3	6119.94	2	0.00	1	0.00	4	0.00	4	185.56	9
-25	Min.	-1494.99	2	-3993.20	3	0.00	4	0.00	1	0.00	1	17.93	2
-24	Max	7761.45	3	2367.50	1	0.00	3	0.00	8	0.00	6	71.38	6
-24	Min.	-7375.99	2	-118.49	4	0.00	2	0.00	5	0.00	7	-77.81	7
-23	Max	10187.80	3	3194.89	6	0.00	3	0.00	8	0.00	6	55.87	3
-23	Min.	-10187.80	1	524.73	7	0.00	2	0.00	5	0.00	7	-55.87	1
-22	Max	7221.72	4	2888.55	3	0.00	2	0.00	1	0.00	1	98.33	8
-22	Min.	-7607.17	1	-639.54	2	0.00	3	0.00	4	0.00	4	-91.90	5
-21	Max	1589.96	4	5631.14	4	0.00	6	0.00	7	0.00	3	220.94	4
-21	Min.	-3433.00	1	-3504.41	1	0.00	7	0.00	6	0.00	2	-420.38	1
-15	Max	4725.50	5	8939.29	7	0.00	2	0.00	4	0.00	4	279.08	9
-15	Min.	1270.59	8	-7299.52	6	0.00	3	0.00	1	0.00	1	29.23	2
-14	Max	0.00	1	0.00	1	0.00	3	0.00	8	0.00	1	0.00	1
-14	Min.	0.00	1	0.00	1	0.00	2	0.00	5	0.00	4	0.00	1
-13	Max	0.00	1	0.00	1	0.00	2	0.00	2	0.00	3	0.00	1
-13	Min.	0.00	1	0.00	1	0.00	3	0.00	3	0.00	2	0.00	1
-12	Max	0.00	1	0.00	1	0.00	4	0.00	2	0.00	6	0.00	1
-12	Min.	0.00	1	0.00	1	0.00	1	0.00	3	0.00	7	0.00	1
-11	Max	-1190.11	8	8856.50	8	0.00	5	0.00	3	0.00	3	227.17	4
-11	Min.	-4805.99	5	-7216.73	5	0.00	8	0.00	2	0.00	2	-524.37	1
-10	Max	4011.05	7	5247.77	8	0.00	1	0.00	4	0.00	3	-17.76	1
-10	Min.	441.54	6	-6676.74	5	0.00	4	0.00	1	0.00	2	-217.21	9
-9	Max	0.00	1	0.00	1	0.00	3	0.00	6	0.00	4	0.00	1
-9	Min.	0.00	1	0.00	1	0.00	2	0.00	7	0.00	1	0.00	1
-8	Max	0.00	1	0.00	1	0.00	6	0.00	3	0.00	7	0.00	1
-8	Min.	0.00	1	0.00	1	0.00	7	0.00	2	0.00	6	0.00	1
-7	Max	0.00	1	0.00	1	0.00	4	0.00	4	0.00	1	0.00	1
-7	Min.	0.00	1	0.00	1	0.00	1	0.00	1	0.00	4	0.00	1
-6	Max	-372.71	6	5192.56	7	0.00	3	0.00	3	0.00	6	413.02	2
-6	Min.	-4079.87	7	-6621.53	6	0.00	2	0.00	2	0.00	7	-181.73	3
-5	Max	2451.49	4	1224.65	4	0.00	3	0.00	3	0.00	2	58.62	5
-5	Min.	-2436.19	1	-2169.45	1	0.00	2	0.00	2	0.00	3	-119.00	8
-4	Max	7677.63	4	127.03	3	0.00	3	0.00	7	0.00	5	180.34	5
-4	Min.	-7468.97	1	-2417.03	2	0.00	2	0.00	6	0.00	8	-181.11	8
-3	Max	9942.06	3	-1372.40	1	0.00	2	0.00	6	0.00	1	71.37	1
-3	Min.	-9942.06	1	-2776.99	9	0.00	3	0.00	7	0.00	4	-71.37	3
-2	Max	7279.67	3	645.56	1	0.00	8	0.00	2	0.00	4	202.48	7
-2	Min.	-7488.32	2	-2935.56	4	0.00	5	0.00	3	0.00	1	-201.71	6
-1	Max	2076.89	3	975.92	2	0.00	2	0.00	2	0.00	1	164.07	2
-1	Min.	-2092.19	2	-1920.72	3	0.00	3	0.00	3	0.00	4	-103.69	3

Tensioni sul terreno

Simbologia

Nodo = Numero del nodo

σ_t = Tensione sul terreno

CC = Numero della combinazione delle condizioni di carico elementari

Nodo		σ_t <dAN/cmq>	CC	Nodo		σ_t <dAN/cmq>	CC	Nodo		σ_t <dAN/cmq>	CC	Nodo		σ_t <dAN/cmq>	CC
-129	Max	5.80	4	-129	Min.	-4.49	1	-128	Max	3.78	8	-128	Min.	-2.48	5
-127	Max	5.79	2	-127	Min.	-4.49	3	-126	Max	4.94	2	-126	Min.	-3.64	3
-125	Max	0.98	7	-125	Min.	0.31	6	-124	Max	4.93	4	-124	Min.	-3.64	1
-117	Max	7.54	2	-117	Min.	-6.24	3	-114	Max	8.40	2	-114	Min.	-7.09	3
-107	Max	8.40	4	-107	Min.	-7.09	1	-104	Max	7.55	4	-104	Min.	-6.24	1
-25	Max	8.59	1	-25	Min.	-7.28	4	-24	Max	6.00	1	-24	Min.	-4.69	4
-23	Max	4.43	6	-23	Min.	-3.13	7	-22	Max	6.00	3	-22	Min.	-4.69	2
-21	Max	8.59	3	-21	Min.	-7.28	2	-15	Max	7.81	1	-15	Min.	-6.50	4
-14	Max	5.20	1	-14	Min.	-3.90	4	-13	Max	1.85	5	-13	Min.	-0.56	8
-12	Max	5.20	3	-12	Min.	-3.90	2	-11	Max	7.81	3	-11	Min.	-6.51	2
-10	Max	8.01	2	-10	Min.	-6.71	3	-9	Max	5.41	2	-9	Min.	-4.10	3
-8	Max	2.51	7	-8	Min.	-1.22	6	-7	Max	5.40	4	-7	Min.	-4.10	1
-6	Max	8.02	4	-6	Min.	-6.71	1	-5	Max	8.59	2	-5	Min.	-7.28	3
-4	Max	6.00	2	-4	Min.	-4.69	3	-3	Max	4.44	8	-3	Min.	-3.13	5
-2	Max	6.00	4	-2	Min.	-4.69	1	-1	Max	8.60	4	-1	Min.	-7.28	1

Verifiche e armature solette/platee

Simbologia

Nodo = Numero del nodo

X = Coordinata X del nodo

Relazione di calcolo

Y	= Coordinata Y del nodo
DV	= Direzione di verifica
	XX = Verifica per momento Mxx
	YY = Verifica per momento Myy
CC	= Numero della combinazione delle condizioni di carico elementari
TCC	= Tipo di combinazione di carico
	SLU = Stato limite ultimo
	SLU S = Stato limite ultimo (azione sismica)
	SLE R = Stato limite d'esercizio, combinazione rara
	SLE F = Stato limite d'esercizio, combinazione frequente
	SLE Q = Stato limite d'esercizio, combinazione quasi permanente
	SLD = Stato limite di danno
	SLV = Stato limite di salvaguardia della vita
	SLC = Stato limite di prevenzione del collasso
	SLO = Stato limite di operatività
	SLU I = Stato limite di resistenza al fuoco
C	= Ricopriamento dell'armatura
s	= Distanza minima tra le barre
K3	= Coefficiente di forma del diagramma delle tensioni prima della fessurazione
s _{rm}	= Distanza media tra le fessure
Φ	= Diametro della barra
A _s	= Area complessiva dei ferri nell'area di calcestruzzo efficace
A _{c eff}	= Area di calcestruzzo efficace
σ _s	= Tensione nell'acciaio nella sezione fessurata
σ _{sr}	= Tensione nell'acciaio corrispondente al raggiungimento della resistenza a trazione nel calcestruzzo
ε _{sm}	= Deformazione unitaria media dell'armatura (*1000)
Wk	= Apertura delle fessure
AfE S	= Area di ferro effettiva totale presente nel punto di verifica, superiore
AfE I	= Area di ferro effettiva totale presente nel punto di verifica, inferiore
Mom	= Momento flettente
Mu	= Momento ultimo
Sic.	= Sicurezza a rottura
Vsdu	= Taglio agente nella direzione del momento ultimo
Vrdū	= Taglio ultimo assorbibile dal solo calcestruzzo
σ _c	= Tensione nel calcestruzzo
σ _f	= Tensione nel ferro
Spess.	= Spessore
Cf sup	= Copriferro superiore
Cf inf	= Copriferro inferiore
Cl _s	= Tipo di calcestruzzo
Fck	= Resistenza caratteristica cilindrica a compressione del calcestruzzo
Fctk	= Resistenza caratteristica a trazione del calcestruzzo
Fcd	= Resistenza di calcolo a compressione del calcestruzzo
Fctd	= Resistenza di calcolo a trazione del calcestruzzo
Acc.	= Tipo di acciaio
Fyk	= Tensione caratteristica di snervamento dell'acciaio
Fyd	= Resistenza di calcolo dell'acciaio

Armatura platea a quota 0.00

Caratteristiche delle sezioni e dei materiali utilizzati

Spess. <cm>	Cf sup <cm>	Cf inf <cm>	Cl _s	Fck <daN/cm ² >	Fctk <daN/cm ² >	Fcd <daN/cm ² >	Fctd <daN/cm ² >	Acc.	Fyk <daN/cm ² >	Fyd <daN/cm ² >
30.00	4.00	4.00	C28/35	290.50	19.84	164.62	13.23	B450C	4500.00	3913.04

Stato limite ultimo - Ferri longitudinali - Verifiche armatura

Nodo	X <m>	Y <m>	DV	CC	TCC	AfE S <cm ² >	AfE I <cm ² >	Mom <daNm>	Mu <daNm>	Sic.
-124	0.65	1.91	XX	1	SLV	5.65	5.65	2433.93	5939.08	2.440
-104	0.25	1.91	XX	2	SLV	5.65	5.65	3128.81	5939.08	1.898
-8	1.30	1.27	YY	8	SLV	5.65	5.65	-1729.31	-5939.08	3.434

Stato limite ultimo - Verifica a taglio del calcestruzzo

Nodo	X <m>	Y <m>	DV	CC	TCC	AfE S <cm ² >	AfE I <cm ² >	Vsdu <daN>	Vrdū <daN>
-117	2.35	1.91	XX	2	SLV	5.65	5.65	11241.10	12613.40
-3	1.30	0.50	YY	8	SLV	5.65	5.65	11610.40	12613.40

Stato limite d'esercizio - Ferri longitudinali - Verifiche armatura

Nodo	X <m>	Y <m>	DV	CC	TCC	AfE S <cm ² >	AfE I <cm ² >	Mom <daNm>	σ _c <daN/cm ² >	σ _f <daN/cm ² >
-104	0.25	1.91	XX	10	SLE R	5.65	5.65	894.76	12.19	660.64
-104	0.25	1.91	XX	12	SLE Q	5.65	5.65	838.54	11.42	619.13
-125	1.30	1.91	XX	10	SLE R	5.65	5.65	-515.49	7.02	380.61
-125	1.30	1.91	XX	12	SLE Q	5.65	5.65	-546.28	7.44	403.35
-125	1.30	1.91	YY	10	SLE R	5.65	5.65	-315.11	4.29	232.66
-125	1.30	1.91	YY	12	SLE Q	5.65	5.65	-335.99	4.58	248.07
-3	1.30	0.50	YY	10	SLE R	5.65	5.65	403.32	5.50	297.79
-3	1.30	0.50	YY	12	SLE Q	5.65	5.65	414.46	5.65	306.01

Verifiche stato limite di formazione delle fessure

Nodo	X <m>	Y <m>	DV	CC	TCC	c <mm>	s <mm>	K3	s _{rm} <mm>	Φ	A _s <cmq>	A _{c eff} <cmq>	σ _s <daN/cmq>	σ _{sr} <daN/cmq>	ε _{sm}	Wk <mm>
-104	0.25	1.91	XX	12	SLE Q	34.00	168.00	0.15	209.30	12.00	1.13	172.74	619.13	4060.58	0.12	0.04
-104	0.25	1.91	XX	11	SLE F	34.00	168.00	0.15	209.30	12.00	1.13	172.74	635.73	4060.58	0.12	0.04
-125	1.30	1.91	XX	12	SLE Q	34.00	168.00	0.15	209.31	12.00	1.13	172.75	403.35	4060.58	0.08	0.03
-125	1.30	1.91	XX	11	SLE F	34.00	168.00	0.15	209.31	12.00	1.13	172.75	394.25	4060.58	0.08	0.03
-125	1.30	1.91	YY	12	SLE Q	34.00	168.00	0.15	209.31	12.00	1.13	172.75	248.07	4060.58	0.05	0.02
-125	1.30	1.91	YY	11	SLE F	34.00	168.00	0.15	209.31	12.00	1.13	172.75	241.91	4060.58	0.05	0.02
-3	1.30	0.50	YY	12	SLE Q	34.00	168.00	0.15	209.30	12.00	1.13	172.74	306.01	4060.58	0.06	0.02
-3	1.30	0.50	YY	11	SLE F	34.00	168.00	0.15	209.30	12.00	1.13	172.74	302.72	4219.76	0.06	0.02

Verifiche e armature pareti**Simbologia**

CC	= Numero della combinazione delle condizioni di carico elementari
Zona	= Zona di verifica
Zv	= Coordinata Z di verifica
Xi	= Coordinata X iniziale
Xf	= Coordinata X finale
Xv	= Coordinata X di verifica
TCC	= Tipo di combinazione di carico
	SLU = Stato limite ultimo
	SLU S = Stato limite ultimo (azione sismica)
	SLE R = Stato limite d'esercizio, combinazione rara
	SLE F = Stato limite d'esercizio, combinazione frequente
	SLE Q = Stato limite d'esercizio, combinazione quasi permanente
	SLD = Stato limite di danno
	SLV = Stato limite di salvaguardia della vita
	SLC = Stato limite di prevenzione del collasso
	SLO = Stato limite di operatività
	SLU I = Stato limite di resistenza al fuoco
N	= Sforzo normale
Mz	= Momento flettente intorno all'asse Z
My	= Momento flettente intorno all'asse Y
Nu	= Sforzo normale ultimo
Mzu	= Momento ultimo intorno all'asse Z
Myu	= Momento ultimo intorno all'asse Y
Sic.	= Sicurezza a rottura
σ _c	= Tensione nel calcestruzzo
σ _f	= Tensione nel ferro
c	= Ricoprimento dell'armatura
s	= Distanza minima tra le barre
K3	= Coefficiente di forma del diagramma delle tensioni prima della fessurazione
s _{rm}	= Distanza media tra le fessure
Φ	= Diametro della barra
A _s	= Area complessiva dei ferri nell'area di calcestruzzo efficace
A _{c eff}	= Area di calcestruzzo efficace
σ _s	= Tensione nell'acciaio nella sezione fessurata
σ _{sr}	= Tensione nell'acciaio corrispondente al raggiungimento della resistenza a trazione nel calcestruzzo
ε _{sm}	= Deformazione unitaria media dell'armatura (*1000)
Wk	= Apertura delle fessure
Ty	= Taglio in dir. Y
Vsdu	= Taglio agente nella direzione del momento ultimo
ctgθ	= Cotangente dell'angolo di inclinazione dei puntoni di calcestruzzo
VRsd	= Taglio ultimo lato armatura
VRcd	= Taglio ultimo lato calcestruzzo
Vrdū	= Taglio ultimo assorbibile dal solo calcestruzzo
Sic.T	= Sicurezza a rottura per taglio
Sez.	= Sezione di verifica
Spess.	= Spessore
Cf	= Copriferro
Cl _s	= Tipo di calcestruzzo
Fck	= Resistenza caratteristica cilindrica a compressione del calcestruzzo
Fctk	= Resistenza caratteristica a trazione del calcestruzzo
Fcd	= Resistenza di calcolo a compressione del calcestruzzo
Fctd	= Resistenza di calcolo a trazione del calcestruzzo
Acc.	= Tipo di acciaio
Fyk	= Tensione caratteristica di snervamento dell'acciaio
Fyd	= Resistenza di calcolo dell'acciaio

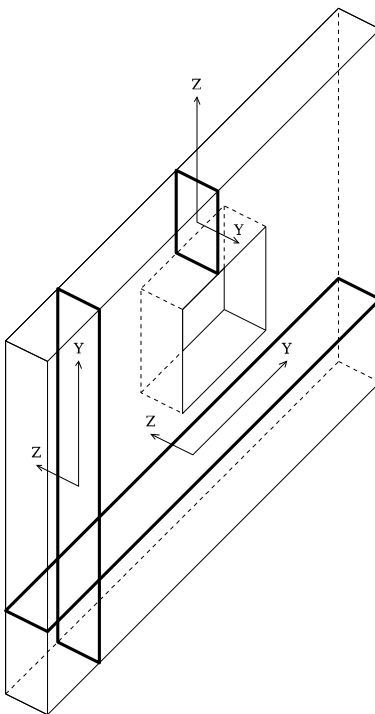


Figura numero 2: Riferimenti sezione

Parete n. 106

Caratteristiche delle sezioni e dei materiali utilizzati

Sez.	Spess.	Cf	Cls	Fck <daN/cmq>	Fctk <daN/cmq>	Fcd <daN/cmq>	Fctd <daN/cmq>	Acc.	Fyk <daN/cmq>	Fyd <daN/cmq>
Oriz.	30.00	5.80	C28/35	290.50	19.84	164.62	13.23	B450C	4500.00	3913.04

Verifiche su sezioni orizzontali

Stato limite ultimo - Armatura a flessione

CC	TCC	Zona	Zv <m>	Xi <m>	Xf <m>	N <daN>	Mz <daNm>	My <daNm>	Nu <daN>	Mzu <daNm>	Myu <daNm>	Sic.
5	SLV	Diff. long.	0.00	0.00	3.10	6226.95	16606.30	0.00	6225.55	192409.00	0.00	11.587
9	SLU	Diff. tras.	0.00	0.00	3.10	-15923.30	0.00	2116.27	-15925.10	0.00	21088.50	9.965
5	SLV	Diff. long.	1.20	0.00	3.10	3469.68	11141.10	0.00	3471.27	196079.00	0.00	17.600
2	SLV	Diff. tras.	1.20	0.00	3.10	30134.90	0.00	-1739.62	30131.90	0.00	-15394.70	8.849
7	SLV	Diff. long.	2.40	0.00	3.10	-569.51	-4409.68	0.00	-571.64	-203148.00	0.00	46.069
2	SLV	Diff. tras.	2.40	0.00	3.10	10722.90	0.00	-926.76	10722.20	0.00	-17742.90	19.145
7	SLV	Diff. long.	3.60	0.00	3.10	-996.90	-1736.00	0.00	-998.70	-203708.00	0.00	>100
2	SLV	Diff. tras.	3.60	0.00	3.10	4213.89	0.00	-446.16	4213.78	0.00	-18485.30	41.432
6	SLV	Diff. long.	4.80	0.00	3.10	-1639.51	234.95	0.00	-1644.10	204554.00	0.00	>100
3	SLV	Diff. tras.	4.80	0.00	3.10	-2873.89	0.00	186.76	-2876.27	0.00	19563.10	>100

Stato limite d'esercizio - Armatura a flessione

CC	TCC	Zona	Zv <m>	Xi <m>	Xf <m>	N <daN>	Mz <daNm>	My <daNm>	σ_c <daN/cmq>	σ_f <daN/cmq>
10	SLE R	Diff. tras.	0.00	0.00	3.10	-11716.90	0.00	1544.21	6.21	83.17
12	SLE Q	Diff. tras.	0.00	0.00	3.10	-11643.20	0.00	1505.57	6.01	77.33
10	SLE R	Diff. tras.	1.20	0.00	3.10	-9292.13	0.00	-959.09	3.53	34.52
12	SLE Q	Diff. tras.	1.20	0.00	3.10	-9278.49	0.00	-888.30	3.21	32.68
10	SLE R	Diff. tras.	2.40	0.00	3.10	-5166.51	0.00	-461.45	1.65	17.33
12	SLE Q	Diff. tras.	2.40	0.00	3.10	-5182.47	0.00	-421.65	1.49	16.31
10	SLE R	Diff. tras.	3.60	0.00	3.10	-3176.58	0.00	-94.51	0.51	6.60
12	SLE Q	Diff. tras.	3.60	0.00	3.10	-3194.59	0.00	-72.99	0.47	6.22
10	SLE R	Diff. tras.	4.80	0.00	3.10	-1056.51	0.00	30.29	0.17	2.17
12	SLE Q	Diff. tras.	4.80	0.00	3.10	-1067.72	0.00	36.25	0.18	2.30

Verifiche stato limite di formazione delle fessure

CC	TCC	Zona	Zv <m>	Xi <m>	Xf <m>	N <daN>	Mz <daNm>	My <daNm>	c <mm>	s <mm>	K3	s _{re} <mm>	Φ	A _s <cmq>	A _{c eff} <cmq>	σ _s <daN/cmq>	σ _{sr} <daN/cmq>	ε _{sm}	W _k <mm>
12	SLE Q	Diff. tras.	0.00	0.00	3.10	-11643.20	0.00	1505.57	52.00	168.00	0.13	242.04	12.00	1.13	196.86	77.33	1418.38	0.02	0.01
11	SLE F	Diff. tras.	0.00	0.00	3.10	-11672.70	0.00	1521.02	52.00	168.00	0.13	242.04	12.00	1.13	196.86	79.65	1439.13	0.02	0.01
12	SLE Q	Diff. tras.	1.20	0.00	3.10	-9278.49	0.00	-888.30	52.00	168.00	0.13	242.04	12.00	1.13	196.86	16.36	655.12	0.00	0.00
11	SLE F	Diff. tras.	1.20	0.00	3.10	-9283.95	0.00	-916.62	52.00	168.00	0.13	242.04	12.00	1.13	196.86	19.32	725.15	0.00	0.00
12	SLE Q	Diff. tras.	2.40	0.00	3.10	-5182.47	0.00	-421.65	52.00	168.00	0.13	242.04	12.00	1.13	196.86	2.99	313.54	0.00	0.00
11	SLE F	Diff. tras.	2.40	0.00	3.10	-5176.08	0.00	-437.57	52.00	168.00	0.13	242.04	12.00	1.13	196.86	4.11	391.32	0.00	0.00

Relazione di calcolo

Stato limite ultimo - Armatura a taglio

CC	Zona	Zv <m>	Xi <m>	Xf <m>	TCC	Ty <daN>	Vsdu <daN>	ctgθ	VRsd <daN>	VRcd <daN>	Vrdu <daN>	Sic.T
7	Diff. long.	0.00	0.00	3.10	SLV	24045.90	24045.90	2.14	259286.00	259286.00	259286.00	10.78
7	Diff. long.	1.20	0.00	3.10	SLV	19782.20	19782.20	2.14	259286.00	259286.00	259286.00	13.11
5	Diff. long.	2.40	0.00	3.10	SLV	-13028.20	13028.20	2.14	259309.00	259309.00	259309.00	19.90
7	Diff. long.	3.60	0.00	3.10	SLV	8750.28	8750.28	2.14	259389.00	259389.00	259389.00	29.64
5	Diff. long.	4.80	0.00	3.10	SLV	-3295.08	3295.08	2.14	259344.00	259344.00	259344.00	78.71

Parete n. 107

Caratteristiche delle sezioni e dei materiali utilizzati

Sez.	Spess. <cm>	Cf <cm>	Cls	Fck <daN/cmq>	Fctk <daN/cmq>	Fcd <daN/cmq>	Fctd <daN/cmq>	Acc.	Fyk <daN/cmq>	Fyd <daN/cmq>
Ori.	30.00	5.80	C28/35	290.50	19.84	164.62	13.23	B450C	4500.00	3913.04

Verifiche su sezioni orizzontali

Stato limite ultimo - Armatura a flessione

CC	TCC	Zona	Zv <m>	Xi <m>	Xf <m>	N <daN>	Mz <daNm>	My <daNm>	Nu <daN>	Mzu <daNm>	Myu <daNm>	Sic.
2	SLV	Diff. long.	0.00	0.00	2.10	3031.24	10445.10	0.00	3032.77	90759.50	0.00	8.689
6	SLV	Diff. tras.	0.00	0.00	2.10	-33094.10	0.00	1402.61	-33096.90	0.00	16743.50	11.937
2	SLV	Diff. long.	1.20	0.00	2.10	938.50	5922.97	0.00	940.33	92649.20	0.00	15.642
9	SLU	Diff. tras.	1.20	0.00	2.10	-6799.89	0.00	-409.99	-6800.18	0.00	-14012.20	34.177
4	SLV	Diff. long.	2.40	0.00	2.10	-1205.40	-1984.57	0.00	-1205.92	-95339.20	0.00	48.040
2	SLV	Diff. tras.	2.40	0.00	2.10	-1214.43	0.00	312.88	-1217.48	0.00	13336.80	42.626
4	SLV	Diff. long.	3.60	0.00	2.10	-1064.96	-642.20	0.00	-1068.69	-95220.00	0.00	>100
1	SLV	Diff. tras.	3.60	0.00	2.10	-3295.92	0.00	266.19	-3296.02	0.00	13588.40	51.048
9	SLU	Diff. long.	4.80	0.00	2.10	-995.82	0.00	0.00	-1134450.00	0.00	0.00	>100
1	SLV	Diff. tras.	4.80	0.00	2.10	-1058.44	0.00	112.61	-1062.63	0.00	13318.00	>100

Stato limite d'esercizio - Armatura a flessione

CC	TCC	Zona	Zv <m>	Xi <m>	Xf <m>	N <daN>	Mz <daNm>	My <daNm>	σ _c <daN/cmq>	σ _f <daN/cmq>
10	SLE R	Diff. tras.	0.00	0.00	2.10	-5733.24	0.00	321.56	1.82	21.72
12	SLE Q	Diff. tras.	0.00	0.00	2.10	-5809.45	0.00	351.99	1.94	22.80
10	SLE R	Diff. tras.	1.20	0.00	2.10	-5053.46	0.00	-281.72	1.60	19.10
12	SLE Q	Diff. tras.	1.20	0.00	2.10	-5072.29	0.00	-271.37	1.57	18.84
10	SLE R	Diff. tras.	2.40	0.00	2.10	-3417.28	0.00	175.93	1.04	12.50
12	SLE Q	Diff. tras.	2.40	0.00	2.10	-3401.25	0.00	154.59	0.97	11.88
10	SLE R	Diff. tras.	3.60	0.00	2.10	-2198.65	0.00	139.19	0.75	8.82
12	SLE Q	Diff. tras.	3.60	0.00	2.10	-2180.44	0.00	119.72	0.68	8.19
10	SLE R	Diff. tras.	4.80	0.00	2.10	-735.14	0.00	51.20	0.27	3.10
12	SLE Q	Diff. tras.	4.80	0.00	2.10	-723.83	0.00	41.98	0.23	2.78

Stato limite ultimo - Armatura a taglio

CC	Zona	Zv <m>	Xi <m>	Xf <m>	TCC	Ty <daN>	Vsdu <daN>	ctgθ	VRsd <daN>	VRcd <daN>	Vrdu <daN>	Sic.T
2	Diff. long.	0.00	0.00	2.10	SLV	-27371.90	27371.90	2.14	174051.00	174051.00	174051.00	6.36
2	Diff. long.	1.20	0.00	2.10	SLV	-24373.90	24373.90	2.14	174051.00	174051.00	174051.00	7.14
4	Diff. long.	2.40	0.00	2.10	SLV	15766.00	15766.00	2.14	174174.00	174174.00	174174.00	11.05
4	Diff. long.	3.60	0.00	2.10	SLV	10429.80	10429.80	2.14	174160.00	174160.00	174160.00	16.70
4	Diff. long.	4.80	0.00	2.10	SLV	3932.64	3932.64	2.14	174091.00	174091.00	174091.00	44.27

Parete n. 108

Caratteristiche delle sezioni e dei materiali utilizzati

Sez.	Spess. <cm>	Cf <cm>	Cls	Fck <daN/cmq>	Fctk <daN/cmq>	Fcd <daN/cmq>	Fctd <daN/cmq>	Acc.	Fyk <daN/cmq>	Fyd <daN/cmq>
Ori.	30.00	5.80	C28/35	290.50	19.84	164.62	13.23	B450C	4500.00	3913.04

Verifiche su sezioni orizzontali

Stato limite ultimo - Armatura a flessione

CC	TCC	Zona	Zv <m>	Xi <m>	Xf <m>	N <daN>	Mz <daNm>	My <daNm>	Nu <daN>	Mzu <daNm>	Myu <daNm>	Sic.
6	SLV	Diff. long.	0.00	0.00	3.10	6666.57	16612.10	0.00	6664.61	191824.00	0.00	11.547
2	SLV	Diff. tras.	0.00	0.00	3.10	-67300.90	0.00	2752.88	-67301.90	0.00	26405.80	9.592
6	SLV	Diff. long.	1.20	0.00	3.10	3681.98	11139.80	0.00	3680.14	195802.00	0.00	17.577
9	SLU	Diff. tras.	1.20	0.00	3.10	-12553.40	0.00	-1465.72	-12556.30	0.00	-20733.30	14.146
8	SLV	Diff. long.	2.40	0.00	3.10	-568.51	-4409.58	0.00	-571.62	-203148.00	0.00	46.070
9	SLU	Diff. tras.	2.40	0.00	3.10	-6947.80	0.00	-681.36	-6948.91	0.00	-20056.20	29.435
8	SLV	Diff. long.	3.60	0.00	3.10	-1060.54	-1737.18	0.00	-1063.03	-203792.00	0.00	>100
8	SLV	Diff. tras.	3.60	0.00	3.10	-1060.54	0.00	-155.63	-1061.31	0.00	-19343.20	>100
5	SLV	Diff. long.	4.80	0.00	3.10	-1580.10	235.12	0.00	-1583.52	204474.00	0.00	>100
1	SLV	Diff. tras.	4.80	0.00	3.10	-2675.84	0.00	82.44	-2680.25	0.00	19539.30	>100

Stato limite d'esercizio - Armatura a flessione

CC	TCC	Zona	Zv	Xi	Xf	N	Mz	My	σ _c	σ _f
----	-----	------	----	----	----	---	----	----	----------------	----------------

Relazione di calcolo

			$\langle m \rangle$	$\langle m \rangle$	$\langle m \rangle$	$\langle daN \rangle$	$\langle daNm \rangle$	$\langle daNm \rangle$	$\langle daN/cmq \rangle$	$\langle daN/cmq \rangle$
10	SLE R	Diff. tras.	0.00	0.00	3.10	-11716.90	0.00	1544.21	6.21	83.17
12	SLE Q	Diff. tras.	0.00	0.00	3.10	-11643.20	0.00	1505.57	6.01	77.33
10	SLE R	Diff. tras.	1.20	0.00	3.10	-9292.13	0.00	-959.09	3.53	34.52
12	SLE Q	Diff. tras.	1.20	0.00	3.10	-9278.49	0.00	-888.30	3.21	32.68
10	SLE R	Diff. tras.	2.40	0.00	3.10	-5166.51	0.00	-461.45	1.65	17.33
12	SLE Q	Diff. tras.	2.40	0.00	3.10	-5182.47	0.00	-421.65	1.49	16.31
10	SLE R	Diff. tras.	3.60	0.00	3.10	-3176.58	0.00	-94.51	0.51	6.60
12	SLE Q	Diff. tras.	3.60	0.00	3.10	-3194.59	0.00	-72.99	0.47	6.22
10	SLE R	Diff. tras.	4.80	0.00	3.10	-1056.51	0.00	30.29	0.17	2.17
12	SLE Q	Diff. tras.	4.80	0.00	3.10	-1067.72	0.00	36.25	0.18	2.30

Verifiche stato limite di formazione delle fessure

CC	TCC	Zona	Zv $\langle m \rangle$	Xi $\langle m \rangle$	Xf $\langle m \rangle$	N $\langle daN \rangle$	Mz $\langle daNm \rangle$	My $\langle daNm \rangle$	c $\langle mm \rangle$	s $\langle mm \rangle$	K3	s_{rm} $\langle mm \rangle$	Φ	A_s $\langle cmq \rangle$	$A_c \text{ eff}$ $\langle cmq \rangle$	σ_s $\langle daN/cmq \rangle$	σ_{sr} $\langle daN/cmq \rangle$	σ_{sr} $\langle daN/cmq \rangle$	ϵ_{sm}	Wk $\langle mm \rangle$
12	SLE Q	Diff. tras.	0.00	0.00	3.10	-11643.20	0.00	1505.57	52.00	168.00	0.13	242.04	12.00	1.13	196.86	77.33	1418.38	0.02	0.01	
11	SLE F	Diff. tras.	0.00	0.00	3.10	-11672.70	0.00	1521.02	52.00	168.00	0.13	242.04	12.00	1.13	196.86	79.65	1439.13	0.02	0.01	
12	SLE Q	Diff. tras.	1.20	0.00	3.10	-9278.49	0.00	-888.30	52.00	168.00	0.13	242.04	12.00	1.13	196.86	16.36	655.11	0.00	0.00	
11	SLE F	Diff. tras.	1.20	0.00	3.10	-9283.95	0.00	-916.62	52.00	168.00	0.13	242.04	12.00	1.13	196.86	19.32	725.15	0.00	0.00	
12	SLE Q	Diff. tras.	2.40	0.00	3.10	-5182.47	0.00	-421.65	52.00	168.00	0.13	242.04	12.00	1.13	196.86	2.99	313.54	0.00	0.00	
11	SLE F	Diff. tras.	2.40	0.00	3.10	-5176.08	0.00	-437.57	52.00	168.00	0.13	242.04	12.00	1.13	196.86	4.11	391.32	0.00	0.00	

Stato limite ultimo - Armatura a taglio

CC	Zona	Zv $\langle m \rangle$	Xi $\langle m \rangle$	Xf $\langle m \rangle$	TCC	Ty $\langle daN \rangle$	Vsdu $\langle daN \rangle$	ctgθ	VRsd $\langle daN \rangle$	VRcd $\langle daN \rangle$	Vrdu $\langle daN \rangle$	Sic.T
8	Diff. long.	0.00	0.00	3.10	SLV	-24044.50	24044.50	2.14	259286.00	259286.00	259286.00	10.78
8	Diff. long.	1.20	0.00	3.10	SLV	-19782.30	19782.30	2.14	259286.00	259286.00	259286.00	13.11
6	Diff. long.	2.40	0.00	3.10	SLV	13028.50	13028.50	2.14	259309.00	259309.00	259309.00	19.90
8	Diff. long.	3.60	0.00	3.10	SLV	-8749.34	8749.34	2.14	259396.00	259396.00	259396.00	29.65
6	Diff. long.	4.80	0.00	3.10	SLV	3294.32	3294.32	2.14	259350.00	259350.00	259350.00	78.73

Parete n. 109

Caratteristiche delle sezioni e dei materiali utilizzati

Sez.	Spess. $\langle cm \rangle$	Cf $\langle cm \rangle$	Cls	Fck $\langle daN/cmq \rangle$	Fctk $\langle daN/cmq \rangle$	Fcd $\langle daN/cmq \rangle$	Fctd $\langle daN/cmq \rangle$	Acc.	Fyk $\langle daN/cmq \rangle$	Fyd $\langle daN/cmq \rangle$
Oriz.	30.00	5.80	C28/35	290.50	19.84	164.62	13.23	B450C	4500.00	3913.04

Verifiche su sezioni orizzontali

Stato limite ultimo - Armatura a flessione

CC	TCC	Zona	Zv $\langle m \rangle$	Xi $\langle m \rangle$	Xf $\langle m \rangle$	N $\langle daN \rangle$	Mz $\langle daNm \rangle$	My $\langle daNm \rangle$	Nu $\langle daN \rangle$	Mzu $\langle daNm \rangle$	Myu $\langle daNm \rangle$	Sic.
1	SLV	Diff. long.	0.00	0.00	2.10	2357.59	-9071.40	0.00	2362.23	-91365.30	0.00	10.072
8	SLV	Diff. tras.	0.00	0.00	2.10	-29193.50	0.00	1642.50	-29196.10	0.00	16342.30	9.950
1	SLV	Diff. long.	1.20	0.00	2.10	438.18	-5541.19	0.00	436.83	-93103.60	0.00	16.802
6	SLV	Diff. tras.	1.20	0.00	2.10	11989.60	0.00	-511.68	11990.40	0.00	-11640.70	22.750
1	SLV	Diff. long.	2.40	0.00	2.10	-1325.21	-1877.19	0.00	-1325.80	-95443.20	0.00	50.844
2	SLV	Diff. tras.	2.40	0.00	2.10	-5498.67	0.00	347.85	-5500.06	0.00	13855.00	39.830
3	SLV	Diff. long.	3.60	0.00	2.10	-1081.82	560.49	0.00	-1085.88	95235.00	0.00	>100
7	SLV	Diff. tras.	3.60	0.00	2.10	-5505.75	0.00	307.11	-5506.16	0.00	13855.80	45.117
3	SLV	Diff. long.	4.80	0.00	2.10	-374.35	-28.39	0.00	-377.75	-94619.90	0.00	>100
7	SLV	Diff. tras.	4.80	0.00	2.10	-1591.26	0.00	134.61	-1593.59	0.00	13382.30	99.418

Stato limite d'esercizio - Armatura a flessione

CC	TCC	Zona	Zv $\langle m \rangle$	Xi $\langle m \rangle$	Xf $\langle m \rangle$	N $\langle daN \rangle$	Mz $\langle daNm \rangle$	My $\langle daNm \rangle$	σ_c $\langle daN/cmq \rangle$	σ_f $\langle daN/cmq \rangle$
10	SLE R	Diff. tras.	0.00	0.00	2.10	-5373.89	0.00	362.01	1.93	22.27
12	SLE Q	Diff. tras.	0.00	0.00	2.10	-5445.14	0.00	392.75	2.07	23.45
10	SLE R	Diff. tras.	1.20	0.00	2.10	-5053.24	0.00	-279.62	1.59	19.04
12	SLE Q	Diff. tras.	1.20	0.00	2.10	-5061.71	0.00	-269.12	1.56	18.75
10	SLE R	Diff. tras.	2.40	0.00	2.10	-3435.68	0.00	176.79	1.04	12.56
12	SLE Q	Diff. tras.	2.40	0.00	2.10	-3419.78	0.00	155.21	0.97	11.94
10	SLE R	Diff. tras.	3.60	0.00	2.10	-2192.65	0.00	138.82	0.75	8.79
12	SLE Q	Diff. tras.	3.60	0.00	2.10	-2174.85	0.00	119.40	0.68	8.17
10	SLE R	Diff. tras.	4.80	0.00	2.10	-733.34	0.00	49.93	0.27	3.06
12	SLE Q	Diff. tras.	4.80	0.00	2.10	-722.22	0.00	40.86	0.23	2.75

Verifiche stato limite di formazione delle fessure

CC	TCC	Zona	Zv $\langle m \rangle$	Xi $\langle m \rangle$	Xf $\langle m \rangle$	N $\langle daN \rangle$	Mz $\langle daNm \rangle$	My $\langle daNm \rangle$	σ_c $\langle daN/cmq \rangle$	σ_{sr} $\langle daN/cmq \rangle$	σ_{sr} $\langle daN/cmq \rangle$	ϵ_{sm}	Wk $\langle mm \rangle$						
12	SLE Q	Diff. tras.	0.00	0.00	2.10	-5445.14	0.00	392.75	52.00	168.00	0.13	242.04	12.00	1.13	196.86	0.57	54.68	0.00	0.00

Stato limite ultimo - Armatura a taglio

CC	Zona	Zv $\langle m \rangle$	Xi $\langle m \rangle$	Xf $\langle m \rangle$	TCC	Ty $\langle daN \rangle$	Vsdu $\langle daN \rangle$	ctgθ	VRsd $\langle daN \rangle$	VRcd $\langle daN \rangle$	Vrdu $\langle daN \rangle$	Sic.T
1	Diff. long.	0.00	0.00	2.10	SLV	27682.90	27682.90	2.14	174051.00	174051.00	174051.00	6.29
1	Diff. long.	1.20	0.00	2.10	SLV	24261.40	24261.40	2.14	174051.00	174051.00	174051.00	7.17
1	Diff. long.	2.40	0.00	2.10	SLV	15749.00						

Relazione di calcolo

3	Diff. long.	4.80	0.00	2.10	SLV	-3924.88	3924.88	2.14	174089.00	174089.00	174089.00	44.36
---	-------------	------	------	------	-----	----------	---------	------	-----------	-----------	-----------	-------

ALLEGATO “B”

3.24 MANUFATTO DI IMBOCCO-SBOCCO 2.5x2.4x0.8

Si tratta di un manufatto di dimensioni interne 2.4x2.4x0.8 e spessore delle pareti pari a 30cm, così come rappresentato in figura 226

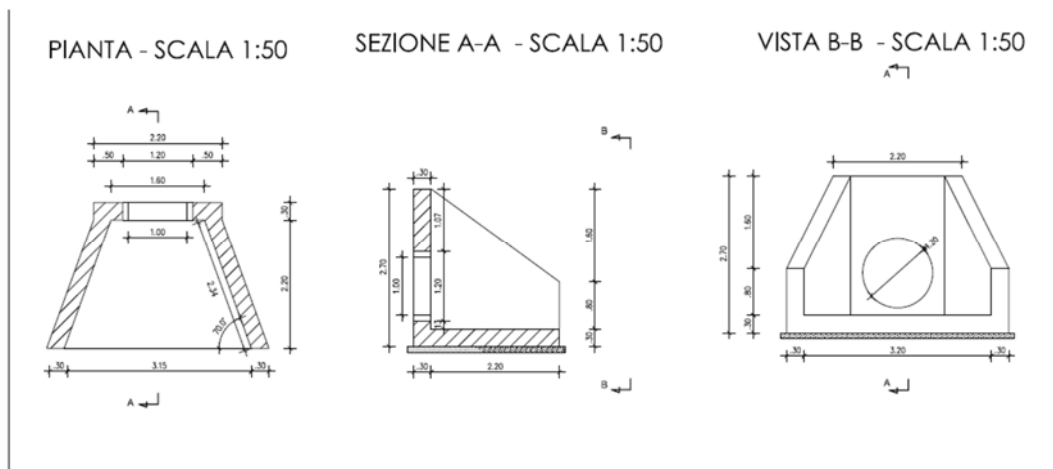


Figura 226:: manufatto di dimensioni 2.5x2.4x0.8mt

A seguire presentiamo nella figure da 227 a 230 le immagini relative alla modellazione dei carichi utilizzati per il dimensionamento della struttura

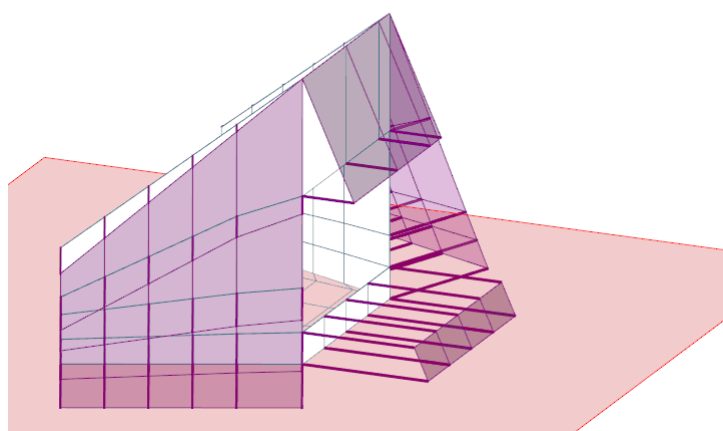


Figura 227: CCE Spinta del terreno a riposo:

$$z=0 \quad q_1=0 \text{ kN/mq};$$

$$z=2.7 \quad q_1=24.57 \text{ kN/mq}$$

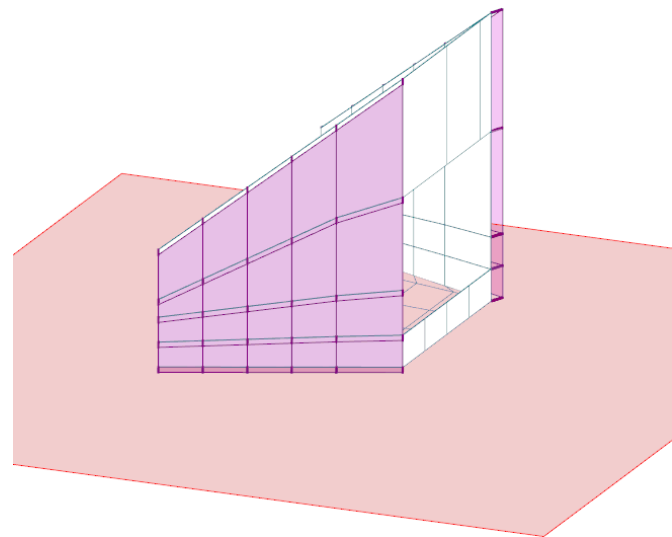


Figura 228: CCE Sovraspinta orizzontale dovuta al Carico stradale dir X:

$$q_1 = 10 \times 0.295 = 2.95 \text{ kN/m}$$

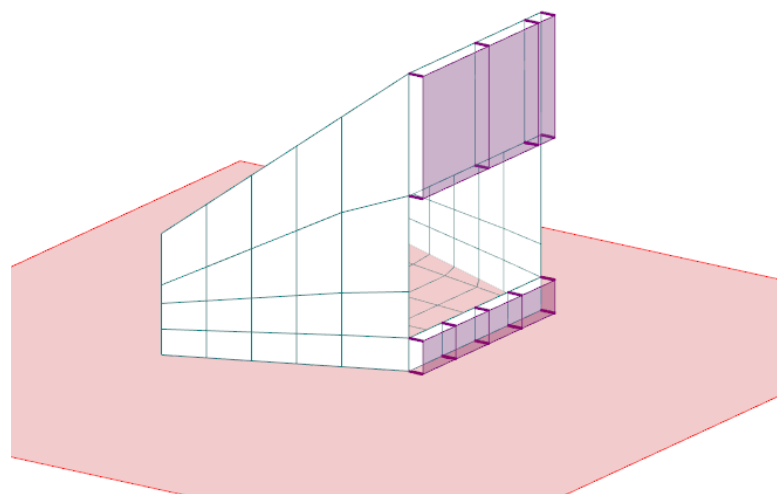


Figura 229: CCE Sovraspinta orizzontale dovuta al Carico stradale dir Y:

$$q_1 = 10 \times 0.295 = 2.95 \text{ kN/m}$$

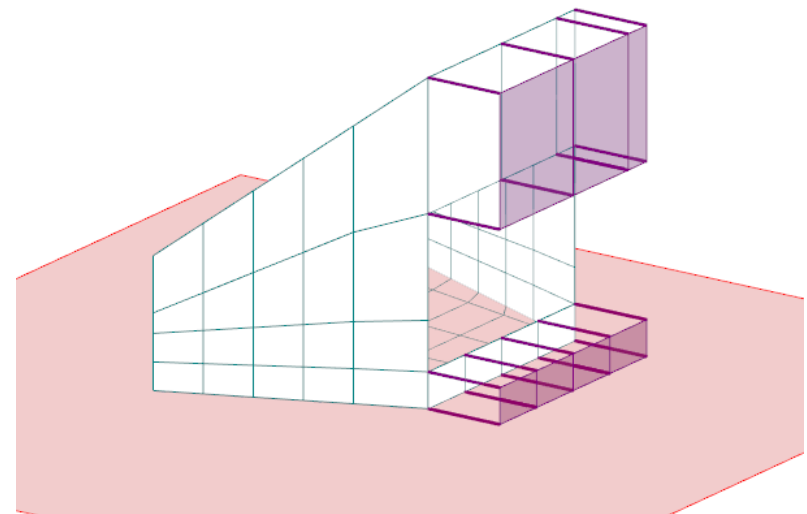
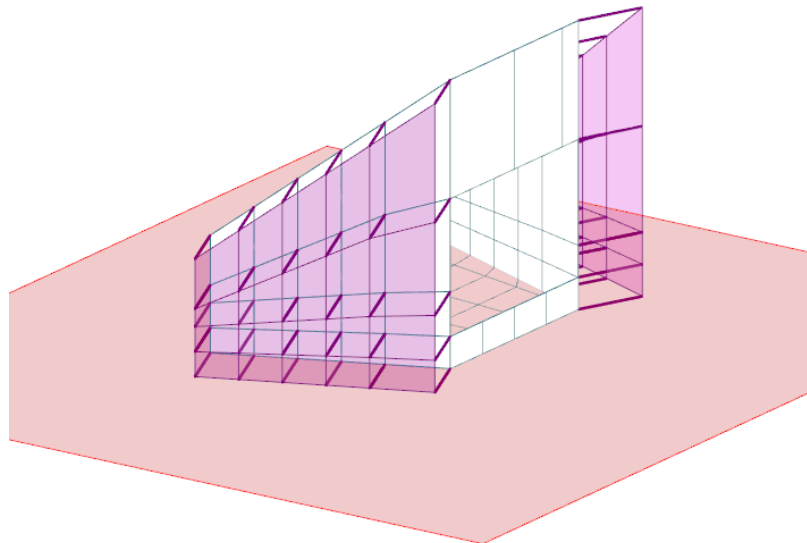


Figura 230: CCE Sovrappinta sismica allo SLV nelle due direzioni x e y

- Incremento sismico del terreno $q_s = 0.25 \times 20 \times 2.7 = 13.5 \text{ kN/mq}$;

Nella tabella sottostante sono riportate le combinazione di carico utilizzate per il calcolo della struttura. A maggior chiarimento si rimanda a tabulato di calcolo allegato

CC	Comm.	TCC	An.	Bk	1	2	3	4	5	6	S X	S Y
1	CC 1 - Amb. 1 (SLU S) S +X+0.3Y	SLV	L	N	1.00	1.00	0.00	0.00	1.00	0.30	1.00	0.30
2	CC 2 - Amb. 1 (SLU S) S +X-0.3Y	SLV	L	N	1.00	1.00	0.00	0.00	1.00	-0.30	1.00	-0.30
3	CC 3 - Amb. 1 (SLU S) S -X+0.3Y	SLV	L	N	1.00	1.00	0.00	0.00	-1.00	0.30	-1.00	0.30
4	CC 4 - Amb. 1 (SLU S) S -X-0.3Y	SLV	L	N	1.00	1.00	0.00	0.00	-1.00	-0.30	-1.00	-0.30
5	CC 5 - Amb. 1 (SLU S) S +0.3X+Y	SLV	L	N	1.00	1.00	0.00	0.00	0.30	1.00	0.30	1.00
6	CC 6 - Amb. 1 (SLU S) S -0.3X+Y	SLV	L	N	1.00	1.00	0.00	0.00	-0.30	1.00	-0.30	1.00
7	CC 7 - Amb. 1 (SLU S) S +0.3X-Y	SLV	L	N	1.00	1.00	0.00	0.00	1.00	-1.00	0.30	-1.00
8	CC 8 - Amb. 1 (SLU S) S -0.3X-Y	SLV	L	N	1.00	1.00	0.00	0.00	-0.30	-1.00	-0.30	-1.00
9	CC 9 - Amb. 2 (SLU)	SLU	L	N	1.35	1.50	1.50	1.50	1.00	1.00	0.00	0.00
10	CC 10 - Amb. 2 (SLE R)	SLE R	L	N	1.00	1.00	1.00	1.00	1.00	1.00	0.00	0.00
11	CC 11 - Amb. 2 (SLE F)	SLE F	L	N	1.00	1.00	0.40	0.40	1.00	1.00	0.00	0.00
12	CC 12 - Amb. 2 (SLE Q)	SLE Q	L	N	1.00	1.00	0.00	0.00	1.00	1.00	0.00	0.00

Le sollecitazioni maggiormente significative ai fini del dimensionamento della struttura vengono presentati nelle pagine seguenti:

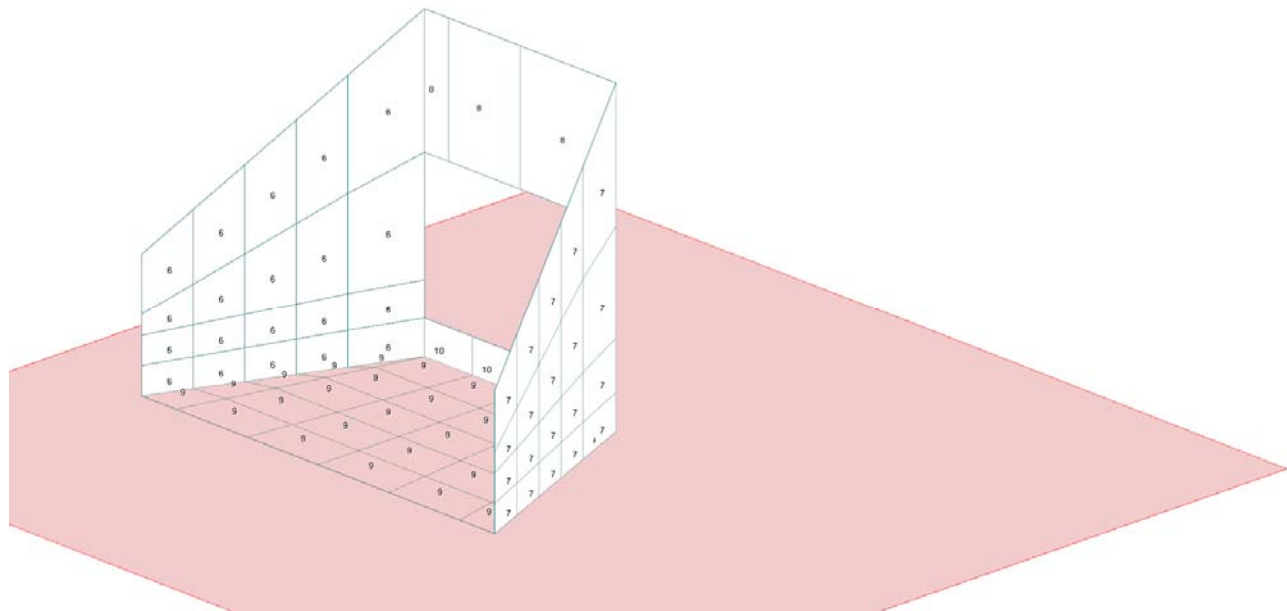


Figura 231 – modello di calcolo manufatto

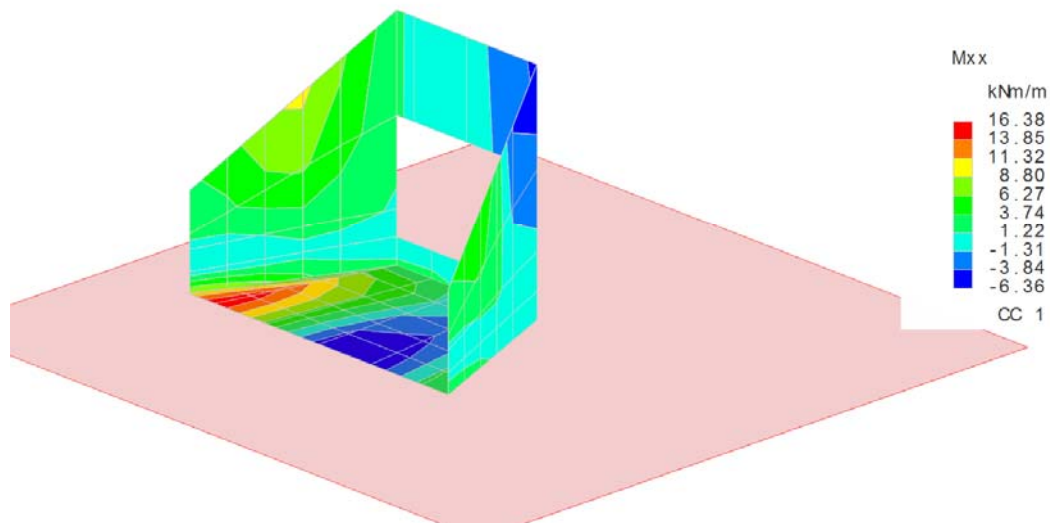


Figura 232 – M_{xx}-Sollecitazioni massime CC1

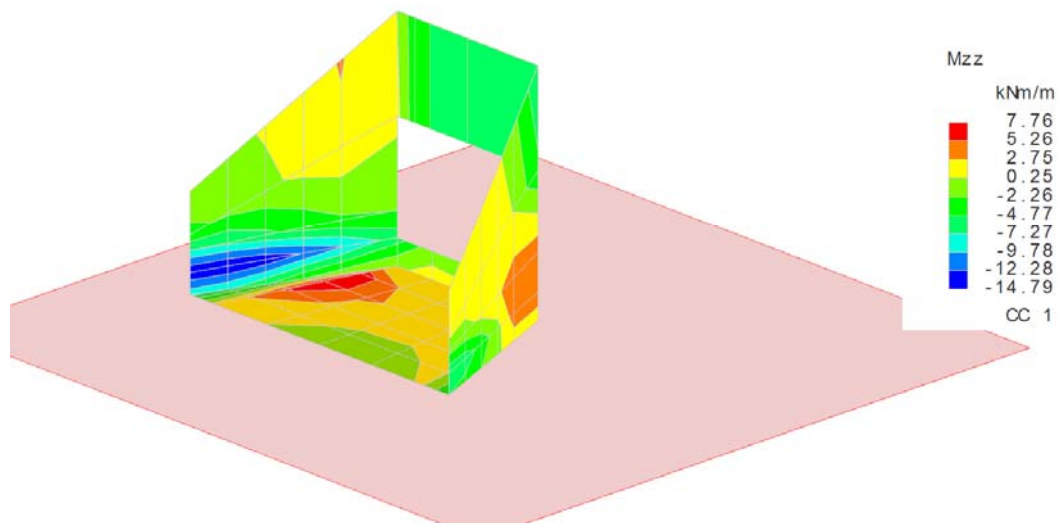


Figura 233 – M_{zz}-Sollecitazioni massime CC1

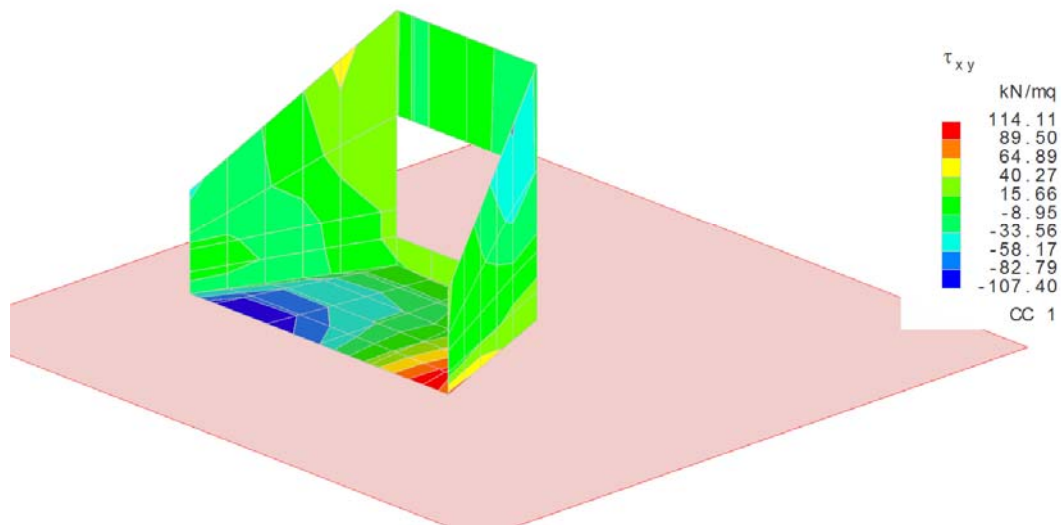


Figura 234 – τ_{xy} -Sollecitazioni massime CC1

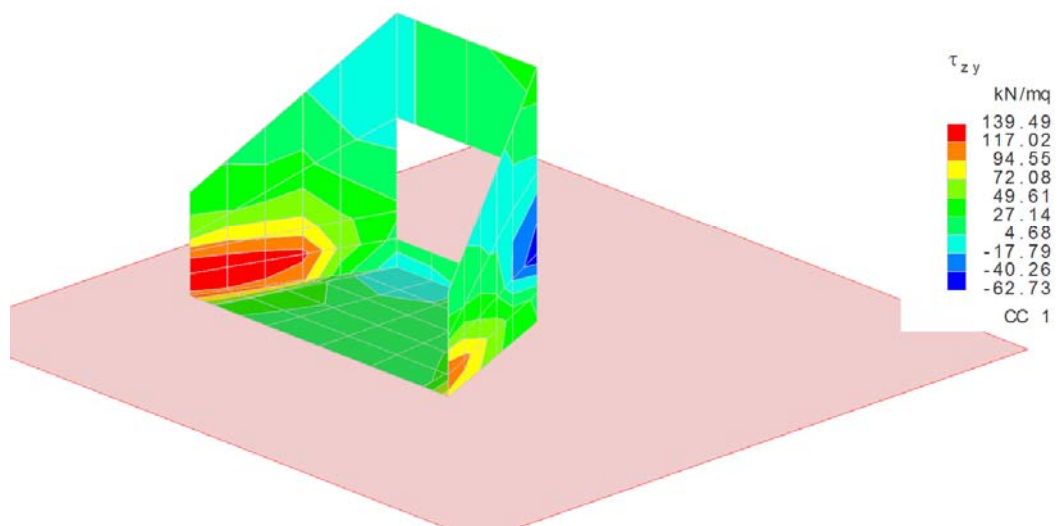


Figura 235 – τ_{zy} -Sollecitazioni massime CC1

Verifiche e armature solette/platee

Simbologia

Nodo = Numero del nodo
 X = Coordinata X del nodo
 Y = Coordinata Y del nodo
 DV = Direzione di verifica
 XX = Verifica per momento Mxx
 YY = Verifica per momento Myy
 CC = Numero della combinazione delle condizioni di carico elementari
 TCC = Tipo di combinazione di carico
 SLU = Stato limite ultimo
 SLU S = Stato limite ultimo (azione sismica)
 SLE R = Stato limite d'esercizio, combinazione rara
 SLE F = Stato limite d'esercizio, combinazione frequente
 SLE Q = Stato limite d'esercizio, combinazione quasi permanente
 SLD = Stato limite di danno
 SLV = Stato limite di salvaguardia della vita
 SLC = Stato limite di prevenzione del collasso
 SLO = Stato limite di operatività
 SLU I = Stato limite di resistenza al fuoco
 c = Ricoprimento dell'armatura
 s = Distanza minima tra le barre
 K3 = Coefficiente di forma del diagramma delle tensioni prima della fessurazione
 S_{rm} = Distanza media tra le fessure
 Φ = Diametro della barra
 A_s = Area complessiva dei ferri nell'area di calcestruzzo efficace
 A_{c eff} = Area di calcestruzzo efficace
 σ_s = Tensione nell'acciaio nella sezione fessurata
 σ_{sr} = Tensione nell'acciaio corrispondente al raggiungimento della resistenza a trazione nel calcestruzzo
 ε_{sm} = Deformazione unitaria media dell'armatura (*1000)
 W_k = Apertura delle fessure
 A_{fE S} = Area di ferro effettiva totale presente nel punto di verifica, superiore
 A_{fE I} = Area di ferro effettiva totale presente nel punto di verifica, inferiore
 M_{om} = Momento flettente
 M_u = Momento ultimo
 Sic. = Sicurezza a rottura
 V_{sdu} = Taglio agente nella direzione del momento ultimo
 V_{rdu} = Taglio ultimo assorbibile dal solo calcestruzzo
 σ_c = Tensione nel calcestruzzo
 σ_f = Tensione nel ferro
 Spess. = Spessore
 C_{f sup} = Copriferro superiore
 C_{f inf} = Copriferro inferiore
 C_{ls} = Tipo di calcestruzzo
 F_{c k} = Resistenza caratteristica cilindrica a compressione del calcestruzzo
 F_{c tk} = Resistenza caratteristica a trazione del calcestruzzo
 F_{c d} = Resistenza di calcolo a compressione del calcestruzzo
 F_{c td} = Resistenza di calcolo a trazione del calcestruzzo
 Acc. = Tipo di acciaio
 F_{y k} = Tensione caratteristica di snervamento dell'acciaio
 F_{y d} = Resistenza di calcolo dell'acciaio

Armatura platea a quota 0.00

Caratteristiche delle sezioni e dei materiali utilizzati

Spess. <cm>	C _{f sup} <cm>	C _{f inf} <cm>	C _{ls}	F _{c k} <daN/cm ² >	F _{c tk} <daN/cm ² >	F _{c d} <daN/cm ² >	F _{c td} <daN/cm ² >	Acc.	F _{y k} <daN/cm ² >	F _{y d} <daN/cm ² >
30.00	4.00	4.00	C28/35	290.50	19.84	164.62	13.23	B450C	4500.00	3913.04

Stato limite ultimo - Ferri longitudinali - Verifiche armatura

Nodo	X <m>	Y <m>	DV	CC	TCC	A _{fE S} <cm ² >	A _{fE I} <cm ² >	M _{om} <daNm>	M _u <daNm>	Sic.
-231	-1.84	1.40	XX	2	SLV	5.65	5.65	2108.54	5939.08	2.817
-168	-0.74	1.40	XX	4	SLV	5.65	5.65	-924.55	-5939.08	6.424
-270	-1.38	2.49	YY	2	SLV	5.65	5.65	564.92	5939.08	10.513
-177	-0.65	2.20	YY	2	SLV	5.65	5.65	226.06	5939.08	26.272

Stato limite ultimo - Verifica a taglio del calcestruzzo

Nodo	X	Y	DV	CC	TCC	A _{fE S}	A _{fE I}	V _{sdu}	V _{rdu}
------	---	---	----	----	-----	-------------------	-------------------	------------------	------------------

	$\langle m \rangle$	$\langle m \rangle$			$\langle cmq \rangle$	$\langle cmq \rangle$	$\langle daN \rangle$	$\langle daN \rangle$
-232	1.84	1.40	XX	2	SLV	5.65	5.65	4821.77
-231	-1.84	1.40	YY	2	SLV	5.65	5.65	2305.97
								12613.40

Stato limite d'esercizio - Ferri longitudinali - Verifiche armatura

Nodo	X $\langle m \rangle$	Y $\langle m \rangle$	DV	CC	TCC	AfE S $\langle cmq \rangle$	AfE I $\langle cmq \rangle$	Mom $\langle daNm \rangle$	σ_c	σ_f
									$\langle daN/cmq \rangle$	$\langle daN/cmq \rangle$
-232	1.84	1.40	XX	10	SLE R	5.65	5.65	1059.05	14.43	781.94
-232	1.84	1.40	XX	12	SLE Q	5.65	5.65	879.87	11.99	649.65
-169	0.00	1.40	XX	12	SLE Q	5.65	5.65	-523.88	7.14	386.80
-169	0.00	1.40	XX	10	SLE R	5.65	5.65	-629.68	8.58	464.92
-270	-1.38	2.49	YY	10	SLE R	5.65	5.65	357.81	4.88	264.19
-270	-1.38	2.49	YY	12	SLE Q	5.65	5.65	292.17	3.98	215.72
-169	0.00	1.40	YY	10	SLE R	5.65	5.65	-34.25	0.47	25.29
-169	0.00	1.40	YY	12	SLE Q	5.65	5.65	-31.79	0.43	23.47

Verifiche stato limite di formazione delle fessure

Nodo	X $\langle m \rangle$	Y $\langle m \rangle$	DV	CC	TCC	c $\langle mm \rangle$	s $\langle mm \rangle$	K3	s_{rm} $\langle mm \rangle$	Φ	A_s $\langle cmq \rangle$	$A_{c\ eff}$ $\langle cmq \rangle$	σ_s $\langle daN/cmq \rangle$	σ_{sr} $\langle daN/cmq \rangle$	ε_{sm}	Wk $\langle mm \rangle$
-232	1.84	1.40	XX	12	SLE Q	34.00	168.00	0.15	209.30	12.00	1.13	172.74	649.65	4060.58	0.13	0.04
-232	1.84	1.40	XX	11	SLE F	34.00	168.00	0.15	209.30	12.00	1.13	172.74	702.57	4060.58	0.14	0.05
-169	0.00	1.40	XX	12	SLE Q	34.00	168.00	0.15	209.31	12.00	1.13	172.75	386.80	4060.58	0.08	0.03
-169	0.00	1.40	XX	11	SLE F	34.00	168.00	0.15	209.31	12.00	1.13	172.75	418.05	4060.58	0.08	0.03
-270	-1.38	2.49	YY	12	SLE Q	34.00	168.00	0.15	209.30	12.00	1.13	172.74	215.72	4060.58	0.04	0.01
-270	-1.38	2.49	YY	11	SLE F	34.00	168.00	0.15	209.30	12.00	1.13	172.74	235.11	4060.58	0.05	0.02
-169	0.00	1.40	YY	12	SLE Q	34.00	168.00	0.15	209.31	12.00	1.13	172.75	23.47	4060.58	0.00	0.00
-169	0.00	1.40	YY	11	SLE F	34.00	168.00	0.15	209.31	12.00	1.13	172.75	24.20	4060.58	0.00	0.00

Verifiche e armature pareti

Simbologia

CC	= Numero della combinazione delle condizioni di carico elementari
Zona	= Zona di verifica
Zv	= Coordinata Z di verifica
Xi	= Coordinata X iniziale
Xf	= Coordinata X finale
Xv	= Coordinata X di verifica
TCC	= Tipo di combinazione di carico
	SLU = Stato limite ultimo
	SLU S = Stato limite ultimo (azione sismica)
	SLU R = Stato limite d'esercizio, combinazione rara
	SLU F = Stato limite d'esercizio, combinazione frequente
	SLU Q = Stato limite d'esercizio, combinazione quasi permanente
	SLD = Stato limite di danno
	SLV = Stato limite di salvaguardia della vita
	SLC = Stato limite di prevenzione del collasso
	SLO = Stato limite di operatività
	SLU I = Stato limite di resistenza al fuoco
N	= Sforzo normale
Mz	= Momento flettente intorno all'asse Z
My	= Momento flettente intorno all'asse Y
Nu	= Sforzo normale ultimo
Mzu	= Momento ultimo intorno all'asse Z
Myu	= Momento ultimo intorno all'asse Y
Sic.	= Sicurezza a rottura
σ_c	= Tensione nel calcestruzzo
σ_f	= Tensione nel ferro
C	= Ricoprimento dell'armatura
s	= Distanza minima tra le barre
K3	= Coefficiente di forma del diagramma delle tensioni prima della fessurazione
s_{rm}	= Distanza media tra le fessure
Φ	= Diametro della barra
A_s	= Area complessiva dei ferri nell'area di calcestruzzo efficace
$A_{c\ eff}$	= Area di calcestruzzo efficace
σ_s	= Tensione nell'acciaio nella sezione fessurata
σ_{sr}	= Tensione nell'acciaio corrispondente al raggiungimento della resistenza a trazione nel calcestruzzo
ε_{sm}	= Deformazione unitaria media dell'armatura (*1000)
Wk	= Apertura delle fessure

Ty = Taglio in dir. Y
 Vsdu = Taglio agente nella direzione del momento ultimo
 ctgθ = Cotangente dell'angolo di inclinazione dei puntoni di calcestruzzo
 VRsd = Taglio ultimo lato armatura
 VRcd = Taglio ultimo lato calcestruzzo
 Vrdu = Taglio ultimo assorbibile dal solo calcestruzzo
 Sic.T = Sicurezza a rottura per taglio
 Sez. = Sezione di verifica
 Spess. = Spessore
 Cf = Copriferro
 Cls = Tipo di calcestruzzo
 Fck = Resistenza caratteristica cilindrica a compressione del calcestruzzo
 Fctk = Resistenza caratteristica a trazione del calcestruzzo
 Fcd = Resistenza di calcolo a compressione del calcestruzzo
 Fctd = Resistenza di calcolo a trazione del calcestruzzo
 Acc. = Tipo di acciaio
 Fyk = Tensione caratteristica di snervamento dell'acciaio
 Fyd = Resistenza di calcolo dell'acciaio

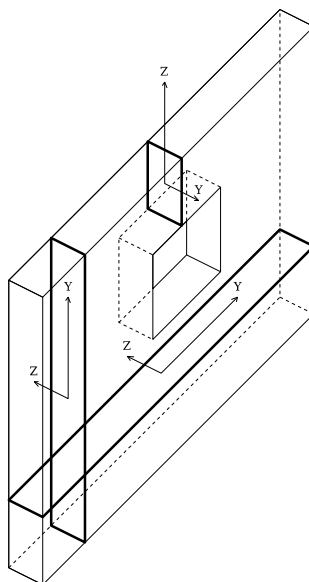


Figura numero 2: Riferimenti sezione

Parete n. 6

Caratteristiche delle sezioni e dei materiali utilizzati

Sez.	Spess.	Cf	Cls	Fck	Fctk	Fcd	Fctd	Acc.	Fyk	Fyd
	<cm>	<cm>		<daN/cmq>	<daN/cmq>	<daN/cmq>	<daN/cmq>		<daN/cmq>	<daN/cmq>
Oriz.	30.00	5.80	C28/35	290.50	19.84	164.62	13.23	B450C	4500.00	3913.04

Verifiche su sezioni orizzontali

Stato limite ultimo - Armatura a flessione

CC	TCC	Zona	Zv <m>	Xi <m>	Xf <m>	N <daN>	Mz <daNm>	My <daNm>	Nu <daN>	Mzu <daNm>	Myu <daNm>	Sic.
9	SLU	Diff. long.	0.00	0.00	2.17	-5679.77	2499.22	0.00	-5681.68	110715.00	0.00	44.300
2	SLV	Diff. tras.	0.00	0.00	2.17	-2797.34	0.00	3630.35	-2798.77	0.00	14630.80	4.030
3	SLV	Diff. long.	1.35	0.00	1.83	-3024.13	-1037.90	0.00	-3025.96	-77777.90	0.00	74.938
2	SLV	Diff. tras.	1.35	0.00	1.83	-270.55	0.00	-814.63	-271.07	0.00	-11971.60	14.696

Stato limite d'esercizio - Armatura a flessione

CC	TCC	Zona	Zv <m>	Xi <m>	Xf <m>	N <daN>	Mz <daNm>	My <daNm>	σ _c <daN/cmq>	σ _f <daN/cmq>
10	SLE R	Diff. tras.	0.00	0.00	2.17	-4092.16	0.00	1741.90	11.90	420.10
12	SLE Q	Diff. tras.	0.00	0.00	2.17	-3803.32	0.00	1496.67	10.18	350.26
10	SLE R	Diff. tras.	1.35	0.00	1.83	-1576.83	0.00	-326.85	2.49	60.17
12	SLE Q	Diff. tras.	1.35	0.00	1.83	-1647.34	0.00	-261.99	1.87	33.82

Verifiche stato limite di formazione delle fessure

CC	TCC	Zona	Zv <m>	Xi <m>	Xf <m>	N <daN>	Mz <daNm>	My <daNm>	c <mm>	s <mm>	K3	s _{rm} <mm>	Φ	A _s <cmq>	A _{c eff} <cmq>	σ _s <daN/cmq>	σ _{sr} <daN/cmq>	ε _{sm}	W _k <mm>
12	SLE Q	Diff. tras.	0.00	0.00	2.17	-3803.32	0.00	1496.67	52.00	168.00	0.13	242.04	12.00	1.13	196.86	350.26	3183.33	0.07	0.03
11	SLE F	Diff. tras.	0.00	0.00	2.17	-3918.86	0.00	1594.76	52.00	168.00	0.13	242.04	12.00	1.13	196.86	378.19	3210.17	0.07	0.03
12	SLE Q	Diff. tras.	1.35	0.00	1.83	-1647.34	0.00	-261.99	52.00	168.00	0.13	242.04	12.00	1.13	196.86	33.82	1891.55	0.01	0.00
11	SLE F	Diff. tras.	1.35	0.00	1.83	-1619.14	0.00	-287.93	52.00	168.00	0.13	242.04	12.00	1.13	196.86	44.08	2137.99	0.01	0.00

Stato limite ultimo - Armatura a taglio

CC	Zona	Zv <m>	Xi <m>	Xf <m>	TCC	Ty <daN>	Vsdu <daN>	ctgθ	VRsd <daN>	VRcd <daN>	Vrdu <daN>	Sic.T
9	Diff. long.	0.00	0.00	2.17	SLU	2573.17	2573.17	2.15	180698.00	180698.00	180698.00	70.22
9	Diff. long.	1.35	0.00	1.83	SLU	2791.37	2791.37	2.14	151415.00	151415.00	151415.00	54.24

Parete n. 7

Caratteristiche delle sezioni e dei materiali utilizzati

Sez.	Spess. <cm>	Cf <cm>	Cl _s	F _{ok} <daN/cmq>	F _{ctk} <daN/cmq>	F _{cd} <daN/cmq>	F _{cfd} <daN/cmq>	Acc.	F _{yk} <daN/cmq>	F _{yd} <daN/cmq>
Oriz.	30.00	5.80	C28/35	290.50	19.84	164.62	13.23	B450C	4500.00	3913.04

Verifiche su sezioni orizzontali

Stato limite ultimo - Armatura a flessione

CC	TCC	Zona	Zv <m>	Xi <m>	Xf <m>	N <daN>	Mz <daNm>	My <daNm>	Nu <daN>	Mzu <daNm>	Myu <daNm>	Sic.
2	SLV	Diff. long.	0.00	0.00	2.17	-6042.66	2657.74	0.00	-6045.94	111040.00	0.00	41.780
9	SLU	Diff. tras.	0.00	0.00	2.17	-5688.20	0.00	2511.53	-5688.55	0.00	14931.40	5.945
9	SLU	Diff. long.	1.35	0.00	1.83	-2226.46	449.42	0.00	-2226.86	74608.20	0.00	>100
2	SLV	Diff. tras.	1.35	0.00	1.83	-2927.68	0.00	-547.15	-2931.25	0.00	-12288.90	22.460

Stato limite d'esercizio - Armatura a flessione

CC	TCC	Zona	Zv <m>	Xi <m>	Xf <m>	N <daN>	Mz <daNm>	My <daNm>	σ _c <daN/cmq>	σ _f <daN/cmq>
10	SLE R	Diff. tras.	0.00	0.00	2.17	-4097.36	0.00	1745.15	11.92	420.97
12	SLE Q	Diff. tras.	0.00	0.00	2.17	-3808.47	0.00	1497.74	10.19	350.42
10	SLE R	Diff. tras.	1.35	0.00	1.83	-1669.31	0.00	-328.82	2.48	57.24
12	SLE Q	Diff. tras.	1.35	0.00	1.83	-1724.54	0.00	-266.34	1.89	32.67

Verifiche stato limite di formazione delle fessure

CC	TCC	Zona	Zv <m>	Xi <m>	Xf <m>	N <daN>	Mz <daNm>	My <daNm>	s _{rm} <mm>	K3	Φ	σ _s <daN/cmq>	σ _{sr} <daN/cmq>	ε _{sm}	W _k <mm>				
12	SLE Q	Diff. tras.	0.00	0.00	2.17	-3808.47	0.00	1497.74	52.00	168.00	0.13	242.04	12.00	1.13	196.86	350.42	3182.80	0.07	0.03
11	SLE F	Diff. tras.	0.00	0.00	2.17	-3924.03	0.00	1596.70	52.00	168.00	0.13	242.04	12.00	1.13	196.86	378.63	3210.09	0.07	0.03
12	SLE Q	Diff. tras.	1.35	0.00	1.83	-1724.54	0.00	-266.34	52.00	168.00	0.13	242.04	12.00	1.13	196.86	32.67	1822.88	0.01	0.00
11	SLE F	Diff. tras.	1.35	0.00	1.83	-1702.45	0.00	-291.33	52.00	168.00	0.13	242.04	12.00	1.13	196.86	42.22	2056.09	0.01	0.00

Stato limite ultimo - Armatura a taglio

CC	Zona	Zv <m>	Xi <m>	Xf <m>	TCC	Ty <daN>	Vsdu <daN>	ctgθ	VRsd <daN>	VRcd <daN>	Vrdu <daN>	Sic.T
2	Diff. long.	0.00	0.00	2.17	SLV	-3509.15	3509.15	2.15	180735.00	180735.00	180735.00	51.50
2	Diff. long.	1.35	0.00	1.83	SLV	-3418.22	3418.22	2.14	151500.00	151500.00	151500.00	44.32

Parete n. 8

Caratteristiche delle sezioni e dei materiali utilizzati

Sez.	Spess. <cm>	Cf <cm>	Cl _s	F _{ok} <daN/cmq>	F _{ctk} <daN/cmq>	F _{cd} <daN/cmq>	F _{cfd} <daN/cmq>	Acc.	F _{yk} <daN/cmq>	F _{yd} <daN/cmq>
Oriz.	30.00	5.80	C28/35	290.50	19.84	164.62	13.23	B450C	4500.00	3913.04

Verifiche su sezioni orizzontali

Stato limite ultimo - Armatura a flessione

CC	TCC	Zona	Zv <m>	Xi <m>	Xf <m>	N <daN>	Mz <daNm>	My <daNm>	Nu <daN>	Mzu <daNm>	Myu <daNm>	Sic.
1	SLV	Diff. long.	0.00	0.00	2.00	-417.08	-352.51	0.00	-419.53	-89742.40	0.00	>100
9	SLU	Diff. tras.	0.00	0.00	2.00	-407.90	0.00	0.00	-409.21	0.00	13172.00	>100
1	SLV	Diff. long.	0.56	0.00	2.00	-417.08	-352.51	0.00	-419.53	-89742.40	0.00	>100

9	SLU	Diff. tras.	0.56	0.00	2.00	-407.90	0.00	0.00	-409.21	0.00	13172.00	>100
1	SLV	Diff. long.	1.11	0.00	2.00	-417.08	-352.51	0.00	-419.53	-89742.40	0.00	>100
9	SLU	Diff. tras.	1.11	0.00	2.00	-407.90	0.00	0.00	-409.21	0.00	13172.00	>100

Stato limite d'esercizio - Armatura a flessione

CC	TCC	Zona	Zv <m>	Xi <m>	Xf <m>	N <daN>	Mz <daNm>	My <daNm>	σ_c <daN/cmq>	σ_f <daN/cmq>
10	SLE R	Diff. long.	0.00	0.00	2.00	-315.14	-5.69	0.00	0.05	0.78
12	SLE Q	Diff. long.	0.00	0.00	2.00	-363.03	-7.08	0.00	0.06	0.90
10	SLE R	Diff. long.	0.56	0.00	2.00	-315.14	-5.69	0.00	0.05	0.78
12	SLE Q	Diff. long.	0.56	0.00	2.00	-363.03	-7.08	0.00	0.06	0.90
10	SLE R	Diff. long.	1.11	0.00	2.00	-315.14	-5.69	0.00	0.05	0.78
12	SLE Q	Diff. long.	1.11	0.00	2.00	-363.03	-7.08	0.00	0.06	0.90

Stato limite ultimo - Armatura a taglio

CC	Zona	Zv <m>	Xi <m>	Xf <m>	TCC	Ty <daN>	Vsdu <daN>	ctgθ	VRsd <daN>	VRcd <daN>	Vrdu <daN>	Sic.T
2	Diff. long.	0.00	0.00	2.00	SLV	-2531.86	2531.86	2.14	165569.00	165569.00	165569.00	65.39
2	Diff. long.	0.56	0.00	2.00	SLV	-2531.86	2531.86	2.14	165569.00	165569.00	165569.00	65.39
2	Diff. long.	1.11	0.00	2.00	SLV	-2531.86	2531.86	2.14	165569.00	165569.00	165569.00	65.39

Parete n. 10

Caratteristiche delle sezioni e dei materiali utilizzati

Sez.	Spess. <cm>	Cf <cm>	Clz	Fck <daN/cmq>	Fctk <daN/cmq>	Fcd <daN/cmq>	Fctd <daN/cmq>	Acc.	Fyk <daN/cmq>	Fyd <daN/cmq>
Oriz.	30.00	5.80	C28/35	290.50	19.84	164.62	13.23	B450C	4500.00	3913.04

Verifiche su sezioni orizzontali

Stato limite ultimo - Armatura a flessione

CC	TCC	Zona	Zv <m>	Xi <m>	Xf <m>	N <daN>	Mz <daNm>	My <daNm>	Nu <daN>	Mzu <daNm>	Myu <daNm>	Sic.
2	SLV	Diff. long.	0.00	0.00	2.00	1142.17	116.34	0.00	1139.69	87772.30	0.00	>100
9	SLU	Diff. tras.	0.00	0.00	2.00	999.47	0.00	262.46	1001.70	0.00	12791.20	48.735
2	SLV	Diff. long.	0.15	0.00	2.00	1142.17	116.34	0.00	1139.69	87772.30	0.00	>100
9	SLU	Diff. tras.	0.15	0.00	2.00	999.47	0.00	262.46	1001.70	0.00	12791.20	48.735
2	SLV	Diff. long.	0.30	0.00	2.00	1142.17	116.34	0.00	1139.69	87772.30	0.00	>100
9	SLU	Diff. tras.	0.30	0.00	2.00	999.47	0.00	262.46	1001.70	0.00	12791.20	48.735

Stato limite d'esercizio - Armatura a flessione

CC	TCC	Zona	Zv <m>	Xi <m>	Xf <m>	N <daN>	Mz <daNm>	My <daNm>	σ_c <daN/cmq>	σ_f <daN/cmq>
10	SLE R	Diff. tras.	0.00	0.00	2.00	514.06	0.00	187.01	1.43	89.94
12	SLE Q	Diff. tras.	0.00	0.00	2.00	-55.46	0.00	165.82	1.27	57.56
10	SLE R	Diff. tras.	0.15	0.00	2.00	514.06	0.00	187.01	1.43	89.94
12	SLE Q	Diff. tras.	0.15	0.00	2.00	-55.46	0.00	165.82	1.27	57.56
10	SLE R	Diff. tras.	0.30	0.00	2.00	514.06	0.00	187.01	1.43	89.94
12	SLE Q	Diff. tras.	0.30	0.00	2.00	-55.46	0.00	165.82	1.27	57.56

Verifiche stato limite di formazione delle fessure

CC	TCC	Zona	Zv <m>	Xi <m>	Xf <m>	N <daN>	Mz <daNm>	My <daNm>	c <mm>	s <mm>	K3	s _{rn} <mm>	Φ	A _s <cmq>	A _{o eff} <cmq>	σ_s <daN/cmq>	σ_{sr} <daN/cmq>	σ_{ar} <daN/cmq>	ϵ_{sm} <mm>	Wk
12	SLE Q	Diff. tras.	0.00	0.00	2.00	-55.46	0.00	165.82	52.00	168.00	0.13	246.12	12.00	1.13	196.86	57.56	3856.27	0.01	0.00	
11	SLE F	Diff. tras.	0.00	0.00	2.00	172.35	0.00	174.30	52.00	168.00	0.14	252.49	12.00	1.13	196.86	70.42	4203.33	0.01	0.01	
12	SLE Q	Diff. tras.	0.15	0.00	2.00	-55.46	0.00	165.82	52.00	168.00	0.13	246.12	12.00	1.13	196.86	57.56	3856.27	0.01	0.00	
11	SLE F	Diff. tras.	0.15	0.00	2.00	172.35	0.00	174.30	52.00	168.00	0.14	252.49	12.00	1.13	196.86	70.42	4203.33	0.01	0.01	
12	SLE Q	Diff. tras.	0.30	0.00	2.00	-55.46	0.00	165.82	52.00	168.00	0.13	246.12	12.00	1.13	196.86	57.56	3856.27	0.01	0.00	
11	SLE F	Diff. tras.	0.30	0.00	2.00	172.35	0.00	174.30	52.00	168.00	0.14	252.49	12.00	1.13	196.86	70.42	4203.33	0.01	0.01	

Stato limite ultimo - Armatura a taglio

CC	Zona	Zv <m>	Xi <m>	Xf <m>	TCC	Ty <daN>	Vsdu <daN>	ctgθ	VRsd <daN>	VRcd <daN>	Vrdu <daN>	Sic.T
4	Diff. long.	0.00	0.00	2.00	SLV	3623.81	3623.81	2.14	165626.00	165626.00	165626.00	45.70
4	Diff. long.	0.15	0.00	2.00	SLV	3623.81	3623.81	2.14	165626.00	165626.00	165626.00	45.70
4	Diff. long.	0.30	0.00	2.00	SLV	3623.81	3623.81	2.14	165626.00	165626.00	165626.00	45.70

23)blocco 2.50x2.4x0.8_REL.rtf

Sommario

Introduzione	2
Sistemi di riferimento	2
Rotazioni e momenti	2
Normativa di riferimento	2
Unità di misura	3
Geometria.....	3
Elenco vincoli nodi	3
Elenco nodi	3
Elenco materiali	4
Elenco tipi elementi bidimensionali	4
Carichi.....	4
Condizioni di carico elementari	4
Elenco peso proprio elementi bidimensionali	5
Elenco carichi elementi bidimensionali Condizione di carico n. 2: g3_spinta a riposo Carichi idrostatici	5
Elenco carichi elementi bidimensionali Condizione di carico n. 3: g3_sovraspinta_x Carichi idrostatici	5
Elenco carichi elementi bidimensionali Condizione di carico n. 4: g3_sovraspinta_y Carichi idrostatici	6
Elenco carichi elementi bidimensionali Condizione di carico n. 5: q6_g3_slv_x Carichi idrostatici	6
Elenco carichi elementi bidimensionali Condizione di carico n. 6: q6_g3_slv_y Carichi idrostatici	6
Risultati del calcolo.....	6
Parametri di calcolo	6
<i>Figura numero 1: Spettro SLV</i>	8
Tensioni sul terreno	11
Verifiche e armature solette/platee.....	12
Armatura platea a quota 0.00	12
Verifiche e armature pareti.....	13
<i>Figura numero 2: Riferimenti sezione</i>	14
Parete n. 6	14
Parete n. 7	15
Parete n. 8	15
Parete n. 10	16

Introduzione

Sistemi di riferimento

Le coordinate, i carichi concentrati, i cedimenti, le reazioni vincolari e gli spostamenti dei NODI sono riferiti ad una terna destra cartesiana globale con l'asse Z verticale rivolto verso l'alto.

I carichi in coordinate locali e le sollecitazioni delle ASTE sono riferite ad una terna destra cartesiana locale così definita:

- origine nel nodo iniziale dell'asta;
- asse X coincidente con l'asse dell'asta e con verso dal nodo iniziale al nodo finale;
- immaginando la trave a sezione rettangolare l'asse Y è parallelo alla base e l'asse Z è parallelo all'altezza. La rotazione dell'asta comporta quindi una rotazione di tutta la terna locale.

Si può immaginare la terna locale di un'asta comunque disposta nello spazio come derivante da quella globale dopo una serie di trasformazioni:

- una rotazione intorno all'asse Z che porti l'asse X a coincidere con la proiezione dell'asse dell'asta sul piano orizzontale;
- una traslazione lungo il nuovo asse X così definito in modo da portare l'origine a coincidere con la proiezione del nodo iniziale dell'asta sul piano orizzontale;
- una traslazione lungo l'asse Z che porti l'origine a coincidere con il nodo iniziale dell'asta;
- una rotazione intorno all'asse Y così definito che porti l'asse X a coincidere con l'asse dell'asta;
- una rotazione intorno all'asse X così definito pari alla rotazione dell'asta.

In pratica le travi prive di rotazione avranno sempre l'asse Z rivolto verso l'alto e l'asse Y nel piano del solaio, mentre i pilastri privi di rotazione avranno l'asse Y parallelo all'asse Y globale e l'asse Z parallelo ma controverso all'asse X globale. Da notare quindi che per i pilastri la "base" è il lato parallelo a Y.

Le sollecitazioni ed i carichi in coordinate locali negli ELEMENTI BIDIMENSIONALI e nei MURI sono riferiti ad una terna destra cartesiana locale così definita:

- origine nel primo nodo dell'elemento;
- asse X coincidente con la congiungente il primo ed il secondo nodo dell'elemento;
- asse Y definito come prodotto vettoriale fra il versore dell'asse X e il versore della congiungente il primo e il quarto nodo. Asse Z a formare con gli altri due una terna destrorsa.

Praticamente un elemento verticale con l'asse X locale coincidente con l'asse X globale ha anche gli altri assi locali coincidenti con quelli globali.

Rotazioni e momenti

Seguendo il principio adottato per tutti i carichi che sono positivi se CONTROVERSI agli assi, anche i momenti concentrati e le rotazioni impresse in coordinate globali risultano positivi se CONTROVERSI al segno positivo delle rotazioni. Il segno positivo dei momenti e delle rotazioni è quello orario per l'osservatore posto nell'origine: X ruota su Y, Y ruota su Z, Z ruota su X. In pratica è sufficiente adottare la regola della mano destra: col pollice rivolto nella direzione dell'asse, la rotazione che porta a chiudere il palmo della mano corrisponde al segno positivo.

Normativa di riferimento

La normativa di riferimento è la seguente:

- Legge n. 64 del 2/2/1974 - Provvedimenti per le costruzioni con particolari prescrizioni per le zone sismiche.
- D.M. del 24/1/1986 - Norme tecniche relative alle costruzioni sismiche.
- Legge n. 1086 del 5/11/1971 - Norme per la disciplina delle opere di conglomerato cementizio armato, normale e precompresso ed a struttura metallica.
- D.M. del 14/2/1992 - Norme tecniche per l'esecuzione delle opere in c.a. normale e precompresso e per le strutture metalliche.
- D.M. del 9/1/1996 - Norme tecniche per l'esecuzione delle opere in c.a. normale e precompresso e per le strutture metalliche.
- D.M. del 16/1/1996 - Norme tecniche per le costruzioni in zone sismiche.
- Circolare n. 21745 del 30/7/1981 - Legge n. 219 del 14/5/1981 - Art. 10 - Istruzioni relative al rafforzamento degli edifici in muratura danneggiati dal sisma.
- Regione Autonoma Friuli Venezia Giulia - Legge Regionale n. 30 del 20/6/1977 - Documentazione tecnica per la progettazione e direzione delle opere di riparazione degli edifici - Documento Tecnico n. 2 - Raccomandazioni per la riparazione strutturale degli edifici in muratura.
- D.M. del 20/11/1987 - Norme Tecniche per la progettazione, esecuzione e collaudo degli edifici in muratura e per il loro consolidamento.
- Norme Tecniche C.N.R. n. 10011-85 del 18/4/1985 - Costruzioni di acciaio - Istruzioni per il calcolo, l'esecuzione, il collaudo e la manutenzione.
- Norme Tecniche C.N.R. n. 10025-84 del 14/12/1984 - Istruzioni per il progetto, l'esecuzione ed il controllo delle strutture prefabbricate in conglomerato cementizio e per le strutture costruite con sistemi industrializzati di acciaio

Relazione di calcolo

- Istruzioni per il calcolo, l'esecuzione, il collaudo e la manutenzione.
- Circolare n. 65 del 10/4/1997 - Istruzioni per l'applicazione delle "Norme tecniche per le costruzioni in zone sismiche" di cui al D.M. del 16/1/1996.
- Eurocodice 5 - Progettazione delle strutture di legno.
- DIN 1052 - Metodi di verifica per il legno.
- D.M. del 14/1/2008 - Norme tecniche per le costruzioni. Le verifiche degli elementi di fondazione sono eseguite utilizzando l'Approccio 2.
- Circolare n. 617 del 2/2/2009 - Istruzioni per l'applicazione delle "Nuove norme tecniche per le costruzioni" di cui al D.M. del 14/1/2008.
- Documento Tecnico CNR-DT 200 R1/2012 - Istruzioni per la Progettazione, l'Esecuzione ed il Controllo di Interventi di Consolidamento Statico mediante l'utilizzo di Compositi Fibrorinforzati.
- Eurocodice 3 - Progettazione delle strutture in acciaio.

Unità di misura

Le unità di misura adottate sono le seguenti:

- lunghezze : m
- forze : daN
- masse : kg
- temperature : gradi centigradi
- angoli : gradi sessadecimali o radianti

Geometria

Elenco vincoli nodi

Simbologia

Vn	= Numero del vincolo nodo
Comm.	= Commento
Sx	= Spostamento in dir. X (L=libero, B=bloccato, E=elastico)
Sy	= Spostamento in dir. Y (L=libero, B=bloccato, E=elastico)
Sz	= Spostamento in dir. Z (L=libero, B=bloccato, E=elastico)
Rx	= Rotazione intorno all'asse X (L=libera, B=blockata, E=elastica)
Ry	= Rotazione intorno all'asse Y (L=libera, B=blockata, E=elastica)
Rz	= Rotazione intorno all'asse Z (L=libera, B=blockata, E=elastica)
RL	= Rotazione libera
Ly	= Lunghezza (dir. Y locale)
Lz	= Larghezza (dir. Z locale)
Kt	= Coeff. di sotterraneo su suolo elastico alla Winkler

Vn	Comm.	Sx	Sy	Sz	Rx	Ry	Rz	RL	Ly <m>	Lz <m>	Kt <daN/cm>
1	Libero	L	L	L	L	L	L				
2	El. sew 110001	B	B	L	L	L	B				

Elenco nodi

Simbologia

Nodo	X <m>	Y <m>	Z <m>	Imp.	Vn
-312	-0.75	3.40	1.59	0	1
-308	-1.69	1.76	0.81	0	1
-305	-1.00	3.40	1.59	0	1
-302	1.69	1.76	0.82	0	1
-299	1.23	2.86	1.40	0	1
-296	-1.69	1.76	0.25	0	1
-291	-1.54	2.13	0.26	0	1
-286	-1.38	2.49	0.27	0	1
-281	-1.23	2.86	0.29	0	1
-276	-1.84	1.40	0.23	0	1
-270	-1.38	2.49	0.00	0	2
-264	1.23	2.86	0.67	0	1
-259	1.38	2.49	0.62	0	1
-254	1.54	2.13	0.57	0	1
-249	1.69	1.76	0.52	0	1
-244	1.84	1.40	0.47	0	1

Nodo	X <m>	Y <m>	Z <m>	Imp.	Vn
-311	0.00	3.40	1.59	0	1
-307	-1.54	2.13	0.99	0	1
-304	-1.23	2.86	1.35	0	1
-301	1.54	2.13	1.02	0	1
-298	-1.69	1.76	1.39	0	1
-293	-1.54	2.13	1.68	0	1
-288	-1.38	2.49	1.97	0	1
-283	-1.23	2.86	2.27	0	1
-278	-1.84	1.40	1.10	0	1
-274	-1.69	1.76	0.00	0	2
-268	-1.23	2.86	0.00	0	2
-263	1.23	2.86	0.29	0	1
-258	1.38	2.49	0.27	0	1
-253	1.54	2.13	0.26	0	1
-248	1.69	1.76	0.25	0	1
-243	1.84	1.40	0.23	0	1

Nodo	X <m>	Y <m>	Z <m>	Imp.	Vn
-309	-1.84	1.40	0.63	0	1
-306	-1.38	2.49	1.17	0	1
-303	1.84	1.40	0.63	0	1
-300	1.38	2.49	1.21	0	1
-297	-1.69	1.76	0.49	0	1
-292	-1.54	2.13	0.52	0	1
-287	-1.38	2.49	0.55	0	1
-282	-1.23	2.86	0.57	0	1
-277	-1.84	1.40	0.47	0	1
-272	-1.54	2.13	0.00	0	2
-265	1.23	2.86	2.27	0	1
-260	1.38	2.49	1.97	0	1
-255	1.54	2.13	1.68	0	1
-250	1.69	1.76	1.39	0	1
-245	1.84	1.40	1.10	0	1
-241	1.23	2.86	0.00	0	2

Relazione di calcolo

-239	1.38	2.49	0.00	0	2	-237	1.54	2.13	0.00	0	2	-235	1.69	1.76	0.00	0	2
-232	1.84	1.40	0.00	0	2	-231	-1.84	1.40	0.00	0	2	-202	-1.00	3.40	0.60	0	1
-197	-0.75	3.40	2.70	0	1	-196	0.00	3.40	2.70	0	1	-195	1.00	3.40	2.70	0	1
-191	1.10	3.00	0.00	0	2	-190	1.19	2.60	0.00	0	2	-189	1.29	2.20	0.00	0	2
-188	1.39	1.80	0.00	0	2	-187	0.55	3.00	0.00	0	2	-186	0.60	2.60	0.00	0	2
-185	0.65	2.20	0.00	0	2	-184	0.69	1.80	0.00	0	2	-183	0.00	3.00	0.00	0	2
-182	0.00	2.60	0.00	0	2	-181	0.00	2.20	0.00	0	2	-180	0.00	1.80	0.00	0	2
-179	-0.55	3.00	0.00	0	2	-178	-0.60	2.60	0.00	0	2	-177	-0.65	2.20	0.00	0	2
-176	-0.69	1.80	0.00	0	2	-175	-1.10	3.00	0.00	0	2	-174	-1.19	2.60	0.00	0	2
-173	-1.29	2.20	0.00	0	2	-172	-1.39	1.80	0.00	0	2	-171	1.48	1.40	0.00	0	2
-170	0.74	1.40	0.00	0	2	-169	0.00	1.40	0.00	0	2	-168	-0.74	1.40	0.00	0	2
-167	-1.48	1.40	0.00	0	2	-139	-1.00	3.40	2.70	0	1	-129	-1.00	3.40	0.30	0	1
-128	-1.00	3.40	0.00	0	2	-127	-0.50	3.40	0.30	0	1	-126	-0.50	3.40	0.00	0	2
-125	0.00	3.40	0.30	0	1	-124	0.00	3.40	0.00	0	2	-123	0.50	3.40	0.30	0	1
-122	0.50	3.40	0.00	0	2	-121	1.00	3.40	0.30	0	1	-120	1.00	3.40	0.00	0	2
-92	1.00	3.40	0.72	0	1	-1	1.00	3.40	1.59	0	1						

Elenco materiali

Simbologia

Mat. = Numero del materiale
 Comm. = Commento
 P = Peso specifico
 E = Modulo elastico
 G = Modulo elastico tangenziale
 v = Coeff. di Poisson
 α = Coeff. di dilatazione termica

Mat.	Comm.	P <daN/mc>	E <daN/cmq>	G <daN/cmq>	v	α
1 Calcestruzzo		2500	300000.00	130000.00	0.1	1.000000E-05

Elenco tipi elementi bidimensionali

Simbologia

Tb = Numero del tipo muro/elemento bidimensionale
 Comm. = Commento
 Tipo = Tipologia

- F = Membranale e Flessionale
- M = Membranale
- W-RC = Winkler resistente solo a compressione
- W-RTC = Winkler resistente a trazione e a compressione

 Uso = Utilizzo

- G = Generico
- P = Parete
- S = Soletta/Platea
- N = Nucleo
- M = Muratura ordinaria
- L = Pilastro
- MA = Muratura armata
- X = Pannello X-LAM

 Mat. = Numero del materiale
 Crit. = Numero del criterio di progetto
 Spess. = Spessore
 Kt = Coeff. di sotterraneo su suolo elastico alla Winkler

Tb	Comm.	Tipo	Uso	Mat.	Crit.	Spess. <cm>	Kt <daN/cmc>	Tb	Comm.	Tipo	Uso	Mat.	Crit.	Spess. <cm>	Kt <daN/cmc>
1	PARETI	F	P		1	30.00		2	FONDAZIONE	W-RTC	S		2	30.00	3.00

Carichi

Condizioni di carico elementari

Simbologia

CCE = Numero della condizione di carico elementare
 Comm. = Commento
 Mx = Moltiplicatore della massa in dir. X
 My = Moltiplicatore della massa in dir. Y
 Mz = Moltiplicatore della massa in dir. Z
 Jpx = Moltiplicatore del momento d'inerzia intorno all'asse X
 Jpy = Moltiplicatore del momento d'inerzia intorno all'asse Y
 Jpz = Moltiplicatore del momento d'inerzia intorno all'asse Z
 Tipo CCE = Tipo di CCE per calcolo agli stati limite
 Sicurezza = Contributo alla sicurezza

- F = a favore
- S = a sfavore
- A = ambigua

 Variabilità = Tipo di variabilità

- B = di base

Relazione di calcolo

I = indipendente
A = ambigua

CCE	Comm.	Mx	My	Mz	Jpx	Jpy	Jpz	Tipo CCE	Sicurezza	Variabilità
1	g1	1.00	1.00	0.00	0.00	1.00	1.00	1 D.M. 08 Permanenti strutturali	S	--
2	g3_spinta a riposo	0.00	0.00	0.00	0.00	0.00	0.00	3 D.M. 08 Spinta a riposo del terreno	S	--
3	g3_sovraspinta_x	0.00	0.00	0.00	0.00	0.00	0.00	5 D.M. 08 Traffico	S	B
4	g3_sovraspinta_y	0.00	0.00	0.00	0.00	0.00	0.00	5 D.M. 08 Traffico	S	B
5	q6_g3_slv_x	0.00	0.00	0.00	0.00	0.00	0.00	4 D.M. 08 Spinta sismica del terreno	S	--
6	q6_g3_slv_y	0.00	0.00	0.00	0.00	0.00	0.00	4 D.M. 08 Spinta sismica del terreno	S	--

Elenco peso proprio elementi bidimensionali

Simbologia

Tb = Numero del tipo muro/elemento bidimensionale
Comm. = Commento
Spess. = Spessore
Mat. = Materiale
P = Peso specifico
PQ = Peso specifico per unità di superficie

Tb	Comm.	Spess. <cm>	Mat.	P <daN/mc>	PQ <daN/mq>	Tb	Comm.	Spess. <cm>	Mat.	P <daN/mc>	PQ <daN/mq>
1	PARETI	30.00	Calcestruzzo	2500.00	750.00	2	FONDAZIONE	30.00	Calcestruzzo	2500.00	750.00

Elenco carichi elementi bidimensionali

Condizione di carico n. 2: g3_spinta a riposo
Carichi idrostatici

Simbologia

Bid. = Numero del muro/elemento bidimensionale
N1 = Nodo1
N2 = Nodo2
N3 = Nodo3
N4 = Nodo4
Zi = Coordinata Z globale d'inizio carico
QYi = Componente iniziale del carico in direzione Y locale dell'elemento bidimensionale
MY = Coordinata Z globale di fine carico
QYf = Componente finale del carico in direzione Y locale dell'elemento bidimensionale

Bid.	N1	N2	N3	N4	Zi <m>	QYi <daN/m>	MY <m>	QYf <daN/m>	Bid.	N1	N2	N3	N4	Zi <m>	QYi <daN/m>	MY <m>	QYf <daN/m>
6	-291	-296	-297	-292	2.70	0.00	0.00	-2457.00	6	-308	-309	-278	-298	2.70	0.00	0.00	-2457.00
6	-305	-304	-283	-139	2.70	0.00	0.00	-2457.00	6	-272	-274	-296	-291	2.70	0.00	0.00	-2457.00
6	-307	-308	-298	-293	2.70	0.00	0.00	-2457.00	6	-274	-231	-276	-296	2.70	0.00	0.00	-2457.00
6	-292	-297	-308	-307	2.70	0.00	0.00	-2457.00	6	-287	-292	-307	-306	2.70	0.00	0.00	-2457.00
6	-268	-270	-286	-281	2.70	0.00	0.00	-2457.00	6	-296	-276	-277	-297	2.70	0.00	0.00	-2457.00
6	-306	-307	-293	-288	2.70	0.00	0.00	-2457.00	6	-297	-277	-309	-308	2.70	0.00	0.00	-2457.00
6	-129	-281	-282	-202	2.70	0.00	0.00	-2457.00	6	-281	-286	-287	-282	2.70	0.00	0.00	-2457.00
6	-128	-268	-281	-129	2.70	0.00	0.00	-2457.00	6	-286	-291	-292	-287	2.70	0.00	0.00	-2457.00
6	-270	-272	-291	-286	2.70	0.00	0.00	-2457.00	6	-282	-287	-306	-304	2.70	0.00	0.00	-2457.00
6	-304	-306	-288	-283	2.70	0.00	0.00	-2457.00	6	-202	-282	-304	-305	2.70	0.00	0.00	-2457.00
7	-301	-300	-260	-255	2.70	0.00	0.00	-2457.00	7	-248	-253	-254	-249	2.70	0.00	0.00	-2457.00
7	-303	-302	-250	-245	2.70	0.00	0.00	-2457.00	7	-235	-237	-253	-248	2.70	0.00	0.00	-2457.00
7	-243	-248	-249	-244	2.70	0.00	0.00	-2457.00	7	-253	-258	-259	-254	2.70	0.00	0.00	-2457.00
7	-302	-301	-255	-250	2.70	0.00	0.00	-2457.00	7	-241	-120	-121	-263	2.70	0.00	0.00	-2457.00
7	-232	-235	-248	-243	2.70	0.00	0.00	-2457.00	7	-263	-121	-92	-264	2.70	0.00	0.00	-2457.00
7	-299	-1	-195	-265	2.70	0.00	0.00	-2457.00	7	-300	-299	-265	-260	2.70	0.00	0.00	-2457.00
7	-259	-264	-299	-300	2.70	0.00	0.00	-2457.00	7	-254	-259	-300	-301	2.70	0.00	0.00	-2457.00
7	-258	-263	-264	-259	2.70	0.00	0.00	-2457.00	7	-244	-249	-302	-303	2.70	0.00	0.00	-2457.00
7	-264	-92	-1	-299	2.70	0.00	0.00	-2457.00	7	-239	-241	-263	-258	2.70	0.00	0.00	-2457.00
7	-237	-239	-258	-253	2.70	0.00	0.00	-2457.00	7	-249	-254	-301	-302	2.70	0.00	0.00	-2457.00
8	-195	-1	-311	-196	2.70	0.00	0.00	-2457.00	8	-197	-312	-305	-139	2.70	0.00	0.00	-2457.00
8	-196	-311	-312	-197	2.70	0.00	0.00	-2457.00	10	-122	-124	-125	-123	2.70	0.00	0.00	-2457.00
10	-120	-122	-123	-121	2.70	0.00	0.00	-2457.00	10	-124	-126	-127	-125	2.70	0.00	0.00	-2457.00
10	-126	-128	-129	-127	2.70	0.00	0.00	-2457.00									

Elenco carichi elementi bidimensionali
Condizione di carico n. 3: g3_sovraspinta_x
Carichi idrostatici

Bid.	N1	N2	N3	N4	Zi <m>	QYi <daN/m>	MY <m>	QYf <daN/m>	Bid.	N1	N2	N3	N4	Zi <m>	QYi <daN/m>	MY <m>	QYf <daN/m>
6	-291	-296	-297	-292	2.70	-295.00	0.00	-295.00	6	-308	-309	-278	-298	2.70	-295.00	0.00	-295.00
6	-305	-304	-283	-139	2.70	-295.00	0.00	-295.00	6	-272	-274	-296	-291	2.70	-295.00	0.00	-295.00
6	-307	-308	-298	-293	2.70	-295.00	0.00	-295.00	6	-274	-231	-276	-296	2.70	-295.00	0.00	-295.00
6	-292	-297	-308	-307	2.70	-295.00	0.00	-295.00	6	-287	-292	-307	-306	2.70	-295.00	0.00	-295.00
6	-268	-270	-286	-281	2.70	-295.00	0.00	-295.00	6	-296	-276	-277	-297	2.70	-295.00	0.00	-295.00
6	-306	-307	-293	-288	2.70	-295.00	0.00	-295.00	6	-297	-277	-309	-308	2.70	-295.00	0.00	-295.00

Relazione di calcolo

6	-129	-281	-282	-202	2.70	-295.00	0.00	-295.00
6	-128	-268	-281	-129	2.70	-295.00	0.00	-295.00
6	-270	-272	-291	-286	2.70	-295.00	0.00	-295.00
6	-304	-306	-288	-283	2.70	-295.00	0.00	-295.00
7	-301	-300	-260	-255	2.70	-295.00	0.00	-295.00
7	-303	-302	-250	-245	2.70	-295.00	0.00	-295.00
7	-243	-248	-249	-244	2.70	-295.00	0.00	-295.00
7	-302	-301	-255	-250	2.70	-295.00	0.00	-295.00
7	-232	-235	-248	-243	2.70	-295.00	0.00	-295.00
7	-299	-1	-195	-265	2.70	-295.00	0.00	-295.00
7	-259	-264	-299	-300	2.70	-295.00	0.00	-295.00
7	-258	-263	-264	-259	2.70	-295.00	0.00	-295.00
7	-264	-92	-1	-299	2.70	-295.00	0.00	-295.00
7	-237	-239	-258	-253	2.70	-295.00	0.00	-295.00

6	-281	-286	-287	-282	2.70	-295.00	0.00	-295.00
6	-286	-291	-292	-287	2.70	-295.00	0.00	-295.00
6	-282	-287	-306	-304	2.70	-295.00	0.00	-295.00
6	-202	-282	-304	-305	2.70	-295.00	0.00	-295.00
7	-248	-253	-254	-249	2.70	-295.00	0.00	-295.00
7	-235	-237	-253	-248	2.70	-295.00	0.00	-295.00
7	-253	-258	-259	-254	2.70	-295.00	0.00	-295.00
7	-241	-120	-121	-263	2.70	-295.00	0.00	-295.00
7	-263	-121	-92	-264	2.70	-295.00	0.00	-295.00
7	-300	-299	-265	-260	2.70	-295.00	0.00	-295.00
7	-254	-259	-300	-301	2.70	-295.00	0.00	-295.00
7	-244	-249	-302	-303	2.70	-295.00	0.00	-295.00
7	-239	-241	-263	-258	2.70	-295.00	0.00	-295.00
7	-249	-254	-301	-302	2.70	-295.00	0.00	-295.00

Elenco carichi elementi bidimensionali

Condizione di carico n. 4: g3_sovraspinta_y

Carichi idrostatici

Bid.	N1	N2	N3	N4	Zi <m>	QYi <daN/m>	MY <m>	QYf <daN/m>
8	-195	-1	-311	-196	2.70	z.	0.00	-295.00
8	-196	-311	-312	-197	2.70	-295.00	0.00	-295.00
10	-120	-122	-123	-121	2.70	-295.00	0.00	-295.00
10	-126	-128	-129	-127	2.70	-295.00	0.00	-295.00

Bid.	N1	N2	N3	N4	Zi <m>	QYi <daN/m>	MY <m>	QYf <daN/m>
8	-197	-312	-305	-139	2.70	-295.00	0.00	-295.00
10	-122	-124	-125	-123	2.70	-295.00	0.00	-295.00
10	-124	-126	-127	-125	2.70	-295.00	0.00	-295.00

Elenco carichi elementi bidimensionali

Condizione di carico n. 5: q6_g3_slv_x

Carichi idrostatici

Bid.	N1	N2	N3	N4	Zi <m>	QYi <daN/m>	MY <m>	QYf <daN/m>
6	-291	-296	-297	-292	2.70	-1350.00	0.00	-1350.00
6	-305	-304	-283	-139	2.70	-1350.00	0.00	-1350.00
6	-307	-308	-298	-293	2.70	-1350.00	0.00	-1350.00
6	-292	-297	-308	-307	2.70	-1350.00	0.00	-1350.00
6	-268	-270	-286	-281	2.70	-1350.00	0.00	-1350.00
6	-306	-307	-293	-288	2.70	-1350.00	0.00	-1350.00
6	-129	-281	-282	-202	2.70	-1350.00	0.00	-1350.00
6	-128	-268	-281	-129	2.70	-1350.00	0.00	-1350.00
6	-270	-272	-291	-286	2.70	-1350.00	0.00	-1350.00
6	-304	-306	-288	-283	2.70	-1350.00	0.00	-1350.00
7	-301	-300	-260	-255	2.70	-1350.00	0.00	-1350.00
7	-303	-302	-250	-245	2.70	-1350.00	0.00	-1350.00
7	-243	-248	-249	-244	2.70	-1350.00	0.00	-1350.00
7	-302	-301	-255	-250	2.70	-1350.00	0.00	-1350.00
7	-232	-235	-248	-243	2.70	-1350.00	0.00	-1350.00
7	-299	-1	-195	-265	2.70	-1350.00	0.00	-1350.00
7	-259	-264	-299	-300	2.70	-1350.00	0.00	-1350.00
7	-258	-263	-264	-259	2.70	-1350.00	0.00	-1350.00
7	-264	-92	-1	-299	2.70	-1350.00	0.00	-1350.00
7	-237	-239	-258	-253	2.70	-1350.00	0.00	-1350.00

Bid.	N1	N2	N3	N4	Zi <m>	QYi <daN/m>	MY <m>	QYf <daN/m>
6	-308	-309	-278	-298	2.70	-1350.00	0.00	-1350.00
6	-272	-274	-296	-291	2.70	-1350.00	0.00	-1350.00
6	-274	-231	-276	-296	2.70	-1350.00	0.00	-1350.00
6	-287	-292	-307	-306	2.70	-1350.00	0.00	-1350.00
6	-296	-276	-277	-297	2.70	-1350.00	0.00	-1350.00
6	-297	-277	-309	-308	2.70	-1350.00	0.00	-1350.00
6	-281	-286	-287	-282	2.70	-1350.00	0.00	-1350.00
6	-286	-291	-292	-287	2.70	-1350.00	0.00	-1350.00
6	-282	-287	-306	-304	2.70	-1350.00	0.00	-1350.00
6	-202	-282	-304	-305	2.70	-1350.00	0.00	-1350.00
7	-248	-253	-254	-249	2.70	-1350.00	0.00	-1350.00
7	-235	-237	-253	-248	2.70	-1350.00	0.00	-1350.00
7	-253	-258	-259	-254	2.70	-1350.00	0.00	-1350.00
7	-241	-120	-121	-263	2.70	-1350.00	0.00	-1350.00
7	-263	-121	-92	-264	2.70	-1350.00	0.00	-1350.00
7	-300	-299	-265	-260	2.70	-1350.00	0.00	-1350.00
7	-254	-259	-300	-301	2.70	-1350.00	0.00	-1350.00
7	-244	-249	-302	-303	2.70	-1350.00	0.00	-1350.00
7	-239	-241	-263	-258	2.70	-1350.00	0.00	-1350.00
7	-249	-254	-301	-302	2.70	-1350.00	0.00	-1350.00

Elenco carichi elementi bidimensionali

Condizione di carico n. 6: q6_g3_slv_y

Carichi idrostatici

Bid.	N1	N2	N3	N4	Zi <m>	QYi <daN/m>	MY <m>	QYf <daN/m>
8	-195	-1	-311	-196	2.70	-1350.00	0.00	-1350.00
8	-196	-311	-312	-197	2.70	-1350.00	0.00	-1350.00
10	-120	-122	-123	-121	2.70	-1350.00	0.00	-1350.00
10	-126	-128	-129	-127	2.70	-1350.00	0.00	-1350.00

Bid.	N1	N2	N3	N4	Zi <m>	QYi <daN/m>	MY <m>	QYf <daN/m>
8	-197	-312	-305	-139	2.70	-1350.00	0.00	-1350.00
10	-122	-124	-125	-123	2.70	-1350.00	0.00	-1350.00
10	-124	-126	-127	-125	2.70	-1350.00	0.00	-1350.00

Risultati del calcolo

Parametri di calcolo

La modellazione della struttura e la rielaborazione dei risultati del calcolo sono stati effettuati con: ModeSt ver. 8.12, prodotto da Tecnisoft s.a.s. - Prato

La struttura è stata calcolata utilizzando come solutore agli elementi finiti:
Xfinest ver. 2012, prodotto da Ce.A.S. S.r.l. - Milano

Tipo di normativa: stati limite D.M. 08

Tipo di calcolo: analisi sismica statica

Vincoli esterni: Considera sempre vincoli assegnati in modellazione

Schematizzazione piani rigidi: nessun impalcato rigido

Modalità di recupero masse secondarie: mantenere sul nodo masse e forze relative

Relazione di calcolo

Generazione combinazioni

- Linear: si
- Valuta spostamenti e non sollecitazioni: no
- Buckling: no

Opzioni di calcolo

- Sono state considerate infinitamente rigide le zone di connessione fra travi, pilastri ed elementi bidimensionali con una riduzione del 20%
- Calcolo con offset rigidi dai nodi: no
- Uniformare i carichi variabili: no
- Massimizzare i carichi variabili: no
- Minimo carico da considerare: 0.00 <daN/m>
- Recupero carichi zone rigide: taglio e momento flettente
- Modalità di combinazione momento torcente: disaccoppiare le azioni

Opzioni del solutore

- Tipo di elemento bidimensionale: ISOSHELL
- Trascura deformabilità a taglio delle aste: No
- Analisi dinamica con metodo di Lanczos: Si
- Check sequenza di Sturm: Si
- Soluzione matrice con metodo ver. 5.1: No
- Analisi non lineare con Newton modificato: No
- Usa formulazione secante per buckling: No
- Trascura buckling torsionale: No

Dati struttura

- Zona sismica: zona 2
- Sito di costruzione: BOLOGNETTA LON. 13.45770 LAT. 37.96670
Contenuto tra ID reticolo: 45842 45843 46064 46065

Simbologia

TCC = Tipo di combinazione di carico
SLU = Stato limite ultimo
SLU S = Stato limite ultimo (azione sismica)
SLE R = Stato limite d'esercizio, combinazione rara
SLE F = Stato limite d'esercizio, combinazione frequente
SLE Q = Stato limite d'esercizio, combinazione quasi permanente
SLD = Stato limite di danno
SLV = Stato limite di salvaguardia della vita
SLC = Stato limite di prevenzione del collasso
SLO = Stato limite di operatività
SLU I = Stato limite di resistenza al fuoco
 T_R = Periodo di ritorno <anni>
Ag = Accelerazione orizzontale massima al sito
FO = Valore massimo del fattore di amplificazione dello spettro in accelerazione orizzontale
TC* = Periodo di inizio del tratto a velocità costante dello spettro in accelerazione orizzontale <sec>
S_s = Coefficiente di amplificazione stratigrafica
C_c = Coefficiente funzione della categoria del suolo

TCC	T_R	Ag <g>	FO	TC*	S _s	C _c
SLV	949	0.2090	2.45	0.31	1.19	1.39

- Edificio esistente: no
- Tipo di opera: Opera ordinaria
- Vita nominale V_N: 50.00
- Classe d'uso: Classe IV
- Applica semplificazioni per zona 4: no
- SL Esercizio: SLO-Pvr no, SLD-Pvr no
- SL Ultimi: SLV-Pvr 10.00, SLC-Pvr no
- Classe di duttilità: Classe B
- Quota di riferimento: 0.00 <m>
- Altezza della struttura: 2.80 <m>
- Numero piani edificio: 0
- Coefficiente θ : 0.00
- Edificio regolare in altezza: si
- Edificio regolare in pianta: si
- Forze orizzontali convenzionali per stati limite non sismici: no
- Genera stati limite per verifiche di resistenza al fuoco: no

Dati di calcolo

- Categoria del suolo di fondazione: B
- Tipologia edificio: c.a. o prefabbricato a telaio a più piani e più campane
- Coeff. C₁: 0.075
- Periodo T₁: 0.16234
- Coeff. λ SLV: 1.00

Rapporto di sovraresistenza (α_u/α_1): 1.00

Relazione di calcolo

Valore di riferimento del fattore di struttura (q_0): 1.00

Fattore riduttivo (K_r): 1.00

Fattore riduttivo regolarità in altezza (KR): 1.00

Fattore di struttura (q): 1.00

- Categoria topografica: T1 - Superficie pianeggiante, pendii e rilievi isolati con inclinazione media $i \leq 15^\circ$
- Coeff. amplificazione topografica S_T : 1.00
- Fattore di struttura per sisma verticale (q_v): 1.50
- Smorzamento spettro: 5.00%

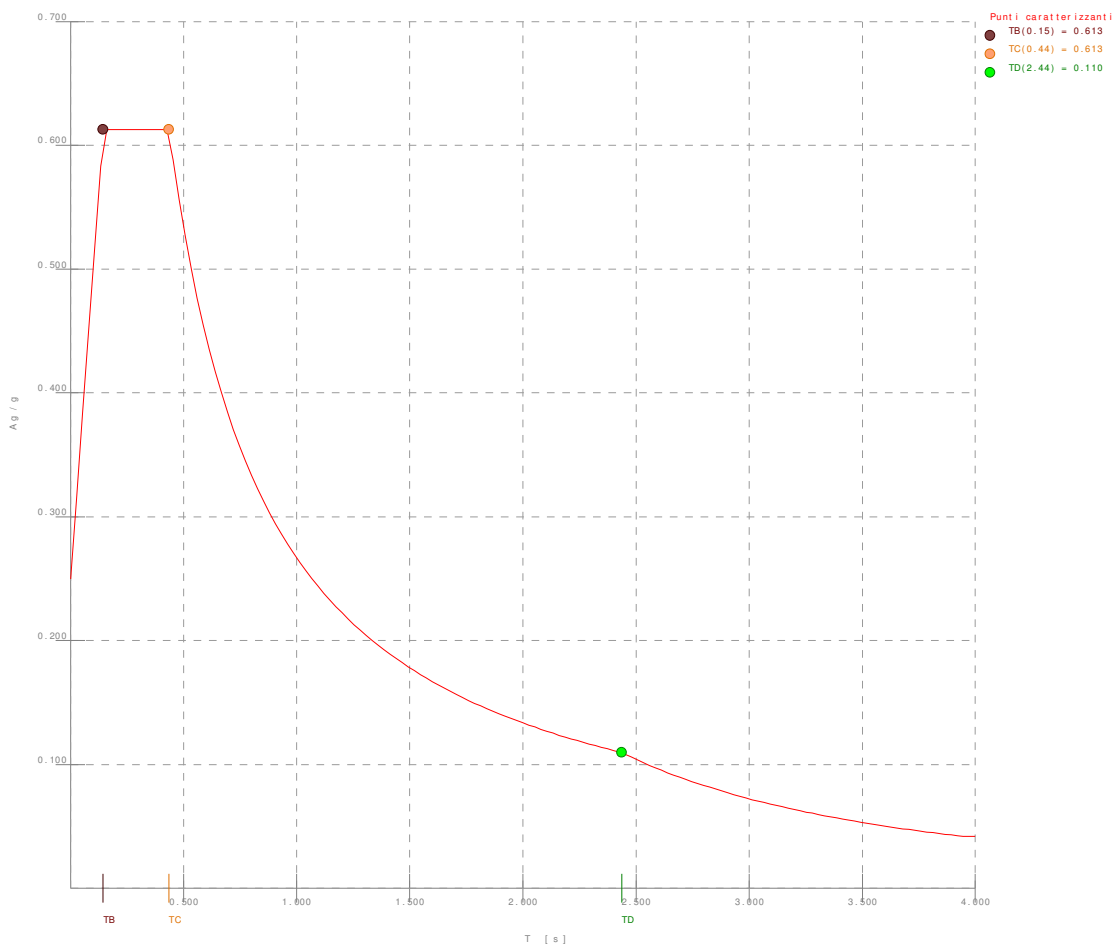


Figura numero 1: Spettro SLV

- Angolo di ingresso del sisma: 0.00 <grad>
- Tipo di combinazione sismica: 30% esteso

Condizioni di carico elementari

Simbologia

CCE	= Numero della condizione di carico elementare
Comm.	= Commento
Mx	= Moltiplicatore della massa in dir. X
My	= Moltiplicatore della massa in dir. Y
Mz	= Moltiplicatore della massa in dir. Z
Jpx	= Moltiplicatore del momento d'inerzia intorno all'asse X
Jpy	= Moltiplicatore del momento d'inerzia intorno all'asse Y
Jpz	= Moltiplicatore del momento d'inerzia intorno all'asse Z
Tipo CCE	= Tipo di CCE per calcolo agli stati limite
Sicurezza	= Contributo alla sicurezza <ul style="list-style-type: none"> F = a favore S = a sfavore A = ambigua
Variabilità	= Tipo di variabilità <ul style="list-style-type: none"> B = di base I = indipendente A = ambigua

CCE	Comm.	Mx	My	Mz	Jpx	Jpy	Jpz	Tipo CCE	Sicurezza	Variabilità
1_g1		1.00	1.00	0.00	0.00	0.00	1.00		1_S	--
2_g3_spinta a riposo		0.00	0.00	0.00	0.00	0.00	0.00		3_S	--

Relazione di calcolo

3 g3_sovraspinta_x	0.00	0.00	0.00	0.00	0.00	0.00		5 S	B
4 g3_sovraspinta_y	0.00	0.00	0.00	0.00	0.00	0.00		5 S	B
5 q6_g3_slv_x	0.00	0.00	0.00	0.00	0.00	0.00		4 S	--
6 q6_g3_slv_y	0.00	0.00	0.00	0.00	0.00	0.00		4 S	--

Elenco tipi cce definiti

Simbologia

Tipo CCE = Tipo condizione di carico elementare

Comm. = Commento

Tipologia = Tipologia

G = Permanente

Q = Variabile

I = Da ignorare

A = Azione eccezionale

P = Precompressione

Durata = Durata del carico

N = Non definita

P = Permanente

L = Lunga

M = Media

B = Breve

I = Istantanea

$\gamma_{min.}$ = Coeff. $\gamma_{min.}$

$\gamma_{max.}$ = Coeff. $\gamma_{max.}$

ψ_0 = Coeff. ψ_0

ψ_1 = Coeff. ψ_1

ψ_2 = Coeff. ψ_2

$\psi_{0,s}$ = Coeff. ψ_0 sismico (D.M. 96)

Tipo CCE	Comm.	Tipo	Durata	$\gamma_{min.}$	$\gamma_{max.}$	ψ_0	ψ_1	ψ_2	$\psi_{0,s}$
1	D.M. 08 Permanenti strutturali	G	N	1.00	1.35				
3	D.M. 08 Spinta a riposo del terreno	G	N	0.00	1.50				
5	D.M. 08 Traffico	Q	N	1.00	1.50	0.40	0.40	0.00	0.00
4	D.M. 08 Spinta sismica del terreno	G	N	1.00	1.00				

Ambienti di carico

Simbologia

N Numero

Comm. Commento

1 g1

2 g3_spinta a riposo

3 g3_sovraspinta_x

4 g3_sovraspinta_y

5 q6_g3_slv_x

6 q6_g3_slv_y

F azioni orizzontali convenzionali

SLU Stato limite ultimo

SLR Stato limite per combinazioni rare

SLF Stato limite per combinazioni frequenti

SLQ\DI Stato limite per combinazioni quasi permanenti o di danno

N	Comm.	1	2	3	4	5	6	S	SLU	SLR	SLF	SLQ
1	Calcolo sismico	si	no	no	no	no						
2	Calcolo statico	si	si	si	si	si	si	no	si	si	si	si

Elenco combinazioni di carico simboliche

Simbologia

CC = Numero della combinazione delle condizioni di carico elementari

Comm. = Commento

TCC = Tipo di combinazione di carico

SLU = Stato limite ultimo

SLU S = Stato limite ultimo (azione sismica)

SLE R = Stato limite d'esercizio, combinazione rara

SLE F = Stato limite d'esercizio, combinazione frequente

SLE Q = Stato limite d'esercizio, combinazione quasi permanente

SLD = Stato limite di danno

SLV = Stato limite di salvaguardia della vita

SLC = Stato limite di prevenzione del collasso

SLO = Stato limite di operatività

SLU I = Stato limite di resistenza al fuoco

CC	Comm.	TCC	1	2	3	4	5	6	S
1	Amb. 1 (Sisma)	SLU S	1	1	ψ_2	ψ_2	1	1	1
2	Amb. 2 (SLU)	SLU	$\gamma_{max.}$	$\gamma_{max.}$	$\gamma_{max.}$	$\gamma_{max.}$	$\gamma_{max.}$	$\gamma_{max.}$	-----

Relazione di calcolo

3	Amb. 2 (SLE R)	SLE R	1	1	1	1	1	1	-----
4	Amb. 2 (SLE F)	SLE F	1	1	ψ_1	ψ_1	1	1	-----
5	Amb. 2 (SLE Q)	SLE Q	1	1	ψ_2	ψ_2	1	1	-----

Genera le combinazioni con un solo carico di tipo variabile come di base: no

Considera sollecitazioni dinamiche con segno dei modi principali: no

Combinazioni delle cce

Simbologia

CC = Numero della combinazione delle condizioni di carico elementari
 Comm. = Commento

TCC = Tipo di combinazione di carico
 SLU = Stato limite ultimo
 SLU S = Stato limite ultimo (azione sismica)
 SLE R = Stato limite d'esercizio, combinazione rara
 SLE F = Stato limite d'esercizio, combinazione frequente
 SLE Q = Stato limite d'esercizio, combinazione quasi permanente
 SLD = Stato limite di danno
 SLV = Stato limite di salvaguardia della vita
 SLC = Stato limite di prevenzione del collasso
 SLO = Stato limite di operatività
 SLU I = Stato limite di resistenza al fuoco

An. = Tipo di analisi
 L = Lineare
 NL = Non lineare

Bk = Buckling
 S = Si
 N = No

CC	Comm.	TCC	An.	Bk	1	2	3	4	5	6	S X	S Y
1	CC 1 - Amb. 1 (SLU S) S +X+0.3Y	SLV	L	N	1.00	1.00	0.00	0.00	1.00	0.30	1.00	0.30
2	CC 2 - Amb. 1 (SLU S) S +X-0.3Y	SLV	L	N	1.00	1.00	0.00	0.00	1.00	-0.30	1.00	-0.30
3	CC 3 - Amb. 1 (SLU S) S -X+0.3Y	SLV	L	N	1.00	1.00	0.00	0.00	-1.00	0.30	-1.00	0.30
4	CC 4 - Amb. 1 (SLU S) S -X-0.3Y	SLV	L	N	1.00	1.00	0.00	0.00	-1.00	-0.30	-1.00	-0.30
5	CC 5 - Amb. 1 (SLU S) S +0.3X+Y	SLV	L	N	1.00	1.00	0.00	0.00	0.30	1.00	0.30	1.00
6	CC 6 - Amb. 1 (SLU S) S -0.3X+Y	SLV	L	N	1.00	1.00	0.00	0.00	-0.30	1.00	-0.30	1.00
7	CC 7 - Amb. 1 (SLU S) S +0.3X-Y	SLV	L	N	1.00	1.00	0.00	0.00	0.30	-1.00	0.30	-1.00
8	CC 8 - Amb. 1 (SLU S) S -0.3X-Y	SLV	L	N	1.00	1.00	0.00	0.00	-0.30	-1.00	-0.30	-1.00
9	CC 9 - Amb. 2 (SLU)	SLU	L	N	1.35	1.50	1.50	1.50	0.00	0.00	0.00	0.00
10	CC 10 - Amb. 2 (SLE R)	SLE R	L	N	1.00	1.00	1.00	1.00	0.00	0.00	0.00	0.00
11	CC 11 - Amb. 2 (SLE F)	SLE F	L	N	1.00	1.00	0.40	0.40	0.00	0.00	0.00	0.00
12	CC 12 - Amb. 2 (SLE Q)	SLE Q	L	N	1.00	1.00	0.00	0.00	0.00	0.00	0.00	0.00

Elenco masse nodi

Simbologia

Nodo = Numero del nodo
 Mo = Massa orizzontale

Nodo	Mo <kg>												
-312	212.16	-311	371.27	-309	54.52	-308	135.70	-307	175.69	-306	215.69	-305	274.48
-303	53.91	-302	132.07	-301	168.44	-300	204.81	-299	308.90	-298	87.44	-297	85.53
-293	104.37	-292	110.62	-288	78.58	-287	121.29	-286	135.70	-285	82.61	-283	176.75
-281	108.29	-278	38.08	-277	34.40	-276	35.93	-275	169.82	-274	211.61	-273	126.67
-259	141.14	-258	93.49	-255	100.74	-254	114.24	-253	85.83	-252	85.63	-250	115.85
-245	37.78	-244	34.71	-243	36.54	-202	136.95	-197	212.16	-196	371.27	-249	87.34
-129	95.32	-127	57.34	-125	57.34	-123	57.34	-121	107.95	-92	138.76	-195	328.16
												-1	420.97

Totali masse nodi

Mo <kg>
7787.70

Elenco forze sismiche nodali allo SLV

Simbologia

Nodo = Numero del nodo
 cx = Coeff. c in dir. X
 cy = Coeff. c in dir. Y
 Fx = Forza in dir. X
 Fy = Forza in dir. Y

Nodo	cx	cy	Fx <daN>	Fy <daN>
-312	0.03	0.03	157.09	157.09
-311	0.06	0.06	274.90	274.90

Relazione di calcolo

-309	0.00	0.00	16.08	16.08
-308	0.01	0.01	51.35	51.35
-307	0.02	0.02	81.16	81.16
-306	0.03	0.03	117.65	117.65
-305	0.04	0.04	203.23	203.23
-304	0.04	0.04	205.85	205.85
-303	0.00	0.00	15.90	15.90
-302	0.01	0.01	50.72	50.72
-301	0.02	0.02	79.69	79.69
-300	0.02	0.02	115.15	115.15
-299	0.04	0.04	201.20	201.20
-298	0.01	0.01	56.66	56.66
-297	0.00	0.00	19.65	19.65
-296	0.00	0.00	8.56	8.56
-293	0.02	0.02	81.78	81.78
-292	0.01	0.01	26.79	26.79
-291	0.00	0.00	9.51	9.51
-288	0.02	0.02	111.49	111.49
-287	0.01	0.01	34.55	34.55
-286	0.00	0.00	10.52	10.52
-283	0.04	0.04	186.46	186.46
-282	0.01	0.01	54.65	54.65
-281	0.00	0.00	14.46	14.46
-278	0.00	0.00	19.51	19.51
-277	0.00	0.00	7.48	7.48
-276	0.00	0.00	3.90	3.90
-265	0.04	0.04	179.14	179.14
-264	0.01	0.01	65.96	65.96
-263	0.00	0.00	16.91	16.91
-260	0.02	0.02	106.49	106.49
-259	0.01	0.01	40.66	40.66
-258	0.00	0.00	11.90	11.90
-255	0.02	0.02	78.94	78.94
-254	0.01	0.01	30.22	30.22
-253	0.00	0.00	10.39	10.39
-250	0.01	0.01	55.48	55.48
-249	0.00	0.00	21.04	21.04
-248	0.00	0.00	8.98	8.98
-245	0.00	0.00	19.35	19.35
-244	0.00	0.00	7.54	7.54
-243	0.00	0.00	3.97	3.97
-202	0.01	0.01	38.27	38.27
-197	0.06	0.06	266.75	266.75
-196	0.10	0.10	466.81	466.81
-195	0.09	0.09	412.61	412.61
-139	0.05	0.05	214.81	214.81
-129	0.00	0.00	13.32	13.32
-127	0.00	0.00	8.01	8.01
-125	0.00	0.00	8.01	8.01
-123	0.00	0.00	8.01	8.01
-121	0.00	0.00	15.08	15.08
-92	0.01	0.01	46.52	46.52
-1	0.07	0.07	311.70	311.70

Totali forze sismiche

Fx <daN>	Fy <daN>
4682.81	4682.81

Tensioni sul terreno

Simbologia

Nodo = Numero del nodo

σ_t = Tensione sul terreno

CC = Numero della combinazione delle condizioni di carico elementari

Nodo	σ_t <daN/cmq>	CC	Nodo	σ_t <daN/cmq>	CC	Nodo	σ_t <daN/cmq>	CC	Nodo	σ_t <daN/cmq>	CC
-274	Max	0.55	9	-274	Min.	0.08	1	-272	Max	0.53	4
-270	Max	0.53	3	-270	Min.	-0.14	2	-268	Max	0.55	3
-241	Max	0.27	1	-241	Min.	0.01	4	-239	Max	0.44	1
-237	Max	0.61	2	-237	Min.	-0.10	3	-235	Max	0.79	2
-232	Max	0.97	2	-232	Min.	-0.24	3	-231	Max	0.72	9
-191	Max	0.20	5	-191	Min.	-0.01	9	-190	Max	0.36	1
-189	Max	0.52	2	-189	Min.	-0.04	3	-188	Max	0.71	2
-187	Max	0.20	6	-187	Min.	-0.01	9	-186	Max	0.23	1
-185	Max	0.39	2	-185	Min.	0.08	3	-184	Max	0.56	2
-183	Max	0.30	3	-183	Min.	-0.07	2	-182	Max	0.25	3
-181	Max	0.34	9	-181	Min.	0.20	3	-180	Max	0.51	9

Relazione di calcolo

-179	Max	0.41	3	-179	Min.	-0.18	2	-178	Max	0.37	3	-178	Min.	-0.02	2
-177	Max	0.34	9	-177	Min.	0.13	1	-176	Max	0.52	9	-176	Min.	0.24	5
-175	Max	0.53	3	-175	Min.	-0.30	2	-174	Max	0.50	3	-174	Min.	-0.14	2
-173	Max	0.48	4	-173	Min.	0.00	1	-172	Max	0.53	9	-172	Min.	0.13	1
-171	Max	0.89	2	-171	Min.	-0.16	3	-170	Max	0.73	2	-170	Min.	-0.02	3
-169	Max	0.68	9	-169	Min.	0.10	3	-168	Max	0.69	9	-168	Min.	0.24	6
-167	Max	0.72	9	-167	Min.	0.25	5	-128	Max	0.56	3	-128	Min.	-0.45	2
-126	Max	0.45	3	-126	Min.	-0.34	2	-124	Max	0.35	3	-124	Min.	-0.23	2
-122	Max	0.25	3	-122	Min.	-0.20	9	-120	Max	0.18	6	-120	Min.	-0.20	9

Verifiche e armature solette/platee

Simbologia

Nodo	= Numero del nodo
X	= Coordinata X del nodo
Y	= Coordinata Y del nodo
DV	= Direzione di verifica XX = Verifica per momento Mxx YY = Verifica per momento Myy
CC	= Numero della combinazione delle condizioni di carico elementari
TCC	= Tipo di combinazione di carico SLU = Stato limite ultimo SLU S = Stato limite ultimo (azione sismica) SLE R = Stato limite d'esercizio, combinazione rara SLE F = Stato limite d'esercizio, combinazione frequente SLE Q = Stato limite d'esercizio, combinazione quasi permanente SLD = Stato limite di danno SLV = Stato limite di salvaguardia della vita SLC = Stato limite di prevenzione del collasso SLO = Stato limite di operatività SLU I = Stato limite di resistenza al fuoco
C	= Ricoprimento dell'armatura
s	= Distanza minima tra le barre
K3	= Coefficiente di forma del diagramma delle tensioni prima della fessurazione
S _{rm}	= Distanza media tra le fessure
Φ	= Diametro della barra
A _s	= Area complessiva dei ferri nell'area di calcestruzzo efficace
A _{c eff}	= Area di calcestruzzo efficace
σ _s	= Tensione nell'acciaio nella sezione fessurata
σ _{sr}	= Tensione nell'acciaio corrispondente al raggiungimento della resistenza a trazione nel calcestruzzo
ε _{sm}	= Deformazione unitaria media dell'armatura (*1000)
Wk	= Apertura delle fessure
AfE S	= Area di ferro effettiva totale presente nel punto di verifica, superiore
AfE I	= Area di ferro effettiva totale presente nel punto di verifica, inferiore
Mom	= Momento flettente
Mu	= Momento ultimo
Sic.	= Sicurezza a rottura
Vsdū	= Taglio agente nella direzione del momento ultimo
Vrdū	= Taglio ultimo assorbibile dal solo calcestruzzo
σ _c	= Tensione nel calcestruzzo
σ _f	= Tensione nel ferro
Spess.	= Spessore
Cf sup	= Coprifero superiore
Cf inf	= Coprifero inferiore
Cl _s	= Tipo di calcestruzzo
Fck	= Resistenza caratteristica cilindrica a compressione del calcestruzzo
Fctk	= Resistenza caratteristica a trazione del calcestruzzo
Fcd	= Resistenza di calcolo a compressione del calcestruzzo
Fctd	= Resistenza di calcolo a trazione del calcestruzzo
Acc.	= Tipo di acciaio
Fyk	= Tensione caratteristica di snervamento dell'acciaio
Fyd	= Resistenza di calcolo dell'acciaio

Armatura platea a quota 0.00

Caratteristiche delle sezioni e dei materiali utilizzati

Spess.	Cf sup <cm>	Cf inf <cm>	Cl _s	Fck <daN/cmq>	Fctk <daN/cmq>	Fcd <daN/cmq>	Fctd <daN/cmq>	Acc.	Fyk <daN/cmq>	Fyd <daN/cmq>
30.00	4.00	4.00	C28/35	290.50	19.84	164.62	13.23	B450C	4500.00	3913.04

Stato limite ultimo - Ferri longitudinali - Verifiche armatura

Nodo	X <m>	Y <m>	DV	CC	TCC	AfE S <cmq>	AfE I <cmq>	Mom <daNm>	Mu <daNm>	Sic.
-231	-1.84	1.40	XX	2	SLV	5.65	5.65	2108.54	5939.08	2.817
-168	-0.74	1.40	XX	4	SLV	5.65	5.65	-924.55	-5939.08	6.424
-270	-1.38	2.49	YY	2	SLV	5.65	5.65	564.92	5939.08	10.513
-177	-0.65	2.20	YY	2	SLV	5.65	5.65	226.06	5939.08	26.272

Stato limite ultimo - Verifica a taglio del calcestruzzo

Relazione di calcolo

Nodo	X <m>	Y <m>	DV	CC	TCC	AfE S <cmq>	AfE I <cmq>	Vsdū <daN>	Vrdū <daN>
-232	1.84	1.40	XX	2	SLV	5.65	5.65	4821.77	12613.40
-231	-1.84	1.40	YY	2	SLV	5.65	5.65	2305.97	12613.40

Stato limite d'esercizio - Ferri longitudinali - Verifiche armatura

Nodo	X <m>	Y <m>	DV	CC	TCC	AfE S <cmq>	AfE I <cmq>	Mom <daNm>	σ_c <daN/cmq>	σ_f <daN/cmq>
-232	1.84	1.40	XX	10	SLE R	5.65	5.65	1059.05	14.43	781.94
-232	1.84	1.40	XX	12	SLE Q	5.65	5.65	879.87	11.99	649.65
-169	0.00	1.40	XX	12	SLE Q	5.65	5.65	-523.88	7.14	386.80
-169	0.00	1.40	XX	10	SLE R	5.65	5.65	-629.68	8.58	464.92
-270	-1.38	2.49	YY	10	SLE R	5.65	5.65	357.81	4.88	264.19
-270	-1.38	2.49	YY	12	SLE Q	5.65	5.65	292.17	3.98	215.72
-169	0.00	1.40	YY	10	SLE R	5.65	5.65	-34.25	0.47	25.29
-169	0.00	1.40	YY	12	SLE Q	5.65	5.65	-31.79	0.43	23.47

Verifiche stato limite di formazione delle fessure

Nodo	X <m>	Y <m>	DV	CC	TCC	c <mm>	s <mm>	K3	s _{rm} <mm>	Φ	A _s <cmq>	A _{c eff} <cmq>	σ_s <daN/cmq>	σ_{sr} <daN/cmq>	ε_{sm}	Wk <mm>
-232	1.84	1.40	XX	12	SLE Q	34.00	168.00	0.15	209.30	12.00	1.13	172.74	649.65	4060.58	0.13	0.04
-232	1.84	1.40	XX	11	SLE F	34.00	168.00	0.15	209.30	12.00	1.13	172.74	702.57	4060.58	0.14	0.05
-169	0.00	1.40	XX	12	SLE Q	34.00	168.00	0.15	209.31	12.00	1.13	172.75	386.80	4060.58	0.08	0.03
-169	0.00	1.40	XX	11	SLE F	34.00	168.00	0.15	209.31	12.00	1.13	172.75	418.05	4060.58	0.08	0.03
-270	-1.38	2.49	YY	12	SLE Q	34.00	168.00	0.15	209.30	12.00	1.13	172.74	215.72	4060.58	0.04	0.01
-270	-1.38	2.49	YY	11	SLE F	34.00	168.00	0.15	209.30	12.00	1.13	172.74	235.11	4060.58	0.05	0.02
-169	0.00	1.40	YY	12	SLE Q	34.00	168.00	0.15	209.31	12.00	1.13	172.75	23.47	4060.58	0.00	0.00
-169	0.00	1.40	YY	11	SLE F	34.00	168.00	0.15	209.31	12.00	1.13	172.75	24.20	4060.58	0.00	0.00

Verifiche e armature pareti

Simbologia

CC	= Numero della combinazione delle condizioni di carico elementari
Zona	= Zona di verifica
Zv	= Coordinata Z di verifica
Xi	= Coordinata X iniziale
Xf	= Coordinata X finale
Xv	= Coordinata X di verifica
TCC	= Tipo di combinazione di carico
	SLU = Stato limite ultimo
	SLU S = Stato limite ultimo (azione sismica)
	SLE R = Stato limite d'esercizio, combinazione rara
	SLE F = Stato limite d'esercizio, combinazione frequente
	SLE Q = Stato limite d'esercizio, combinazione quasi permanente
	SLD = Stato limite di danno
	SLV = Stato limite di salvaguardia della vita
	SLC = Stato limite di prevenzione del collasso
	SLO = Stato limite di operatività
	SLU I = Stato limite di resistenza al fuoco
N	= Sforzo normale
Mz	= Momento flettente intorno all'asse Z
My	= Momento flettente intorno all'asse Y
Nu	= Sforzo normale ultimo
Mzu	= Momento ultimo intorno all'asse Z
Myu	= Momento ultimo intorno all'asse Y
Sic.	= Sicurezza a rottura
σ_c	= Tensione nel calcestruzzo
σ_f	= Tensione nel ferro
c	= Ricopriamento dell'armatura
s	= Distanza minima tra le barre
K3	= Coefficiente di forma del diagramma delle tensioni prima della fessurazione
s _{rm}	= Distanza media tra le fessure
Φ	= Diametro della barra
A _s	= Area complessiva dei ferri nell'area di calcestruzzo efficace
A _{c eff}	= Area di calcestruzzo efficace
σ_s	= Tensione nell'acciaio nella sezione fessurata
σ_{sr}	= Tensione nell'acciaio corrispondente al raggiungimento della resistenza a trazione nel calcestruzzo
ε_{sm}	= Deformazione unitaria media dell'armatura (*1000)
Wk	= Apertura delle fessure
Ty	= Taglio in dir. Y
Vsdū	= Taglio agente nella direzione del momento ultimo
ctgθ	= Cotangente dell'angolo di inclinazione dei puntoni di calcestruzzo
VRsd	= Taglio ultimo lato armatura
VRcd	= Taglio ultimo lato calcestruzzo
Vrdū	= Taglio ultimo assorbibile dal solo calcestruzzo
Sic.T	= Sicurezza a rottura per taglio
Sez.	= Sezione di verifica
Spess.	= Spessore

Relazione di calcolo

Cf	= Copriferro
Cls	= Tipo di calcestruzzo
Fck	= Resistenza caratteristica a compressione del calcestruzzo
Fctk	= Resistenza caratteristica a trazione del calcestruzzo
Fcd	= Resistenza di calcolo a compressione del calcestruzzo
Fctd	= Resistenza di calcolo a trazione del calcestruzzo
Acc.	= Tipo di acciaio
Fyk	= Tensione caratteristica di snervamento dell'acciaio
Fyd	= Resistenza di calcolo dell'acciaio

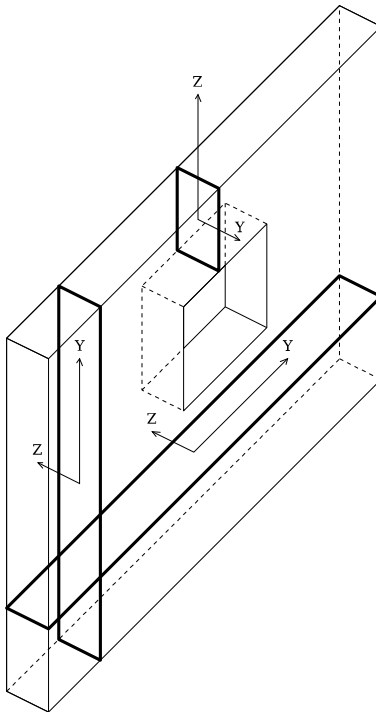


Figura numero 2: Riferimenti sezione

Parete n. 6

Caratteristiche delle sezioni e dei materiali utilizzati

Sez.	Spess. <cm>	Cf <cm>	Cls	Fck <daN/cmq>	Fctk <daN/cmq>	Fcd <daN/cmq>	Fctd <daN/cmq>	Acc.	Fyk <daN/cmq>	Fyd <daN/cmq>
Oriz.	30.00	5.80	C28/35	290.50	19.84	164.62	13.23	B450C	4500.00	3913.04

Verifiche su sezioni orizzontali

Stato limite ultimo - Armatura a flessione

CC	TCC	Zona	Zv <m>	Xi <m>	Xf <m>	N <daN>	Mz <daNm>	My <daNm>	Nu <daN>	Mzu <daNm>	Myu <daNm>	Sic.
9	SLU	Diff. long.	0.00	0.00	2.17	-5679.77	2499.22	0.00	-5681.68	110715.00	0.00	44.300
2	SLV	Diff. tras.	0.00	0.00	2.17	-2797.34	0.00	3630.35	-2798.77	0.00	14630.80	4.030
3	SLV	Diff. long.	1.35	0.00	1.83	-3024.13	-1037.90	0.00	-3025.96	-77777.90	0.00	74.938
2	SLV	Diff. tras.	1.35	0.00	1.83	-270.55	0.00	-814.63	-271.07	0.00	-11971.60	14.696

Stato limite d'esercizio - Armatura a flessione

CC	TCC	Zona	Zv <m>	Xi <m>	Xf <m>	N <daN>	Mz <daNm>	My <daNm>	σ_c <daN/cmq>	σ_f <daN/cmq>
10	SLE R	Diff. tras.	0.00	0.00	2.17	-4092.16	0.00	1741.90	11.90	420.10
12	SLE Q	Diff. tras.	0.00	0.00	2.17	-3803.32	0.00	1496.67	10.18	350.26
10	SLE R	Diff. tras.	1.35	0.00	1.83	-1576.83	0.00	-326.85	2.49	60.17
12	SLE Q	Diff. tras.	1.35	0.00	1.83	-1647.34	0.00	-261.99	1.87	33.82

Verifiche stato limite di formazione delle fessure

CC	TCC	Zona	Zv <m>	Xi <m>	Xf <m>	N <daN>	Mz <daNm>	My <daNm>	c <mm>	s <mm>	K3	s _{rm} <mm>	Φ	A _s <cmq>	A _{c eff} <cmq>	σ_s <daN/cmq>	σ_{sr} <daN/cmq>	ϵ_{sn} <mm>	W _k <mm>
12	SLE Q	Diff. tras.	0.00	0.00	2.17	-3803.32	0.00	1496.67	52.00	168.00	0.13	242.04	12.00	1.13	196.86	350.26	3183.33	0.07	0.03
11	SLE F	Diff. tras.	0.00	0.00	2.17	-3918.86	0.00	1594.76	52.00	168.00	0.13	242.04	12.00	1.13	196.86	378.19	3210.17	0.07	0.03
12	SLE Q	Diff. tras.	1.35	0.00	1.83	-1647.34	0.00	-261.99	52.00	168.00	0.13	242.04	12.00	1.13	196.86	33.82	1891.55	0.01	0.00
11	SLE F	Diff. tras.	1.35	0.00	1.83	-1619.14	0.00	-287.93	52.00	168.00	0.13	242.04	12.00	1.13	196.86	44.08	2137.99	0.01	0.00

Stato limite ultimo - Armatura a taglio

Relazione di calcolo

CC	Zona	Zv <m>	Xi <m>	Xf <m>	TCC	Ty <daN>	Vsdu <daN>	ctgθ	VRsd <daN>	VRcd <daN>	Vrdu <daN>	Sic.T
9	Diff. long.	0.00	0.00	2.17	SLU	2573.17	2573.17	2.15	180698.00	180698.00	180698.00	70.22
9	Diff. long.	1.35	0.00	1.83	SLU	2791.37	2791.37	2.14	151415.00	151415.00	151415.00	54.24

Parete n. 7

Caratteristiche delle sezioni e dei materiali utilizzati

Sez.	Spess. <cm>	Cf <cm>	Cls	Fck <daN/cmq>	Fctk <daN/cmq>	Fcd <daN/cmq>	Fctd <daN/cmq>	Acc.	Fyk <daN/cmq>	Fyd <daN/cmq>
Oriz.	30.00	5.80	C28/35	290.50	19.84	164.62	13.23	B450C	4500.00	3913.04

Verifiche su sezioni orizzontali

Stato limite ultimo - Armatura a flessione

CC	TCC	Zona	Zv <m>	Xi <m>	Xf <m>	N <daN>	Mz <daNm>	My <daNm>	Nu <daN>	Mzu <daNm>	Myu <daNm>	Sic.
2	SLV	Diff. long.	0.00	0.00	2.17	-6042.66	2657.74	0.00	-6045.94	111040.00	0.00	41.780
9	SLU	Diff. tras.	0.00	0.00	2.17	-5688.20	0.00	2511.53	-5688.55	0.00	14931.40	5.945
9	SLU	Diff. long.	1.35	0.00	1.83	-2226.46	449.42	0.00	-2226.86	74608.20	0.00	>100
2	SLV	Diff. tras.	1.35	0.00	1.83	-2927.68	0.00	-547.15	-2931.25	0.00	-12288.90	22.460

Stato limite d'esercizio - Armatura a flessione

CC	TCC	Zona	Zv <m>	Xi <m>	Xf <m>	N <daN>	Mz <daNm>	My <daNm>	σ _c <daN/cmq>	σ _f <daN/cmq>
10	SLE R	Diff. tras.	0.00	0.00	2.17	-4097.36	0.00	1745.15	11.92	420.97
12	SLE Q	Diff. tras.	0.00	0.00	2.17	-3808.47	0.00	1497.74	10.19	350.42
10	SLE R	Diff. tras.	1.35	0.00	1.83	-1669.31	0.00	-328.82	2.48	57.24
12	SLE Q	Diff. tras.	1.35	0.00	1.83	-1724.54	0.00	-266.34	1.89	32.67

Verifiche stato limite di formazione delle fessure

CC	TCC	Zona	Zv <m>	Xi <m>	Xf <m>	N <daN>	Mz <daNm>	My <daNm>	c <mm>	s <mm>	K3	s _{rm} <mm>	Φ	A _s <cmq>	A _{c eff} <cmq>	σ _s <daN/cmq>	σ _{s,r} <daN/cmq>	ε _{sm}	W _k <mm>
12	SLE Q	Diff. tras.	0.00	0.00	2.17	-3808.47	0.00	1497.74	52.00	168.00	0.13	242.04	12.00	1.13	196.86	350.42	3182.80	0.07	0.03
11	SLE F	Diff. tras.	0.00	0.00	2.17	-3924.03	0.00	1596.70	52.00	168.00	0.13	242.04	12.00	1.13	196.86	378.63	3210.09	0.07	0.03
12	SLE Q	Diff. tras.	1.35	0.00	1.83	-1724.54	0.00	-266.34	52.00	168.00	0.13	242.04	12.00	1.13	196.86	32.67	1822.88	0.01	0.00
11	SLE F	Diff. tras.	1.35	0.00	1.83	-1702.45	0.00	-291.33	52.00	168.00	0.13	242.04	12.00	1.13	196.86	42.22	2056.09	0.01	0.00

Stato limite ultimo - Armatura a taglio

CC	Zona	Zv <m>	Xi <m>	Xf <m>	TCC	Ty <daN>	Vsdu <daN>	ctgθ	VRsd <daN>	VRcd <daN>	Vrdu <daN>	Sic.T
2	Diff. long.	0.00	0.00	2.17	SLV	-3509.15	3509.15	2.15	180735.00	180735.00	180735.00	51.50
2	Diff. long.	1.35	0.00	1.83	SLV	-3418.22	3418.22	2.14	151500.00	151500.00	151500.00	44.32

Parete n. 8

Caratteristiche delle sezioni e dei materiali utilizzati

Sez.	Spess. <cm>	Cf <cm>	Cls	Fck <daN/cmq>	Fctk <daN/cmq>	Fcd <daN/cmq>	Fctd <daN/cmq>	Acc.	Fyk <daN/cmq>	Fyd <daN/cmq>
Oriz.	30.00	5.80	C28/35	290.50	19.84	164.62	13.23	B450C	4500.00	3913.04

Verifiche su sezioni orizzontali

Stato limite ultimo - Armatura a flessione

CC	TCC	Zona	Zv <m>	Xi <m>	Xf <m>	N <daN>	Mz <daNm>	My <daNm>	Nu <daN>	Mzu <daNm>	Myu <daNm>	Sic.
1	SLV	Diff. long.	0.00	0.00	2.00	-417.08	-352.51	0.00	-419.53	-89742.40	0.00	>100
9	SLU	Diff. tras.	0.00	0.00	2.00	-407.90	0.00	0.00	-409.21	0.00	13172.00	>100
1	SLV	Diff. long.	0.56	0.00	2.00	-417.08	-352.51	0.00	-419.53	-89742.40	0.00	>100
9	SLU	Diff. tras.	0.56	0.00	2.00	-407.90	0.00	0.00	-409.21	0.00	13172.00	>100
1	SLV	Diff. long.	1.11	0.00	2.00	-417.08	-352.51	0.00	-419.53	-89742.40	0.00	>100
9	SLU	Diff. tras.	1.11	0.00	2.00	-407.90	0.00	0.00	-409.21	0.00	13172.00	>100

Stato limite d'esercizio - Armatura a flessione

CC	TCC	Zona	Zv <m>	Xi <m>	Xf <m>	N <daN>	Mz <daNm>	My <daNm>	σ _c <daN/cmq>	σ _f <daN/cmq>
10	SLE R	Diff. long.	0.00	0.00	2.00	-315.14	-5.69	0.00	0.05	0.78
12	SLE Q	Diff. long.	0.00	0.00	2.00	-363.03	-7.08	0.00	0.06	0.90
10	SLE R	Diff. long.	0.56	0.00	2.00	-315.14	-5.69	0.00	0.05	0.78
12	SLE Q	Diff. long.	0.56	0.00	2.00	-363.03	-7.08	0.00	0.06	0.90
10	SLE R	Diff. long.	1.11	0.00	2.00	-315.14	-5.69	0.00	0.05	0.78
12	SLE Q	Diff. long.	1.11	0.00	2.00	-363.03	-7.08	0.00	0.06	0.90

Stato limite ultimo - Armatura a taglio

CC	Zona	Zv <m>	Xi <m>	Xf <m>	TCC	Ty <daN>	Vsdu <daN>	ctgθ	VRsd <daN>	VRcd <daN>	Vrdu <daN>	Sic.T
2	Diff. long.	0.00	0.00	2.00	SLV	-2531.86	2531.86	2.14	165569.00	165569.00	165569.00	65.39
2	Diff. long.	0.56	0.00	2.00	SLV	-2531.86	2531.86	2.14	165569.00	165569.00	165569.00	65.39
2	Diff. long.	1.11	0.00	2.00	SLV	-2531.86	2531.86	2.14	165569.00	165569.00	165569.00	65.39

Relazione di calcolo

Parete n. 10

Caratteristiche delle sezioni e dei materiali utilizzati

Sez.	Spess. <cm>	Cf <cm>	Cls	Fck <daN/cmq>	Fctk <daN/cmq>	Fcd <daN/cmq>	Fctd <daN/cmq>	Acc.	Fyk <daN/cmq>	Fyd <daN/cmq>
Oriz.	30.00	5.80	C28/35	290.50	19.84	164.62	13.23	B450C	4500.00	3913.04

Verifiche su sezioni orizzontali

Stato limite ultimo - Armatura a flessione

CC	TCC	Zona	Zv <m>	Xi <m>	Xf <m>	N <daN>	Mz <daNm>	My <daNm>	Nu <daNm>	Mzu <daNm>	Myu <daNm>	Sic.
2	SLV	Diff. long.	0.00	0.00	2.00	1142.17	116.34	0.00	1139.69	87772.30	0.00	>100
9	SLU	Diff. tras.	0.00	0.00	2.00	999.47	0.00	262.46	1001.70	0.00	12791.20	48.735
2	SLV	Diff. long.	0.15	0.00	2.00	1142.17	116.34	0.00	1139.69	87772.30	0.00	>100
9	SLU	Diff. tras.	0.15	0.00	2.00	999.47	0.00	262.46	1001.70	0.00	12791.20	48.735
2	SLV	Diff. long.	0.30	0.00	2.00	1142.17	116.34	0.00	1139.69	87772.30	0.00	>100
9	SLU	Diff. tras.	0.30	0.00	2.00	999.47	0.00	262.46	1001.70	0.00	12791.20	48.735

Stato limite d'esercizio - Armatura a flessione

CC	TCC	Zona	Zv <m>	Xi <m>	Xf <m>	N <daN>	Mz <daNm>	My <daNm>	σ_c <daN/cmq>	σ_f <daN/cmq>
10	SLE R	Diff. tras.	0.00	0.00	2.00	514.06	0.00	187.01	1.43	89.94
12	SLE Q	Diff. tras.	0.00	0.00	2.00	-55.46	0.00	165.82	1.27	57.56
10	SLE R	Diff. tras.	0.15	0.00	2.00	514.06	0.00	187.01	1.43	89.94
12	SLE Q	Diff. tras.	0.15	0.00	2.00	-55.46	0.00	165.82	1.27	57.56
10	SLE R	Diff. tras.	0.30	0.00	2.00	514.06	0.00	187.01	1.43	89.94
12	SLE Q	Diff. tras.	0.30	0.00	2.00	-55.46	0.00	165.82	1.27	57.56

Verifiche stato limite di formazione delle fessure

CC	TCC	Zona	Zv <m>	Xi <m>	Xf <m>	N <daN>	Mz <daNm>	My <daNm>	c <mm>	s <mm>	K3 <mm>	s_{zm} <mm>	Φ	A_s <cmq>	A_{eff} <cmq>	σ_s <daN/cmq>	σ_{sz} <daN/cmq>	ϵ_{sm} <mm>	Wk
12	SLE Q	Diff. tras.	0.00	0.00	2.00	-55.46	0.00	165.82	52.00	168.00	0.13	246.12	12.00	1.13	196.86	57.56	3856.27	0.01	0.00
11	SLE F	Diff. tras.	0.00	0.00	2.00	172.35	0.00	174.30	52.00	168.00	0.14	252.49	12.00	1.13	196.86	70.42	4203.33	0.01	0.01
12	SLE Q	Diff. tras.	0.15	0.00	2.00	-55.46	0.00	165.82	52.00	168.00	0.13	246.12	12.00	1.13	196.86	57.56	3856.27	0.01	0.00
11	SLE F	Diff. tras.	0.15	0.00	2.00	172.35	0.00	174.30	52.00	168.00	0.14	252.49	12.00	1.13	196.86	70.42	4203.33	0.01	0.01
12	SLE Q	Diff. tras.	0.30	0.00	2.00	-55.46	0.00	165.82	52.00	168.00	0.13	246.12	12.00	1.13	196.86	57.56	3856.27	0.01	0.00
11	SLE F	Diff. tras.	0.30	0.00	2.00	172.35	0.00	174.30	52.00	168.00	0.14	252.49	12.00	1.13	196.86	70.42	4203.33	0.01	0.01

Stato limite ultimo - Armatura a taglio

CC	Zona	Zv <m>	Xi <m>	Xf <m>	TCC	Ty <daN>	Vsdū <daN>	ctgθ	VRsd <daN>	VRcd <daN>	Vrdū <daN>	Sic.T
4	Diff. long.	0.00	0.00	2.00	SLV	3623.81	3623.81	2.14	165626.00	165626.00	165626.00	45.70
4	Diff. long.	0.15	0.00	2.00	SLV	3623.81	3623.81	2.14	165626.00	165626.00	165626.00	45.70
4	Diff. long.	0.30	0.00	2.00	SLV	3623.81	3623.81	2.14	165626.00	165626.00	165626.00	45.70